

Katedra pravděpodobnosti a matematické statistiky



MATEMATICKO-FYZIKÁLNÍ
FAKULTA
Univerzita Karlova

doc. RNDr. Arnošt Komárek, Ph.D.

NMST431 Bayesovské metody

Zimní semestr 2021–22

1

Lineární model

$$\mathbf{Y} = \mathbb{X}\boldsymbol{\beta} + \boldsymbol{\varepsilon}, \quad \mathbb{X} : \text{pevná matici } n \times k, \\ \boldsymbol{\varepsilon} \sim \mathcal{N}_n(\mathbf{0}, \sigma^2 \mathbf{I}_n).$$

⇒ $\mathbf{Y} \sim \mathcal{N}_n(\mathbb{X}\boldsymbol{\beta}, \sigma^2 \mathbf{I}_n)$

- **Parametry:** $\theta = (\boldsymbol{\beta}^\top, \tau)^\top$, kde $\tau = \sigma^{-2} > 0$

Příklad: Vážení lehkých objektů

- Potřeba zjistit hmotnost dvou velice lehkých objektů.
 - β_1, β_2 : hmotnost objektu A, resp. B
- Pokus (naměřené hodnoty v μg)
 - ⇒ $Y_i, i = 1, \dots, n$ ($n = 18$):
 - 2× zvážen objekt A: 109, 85
 - 9× zvážen objekt B: 114, 121, 140, 122, 125, 129, 98, 134, 133
 - 7× zváženy oba objekty A a B: 217, 203, 243, 229, 233, 221, 221
- Každé měření má (náhodnou) chybu, o které budeme předpokládat, že má normální rozdělení s nulovou střední hodnotou a rozptylem σ^2 .
- Lineární model pro $\mathbf{Y} = (Y_1, \dots, Y_n)^\top$:
$$\mathbf{Y} = \mathbb{X}\boldsymbol{\beta} + \boldsymbol{\varepsilon}, \quad \boldsymbol{\beta} = (\beta_1, \beta_2)^\top$$
 - Jak vypadá matice \mathbb{X} ?

$$L(\theta) = p(\mathbf{y} \mid \theta) = \dots$$

$$\begin{aligned} &= (2\pi)^{-\frac{n}{2}} |\mathbb{X}^\top \mathbb{X}|^{\frac{1}{2}} \tau^{\frac{n}{2}} \exp \left[-\frac{\tau}{2} \left\{ \text{SS}_e + (\boldsymbol{\beta} - \mathbf{b})^\top \mathbb{X}^\top \mathbb{X} (\boldsymbol{\beta} - \mathbf{b}) \right\} \right] \\ &= (2\pi)^{-\frac{n}{2}} |\mathbb{X}^\top \mathbb{X}|^{\frac{1}{2}} \tau^{\frac{k}{2}} \exp \left\{ -\frac{\tau}{2} (\boldsymbol{\beta} - \mathbf{b})^\top \mathbb{X}^\top \mathbb{X} (\boldsymbol{\beta} - \mathbf{b}) \right\} \tau^{\frac{n-k+2}{2}-1} \exp \left(-\tau \frac{\text{SS}_e}{2} \right) \end{aligned}$$

kde • $\mathbf{b} = \mathbf{b}(\mathbf{y}) = (\mathbb{X}^\top \mathbb{X})^{-1} \mathbb{X}^\top \mathbf{y}$

• $\text{SS}_e = \text{SS}_e(\mathbf{y}) = (\mathbf{y} - \mathbb{X}\mathbf{b})^\top (\mathbf{y} - \mathbb{X}\mathbf{b})$

• $s = s(\mathbf{y}) = \sqrt{\frac{\text{SS}_e}{n-k}}$

Příklad: Lehké objekty • $\mathbf{b} = (98.89, 124.42)$

• $\text{SS}_e = 2525.7$

• $s = 12.56$

- $p(\beta) \propto 1, \beta \in \mathbb{R}^k$
- $p(\sigma^2) \propto \frac{1}{\sigma^2}, \sigma^2 > 0$
 - odpovídá $p(\log \sigma^2) \propto c$, resp. $p(\log \sigma) \propto c$
- ⇒ $p(\tau) \propto \frac{1}{\tau}, \tau > 0$
- β a τ apriori nezávislé

$$p(\beta, \tau | \mathbf{y}) \propto \cdots \propto$$

$$\tau^{\frac{n}{2}-1} \exp\left[-\frac{\tau}{2}\left\{\text{SS}_e + (\boldsymbol{\beta} - \mathbf{b})^\top \mathbb{X}^\top \mathbb{X} (\boldsymbol{\beta} - \mathbf{b})\right\}\right], \quad \tau > 0$$

- Za jakých podmínek se jedná skutečně o (nedegenerované) rozdělení?
- To jest, za jakých podmínek existuje integrál z výše uvedené funkce?

$$p(\beta, \tau | \mathbf{y}) = p(\beta | \tau, \mathbf{y}) \times p(\tau | \mathbf{y})$$

$$p(\beta | \tau, \mathbf{y}) \propto \cdots \propto \exp \left[-\frac{\tau}{2} \left\{ (\beta - \mathbf{b})^\top \mathbb{X}^\top \mathbb{X} (\beta - \mathbf{b}) \right\} \right]$$

-
- ▶ Normující konstanta je proporcionální determinantu matice $|\mathbb{X}^\top \mathbb{X}|^{-\frac{1}{2}}$
 - ▶ To jest, aby byla $p(\beta | \tau, \mathbf{y})$ hustotou nedegenerovaného rozdělení, musí mít matice \mathbb{X} sloupcovou hodnost k .

Potom

$$\beta | \tau, \mathbf{y} \sim \mathcal{N}_k \left(\mathbf{b}(\mathbf{y}), \tau^{-1} (\mathbb{X}^\top \mathbb{X})^{-1} \right)$$

$$p(\tau | \mathbf{y}) \propto \cdots \propto \tau^{\frac{n-k}{2}-1} \exp\left(-\tau \frac{\text{SS}_e}{2}\right), \quad \tau > 0$$

- ▶ Aby existovala konečná normující konstanta, musí být $\frac{n-k}{2} > 0$, tj. $n > k$.
Potom

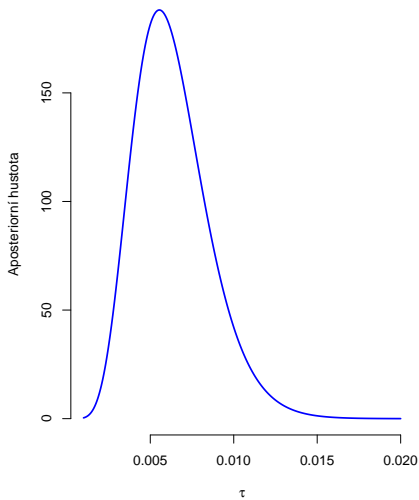
$$\tau | \mathbf{y} \sim \mathcal{G}\left(\frac{n-k}{2}, \frac{\text{SS}_e(\mathbf{y})}{2}\right)$$

- ▶ Rutinní použití věty o transformaci
 - ➡ aposteriorní hustota reziduálního rozptylu, resp. směrodatné odchylky

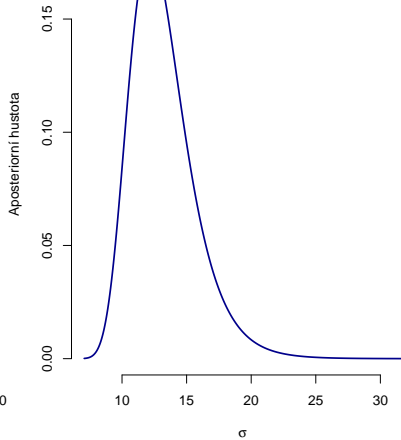
Marginální aposteriorní rozdělení τ a σ

Vážení lehkých objektů, $\tau \mid \mathbf{y} \sim \mathcal{G}(8, 1\,262.8)$

Reziduální p esnost



Reziduální sm rodatná odchylka



Momenty aposteriorních rozdělení τ , resp. σ^2 , resp. σ

- $\mathbb{E}(\tau | \mathbf{Y} = \mathbf{y}) = \frac{n - k}{\text{SS}_e}$
- $\text{var}(\tau | \mathbf{Y} = \mathbf{y}) = \frac{2(n - k)}{\text{SS}_e^2}$
- $\mathbb{E}(\sigma^2 | \mathbf{Y} = \mathbf{y}) = \frac{\text{SS}_e}{n - k - 2}, \quad \text{pro } n - k > 2$
- $\text{var}(\sigma^2 | \mathbf{Y} = \mathbf{y}) = \frac{2 \text{SS}_e^2}{(n - k - 2)^2 (n - k - 4)}, \quad \text{pro } n - k > 4$
- $\mathbb{E}(\sigma | \mathbf{Y} = \mathbf{y}) = ???$
- $\text{var}(\sigma | \mathbf{Y} = \mathbf{y}) = ???$

Bayesovské odhady τ a σ

Vážení lehkých objektů, $\tau | \mathbf{y} \sim \mathcal{G}(8, 1\,262.8)$

(Možné) bodové odhady

$$\hat{\tau}_1 = \mathbb{E}(\tau | \mathbf{Y} = \mathbf{y}) = 0.00633 \quad \hat{\sigma}_1 = \mathbb{E}(\sigma | \mathbf{Y} = \mathbf{y}) = ???$$

$$\hat{\tau}_2 = \text{med}(\tau | \mathbf{Y} = \mathbf{y}) = 0.00607 \quad \hat{\sigma}_2 = \text{med}(\sigma | \mathbf{Y} = \mathbf{y}) = 12.83$$

95% věrohodnostní intervaly

ET interval $\tau : (0.00273, 0.01142)$ $\sigma : (9.36, 19.12)$

HPD interval $\tau : (0.00235, 0.01079)$ $\sigma : (8.87, 18.22)$

$T \sim \text{MVT}_{k,\nu}(\Sigma)$, jestliže

$$T = U \sqrt{\frac{\nu}{V}},$$

kde • Σ je pozitivně definitní matice,

- $U \sim \mathcal{N}_k(\mathbf{0}, \Sigma)$,
- $V \sim \chi^2_\nu$,
- U a V jsou nezávislé.

$\mathbf{T} \sim \text{MVT}_{k,\nu}(\boldsymbol{\Sigma})$ má hustotu

$$p(\mathbf{t}) = \frac{\Gamma\left(\frac{\nu+k}{2}\right)}{\Gamma\left(\frac{\nu}{2}\right) \nu^{\frac{k}{2}} \pi^{\frac{k}{2}}} |\boldsymbol{\Sigma}|^{-\frac{1}{2}} \left\{ 1 + \frac{\mathbf{t}^\top \boldsymbol{\Sigma}^{-1} \mathbf{t}}{\nu} \right\}^{-\frac{\nu+k}{2}}, \quad \mathbf{t} \in \mathbb{R}^k$$

- $\mathbb{E} \mathbf{T} = \mathbf{0}$, je-li $\nu > 1$,
- $\text{var } \mathbf{T} = \frac{\nu}{\nu - 2} \boldsymbol{\Sigma}$, je-li $\nu > 2$,
- modus $\mathbf{T} = \mathbf{0}$.

Pro $\mu \in \mathbb{R}^k$:

$\mathbf{Z} = \mu + \mathbf{T}$, kde $\mathbf{T} \sim \text{MVT}_{k,\nu}(\Sigma)$ má hustotu

$$p(\mathbf{z}) = \frac{\Gamma\left(\frac{\nu+k}{2}\right)}{\Gamma\left(\frac{\nu}{2}\right) \nu^{\frac{k}{2}} \pi^{\frac{k}{2}}} |\Sigma|^{-\frac{1}{2}} \left\{ 1 + \frac{(\mathbf{z} - \mu)^\top \Sigma^{-1} (\mathbf{z} - \mu)}{\nu} \right\}^{-\frac{\nu+k}{2}}, \quad \mathbf{z} \in \mathbb{R}^k$$

- $\mathbb{E}\mathbf{Z} = \mu$, je-li $\nu > 1$,
- $\text{var}\mathbf{Z} = \frac{\nu}{\nu-2} \Sigma$, je-li $\nu > 2$,
- $\text{modus}\mathbf{Z} = \mu$.

Marginální aposteriorní rozdělení β

$$p(\beta | \mathbf{y}) \propto \dots \propto \left\{ 1 + \frac{s^{-2} (\beta - \mathbf{b})^\top \mathbb{X}^\top \mathbb{X} (\beta - \mathbf{b})}{n - k} \right\}^{-\frac{n-k+k}{2}}$$

- To jest,

$$\beta | \mathbf{y} \sim \mathbf{b}(\mathbf{y}) + \text{MVT}_{k, n-k} \left(s^2(\mathbf{y}) (\mathbb{X}^\top \mathbb{X})^{-1} \right)$$

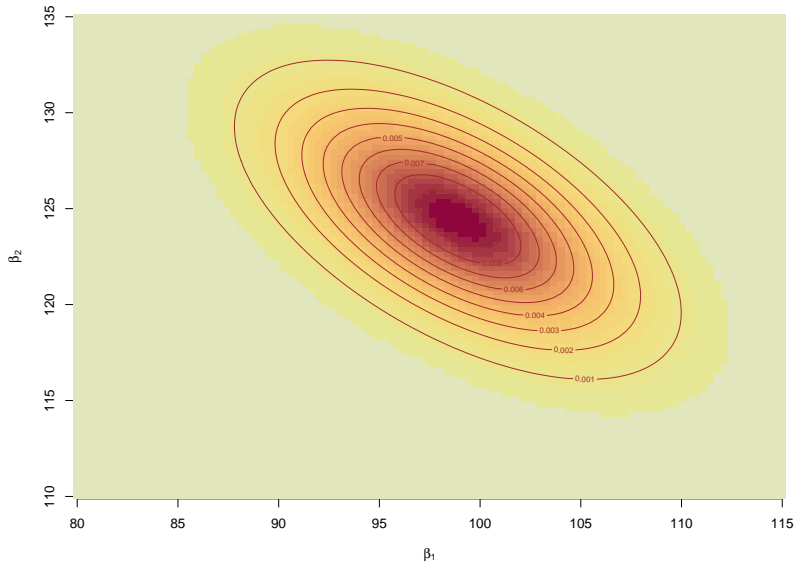
- Jaké je aposteriorní rozdělení pro $\beta_j, j = 1, \dots, k$?

Momenty

- $\mathbb{E}(\beta | \mathbf{Y} = \mathbf{y}) = \mathbf{b}, \quad \text{pro } n - k > 1$
- $\text{var}(\beta | \mathbf{Y} = \mathbf{y}) = \frac{n - k}{n - k - 2} s^2 (\mathbb{X}^\top \mathbb{X})^{-1}, \quad \text{pro } n - k > 2$

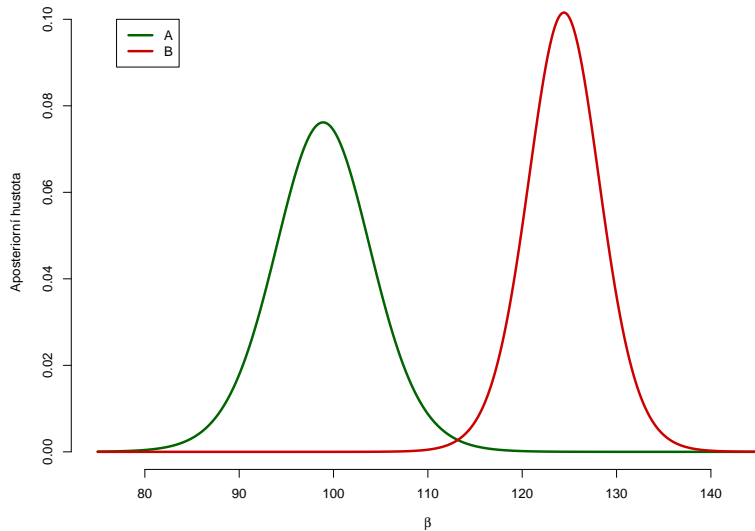
Marginální aposteriorní rozdělení β

Vážení lehkých objektů



Marginální aposteriorní rozdělení β_1 a β_2

Vážení lehkých objektů



Bayesovské odhady β_1 a β_2

Vážení lehkých objektů

(Možné) bodové odhady

$$\hat{\beta}_1 = \mathbb{E}(\beta_1 | \mathbf{Y} = \mathbf{y}) = \text{med}(\beta_1 | \mathbf{Y} = \mathbf{y}) = 98.89$$

$$\hat{\beta}_2 = \mathbb{E}(\beta_2 | \mathbf{Y} = \mathbf{y}) = \text{med}(\beta_2 | \mathbf{Y} = \mathbf{y}) = 124.42$$

95% věrohodnostní intervaly

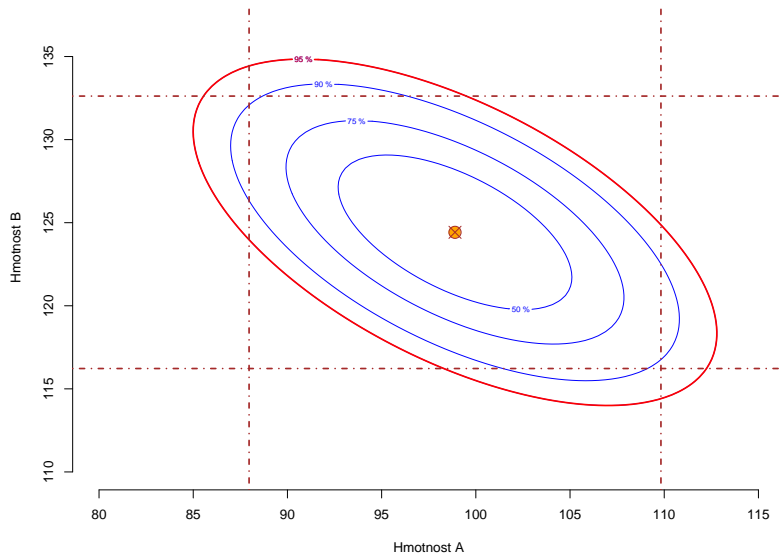
ET i HPD interval $\beta_1 : (87.96, 109.83)$

$$\beta_2 : (116.22, 132.62)$$

$$\frac{s^{-2} (\beta - \mathbf{b})^\top \mathbb{X}^\top \mathbb{X} (\beta - \mathbf{b})}{k} \leq F_{k,n-k}(1 - \alpha)$$

HPD věrohodnostní množina pro β

Vážení lehkých objektů



- $p(\beta, \tau) = p(\beta | \tau) \times p(\tau)$
- $p(\beta | \tau) \equiv \mathcal{N}_k(\beta_0, \tau^{-1}\Sigma_0)$
- $p(\tau) \equiv \mathcal{G}(c_0, d_0)$
- $\beta_0, \Sigma_0, c_0, d_0$: pevné parametry apriorního rozdělení
 - Jaká je jejich interpretace?
 - Jakou apriorní informaci vyjadřují jejich konkrétní volby?

Snadné domácí cvičení ☺:

- Odvoďte $p(\beta, \tau | \mathbf{y})$, $p(\beta | \mathbf{y})$, $p(\tau | \mathbf{y})$ v případě, že je uvažováno výše uvedené apriorní rozdělení.

Užitečná maticová rovnost

(pro snadné domácí cvičení)

Nechť \mathbb{A} a \mathbb{B} jsou symetrické pozitivně semidefinitní matice dimenze $p \times p$ a alespoň jedna z nich nechť je pozitivně definitní. Nechť $\mathbf{x}, \mathbf{a}, \mathbf{b}$ jsou reálné vektory z \mathbb{R}^p . Potom

$$\begin{aligned} & (\mathbf{x} - \mathbf{a})^\top \mathbb{A} (\mathbf{x} - \mathbf{a}) + (\mathbf{x} - \mathbf{b})^\top \mathbb{B} (\mathbf{x} - \mathbf{b}) \\ &= (\mathbf{x} - \boldsymbol{\mu})^\top \mathbb{V}^{-1} (\mathbf{x} - \boldsymbol{\mu}) \\ &\quad \underbrace{- (\mathbb{A}\mathbf{a} + \mathbb{B}\mathbf{b})^\top \mathbb{V} (\mathbb{A}\mathbf{a} + \mathbb{B}\mathbf{b}) + \mathbf{a}^\top \mathbb{A} \mathbf{a} + \mathbf{b}^\top \mathbb{B} \mathbf{b}}_{\text{nezávisí na } \mathbf{x}}, \end{aligned}$$

kde

$$\mathbb{V} = (\mathbb{A} + \mathbb{B})^{-1}$$

$$\boldsymbol{\mu} = \mathbb{V} (\mathbb{A}\mathbf{a} + \mathbb{B}\mathbf{b})$$

Konjugovaný systém apriorních rozdělení

Aposteriorní rozdělení

$$p(\beta, \tau | \mathbf{y}) \propto \tau^{\frac{n}{2} + \frac{k}{2} + c_0 - 1} \exp \left\{ -\tau \left(\frac{\text{SS}_e}{2} + d_0 \right) \right\}$$

$$\exp \left[-\frac{\tau}{2} \left\{ (\beta - \mathbf{b})^\top \mathbb{X}^\top \mathbb{X} (\beta - \mathbf{b}) + (\beta - \beta_0)^\top \Sigma_0^{-1} (\beta - \beta_0) \right\} \right],$$

$$\tau | \mathbf{y} \sim \mathcal{G} \left(\frac{n}{2} + c_0, \frac{\text{SS}_e(\mathbf{y})}{2} + d_0 \right),$$

$$\beta | \tau, \mathbf{y} \sim \mathcal{N}_k(\hat{\beta}(\mathbf{y}), \tau^{-1} \hat{\Sigma}(\mathbf{y})), \quad \hat{\Sigma}(\mathbf{y}) = (\mathbb{X}^\top \mathbb{X} + \Sigma_0^{-1})^{-1},$$

$$\hat{\beta}(\mathbf{y}) = \hat{\Sigma}(\mathbf{y}) (\mathbb{X}^\top \mathbb{X} \mathbf{b}(\mathbf{y}) + \Sigma_0^{-1} \beta_0)$$

Interpretace parametrů apriorního rozdělení?

2

Aposteriorní inference založená na
simulaci

Oddíl 2.1

Úvod

- $\theta = (\theta_1, \dots, \theta_k)^\top$: vektor (bayesovských) parametrů
- Aposteriorní inference je založená na

$$p(\theta | \mathbf{y}) \propto L(\theta) p(\theta)$$

- hustota vzhledem k σ -konečné mře λ na $(\mathbb{R}^k, \mathcal{B}^k)$,
- v dalším budeme zkráceně namísto $p(\theta | \mathbf{y})d\lambda(\theta)$ psát $p(d\theta | \mathbf{y})$.

- V rámci aposteriorní inference nás též pro nějaké měřitelné funkce t na parametrickém prostoru Θ zajímají zejména následující veličiny:
 - $\mathbb{E}_{p(d\theta | \mathbf{y})} t(\theta) = \int t(\theta) p(d\theta | \mathbf{y})$
 - kvantily $t(\theta)$ vzhledem k rozdělení $p(d\theta | \mathbf{y})$
 - medián, věrohodnostní intervaly,
 - aposteriorní rozdělení náhodné veličiny. $t(\theta)$
- Kromě triviálních případů vyžaduje **integrování** přes $p(d\theta | \mathbf{y})$.

Oddíl 2.2

Monte Carlo integrace

Snaha pro měřitelnou funkci $t : \mathbb{R}^k \rightarrow \mathbb{R}$ numericky spočítat

$$\mathbb{E}_{p(d\theta | \mathbf{y})} t(\theta) = \int t(\theta) p(d\theta | \mathbf{y}).$$

- Předpokládejme, že $\mathbb{E}_{p(d\theta | \mathbf{y})} t(\theta)$ existuje konečné.
- Předpokládejme dále, že jsme schopni získat náhodný výběr

$$\boldsymbol{\theta}_M = \{\boldsymbol{\theta}^{(1)}, \dots, \boldsymbol{\theta}^{(M)}\} \quad \text{z rozdělení } p(d\theta | \mathbf{y}).$$

Potom $\int t(\theta) p(d\theta | \mathbf{y}) \approx \frac{1}{M} \sum_{m=1}^M t(\boldsymbol{\theta}^{(m)}) = \widehat{\mathbb{E}}_{p(d\theta | \mathbf{y})} t(\theta) := \widehat{t}_M$.

- Proč a kdy to funguje?

Monte Carlo integrace

- Jestliže $\int |t(\theta)| p(d\theta | \mathbf{y}) < \infty$, potom

$$\hat{t}_M = \frac{1}{M} \sum_{m=1}^M t(\boldsymbol{\theta}^{(m)}) \xrightarrow{\text{a.s.}} \int t(\theta) p(d\theta | \mathbf{y}) \quad \text{pro } M \rightarrow \infty$$

(silný zákon velkých čísel).

- Dále, jestliže $\int \{t(\theta)\}^2 p(d\theta | \mathbf{y}) < \infty$, potom

$$\begin{aligned} v_M := \text{var} \left\{ \frac{1}{M} \sum_{m=1}^M t(\boldsymbol{\theta}^{(m)}) \right\} &= \frac{1}{M} \text{var}_{p(d\theta | \mathbf{y})} t(\theta) \\ &= \frac{1}{M} \int \left\{ t(\theta) - \mathbb{E}_{p(\theta | \mathbf{y})} \right\}^2 p(d\theta | \mathbf{y}) \end{aligned}$$

ohodnocuje rychlosť konvergencie a tudíž též presnosť aproximacie pri použití konečného M .

- $\sqrt{v_M}$ Monte Carlo chyba (*Monte Carlo Error*).

Monte Carlo integrace

Odhad Monte Carlo chyby

- Opět s využitím silného zákona velkých čísel se snadno ukáže (obdobně jako při důkazu konzistence výběrového rozptylu), že

$$\frac{1}{M-1} \sum_{m=1}^M \left\{ t(\theta^{(m)}) - \hat{t}_M \right\}^2 \xrightarrow{\text{a.s.}} \text{var}_{p(d\theta | \mathbf{y})} t(\theta), \quad \text{pro } M \rightarrow \infty.$$

- Rozptyl \hat{v}_M lze tudíž odhadnout pomocí

$$\hat{v}_M = \frac{1}{M(M-1)} \sum_{m=1}^M \left\{ t(\theta^{(m)}) - \hat{t}_M \right\}^2.$$

- $\sqrt{\hat{v}_M}$ =odhad Monte Carlo chyby.

Rozdělení aproximace

- Za položených předpokladů platí též **centrální limitní věta**, která spolu s **Cramérovou-Sluckého větou** vede k

$$\frac{\widehat{t}_M - \mathbb{E}_{p(d\theta | y)} t(\theta)}{\sqrt{\widehat{v}_M}} \xrightarrow{\mathcal{D}} \mathcal{N}(0, 1)$$

- ohodnocení konvergence Monte Carlo integrace,
- konstrukce konfidenčních mezí pro aproximaci.

Poznámka

- Potřebný náhodný výběr S_M obvykle na náš popud generuje počítač.
 - Velikost výběru M lze poměrně snadno ovlivnit (víceméně závisí pouze na výkonu počítače a době, po kterou jsme ochotni čekat na výsledek).
 - S patřičně velkým M lze i reálně dosáhnout požadované přesnosti při odhadu $\mathbb{E}_{p(d\theta | y)} t(\theta)$.

Oddíl 2.3

Důležité speciální případy

- Předpokládejme, že $\boldsymbol{\theta} = (\theta_1, \dots, \theta_k)^\top$ a $\mathcal{S}_M = \{\boldsymbol{\theta}^{(1)}, \dots, \boldsymbol{\theta}^{(M)}\}$ je náhodný výběr z $p(d\boldsymbol{\theta} | \mathbf{y})$

Důležitý speciální případ 1

$$t(\boldsymbol{\theta}) = \theta_j \quad (j = 1, \dots, k)$$

- $\frac{1}{M} \sum_{m=1}^M \theta_j^{(m)}$ je MC odhadem pro $\mathbb{E}_{p(d\boldsymbol{\theta} | \mathbf{y})} \theta_j$.

Důležitý speciální případ 2

$$t(\theta) = \mathbb{I}_{[\theta_j \leq x]}(\theta_j) \text{ pro } x \in \mathbb{R} \quad (j = 1, \dots, k)$$

- $\frac{1}{M} \sum_{m=1}^M \mathbb{I}_{[\theta_j \leq x]}(\theta_j^{(m)}) = \frac{\#\{\theta_j^{(m)} \leq x\}}{M}$ je MC odhadem pro
$$\mathbb{E}_{p(d\theta | \mathbf{y})} \mathbb{I}_{[\theta_j \leq x]}(\theta_j) = P(\theta_j \leq x | \mathbf{Y} = \mathbf{y}).$$
- MC odhad **marginální** aposteriorní distribuční funkce θ_j .
- Libovolný odhad hustoty (histogram, jádrový odhad, ...) založený na $\theta_j^{(1)}, \dots, \theta_j^{(M)}$ je MC odhadem **marginální** aposteriorní hustoty $p(\theta_j | \mathbf{y})$,
■■■ odsud lze mj. odhadnout **HPD věrohodnostní intervaly**.
- Výběrové kvantily založené na $\theta_j^{(1)}, \dots, \theta_j^{(M)}$ odhadují kvantily **marginálního** aposteriorního rozdělení $p(d\theta_j | \mathbf{y})$
■■■ odhad **ET věrohodnostních intervalů**.

Důležitý speciální případ 3

Veličina hlavního zájmu je $r(\theta)$, kde $r : \mathbb{R}^k \rightarrow \mathbb{R}$ je měřitelná funkce
a $t(\theta) = \mathbb{I}_{[r(\theta) \leq x]}(\theta)$ pro $x \in \mathbb{R}$

- $\frac{1}{M} \sum_{m=1}^M \mathbb{I}_{[r(\theta) \leq x]}(\theta^{(m)}) = \frac{\# [r(\theta^{(m)}) \leq x]}{M}$ je MC odhadem pro
$$\mathbb{E}_{p(d\theta | \mathbf{y})} \mathbb{I}_{[r(\theta) \leq x]}(\theta) = \mathsf{P}\{r(\theta) \leq x | \mathbf{Y} = \mathbf{y}\}.$$
- MC odhad marginální aposteriorní distribuční funkce $r(\theta)$.
- Libovolný odhad hustoty (histogram, jádrový odhad, ...) založený na $r(\theta^{(1)}), \dots, r(\theta^{(M)})$ je MC odhadem marginální aposteriorní hustoty $p(r(\theta) | \mathbf{y})$
 - ➡ odsud lze mj. odhadnout HPD věrohodnostní intervaly.
- Výběrové kvantily založené na $r(\theta^{(1)}), \dots, r(\theta^{(M)})$ odhadují kvantily marginálního aposteriorního rozdělení $p(dr(\theta) | \mathbf{y})$
 - ➡ odhady ET věrohodnostních intervalů.

Důležitý speciální případ 3, pokračování

Veličina hlavního zájmu je $r(\theta)$, kde $r : \mathbb{R}^k \rightarrow \mathbb{R}$ je měřitelná funkce

- Zvolíme-li $t(\theta) = r(\theta)$, dostaneme MC odhad pro $\mathbb{E}_{p(d\theta | y)} r(\theta)$.
- Při počítání MC odhadů veličin založených na aposteriorním rozdělení $r(\theta)$ již nemusíme ani integrovat, ani používat větu o transformaci.
- $r(\theta)$ může být prakticky libovolně “složitou” funkcí θ a stále je vše upočitatelné i prakticky.

Kde vzít onen náhodný výběr

$$\mathcal{S}_M = \{\boldsymbol{\theta}^{(1)}, \dots, \boldsymbol{\theta}^{(M)}\} \quad z \text{ rozdělení } p(d\boldsymbol{\theta} | \mathbf{y})?$$

Oddíl 2.4

Simulace ze zadaného rozdělení

- Vše dosud řečené o MC integraci lze samozřejmě použít k numerickému počítání integrálů vzhledem k **libovolnému rozdělení**.
 - Nejen aposteriornímu v rámci nějakého bayesovského modelu.
- V dalším se budeme zabývat problémem simulace ze zadaného rozdělení, které budeme reprezentovat hustotou $f(\theta)$ vzhledem k nějaké σ -konečné mříži λ na $(\mathbb{R}^k, \mathcal{B}^k)$ a distribuční funkcí $F(\theta)$.
 - Nadále budeme zkráceně psát $f(\theta)d\lambda(\theta) = f(d\theta)$.
 - V rámci bayesovských metod budeme obvykle používat s $f(d\theta) = p(d\theta | \mathbf{y})$.

- Nejprve se budeme zabývat případem jednorozměrného rozdělení $f(d\theta)$.

Věta 2.1 .

Nechť U je náhodná veličina s rovnoměrným rozdělením na intervalu $(0, 1)$. Nechť θ je náhodná veličina s distribuční funkcí F . Nechť pro $0 < u < 1$ je $F^{-1}(u) = \inf\{\theta : F(\theta) \geq u\}$ kvantilová funkce. Potom má náhodná veličina

$$Z = F^{-1}(U)$$

stejné rozdělení jako náhodná veličina θ , tj. Z má rozdělení s distribuční funkcí F .

Důkaz.

- Triviální, jestliže navíc předpokládáme, že F je spojitá a rostoucí na nosiči, tj. na množině Θ , pro kterou platí

$$P(\theta \in \Theta) = 1, \quad \forall \tilde{\Theta} \subset \Theta, P(\theta \in \Theta \setminus \tilde{\Theta}) > 0 \Rightarrow P(\theta \in \tilde{\Theta}) < 1.$$

- O něco složitější, jestliže spojitost a monotonii F na nosiči nepředpokládáme.



Univerzální algoritmus pro simulování z jednorozměrného rozdělení

Generování z rozdělení θ s distribuční funkcí $F(\theta)$:

1. Vygeneruj $U \sim \mathcal{U}(0, 1)$.
 2. Polož $\theta = F^{-1}(U)$.
- Efektivní, jestliže jsme schopni efektivně počítat hodnoty F^{-1} .

Specifické algoritmy pro simulování z jednorozměrných rozdělení

- Pro mnohá běžná rozdělení existují efektivnější metody založené obvykle na transformacích, z nichž mnohé byly propočítány v rámci **Cvičení k předmětu Matematická statistika 1 (NMSA331)**.
- Příklad 1:
 $U_1, U_2 \stackrel{\text{i.i.d.}}{\sim} \mathcal{U}(0, 1)$, potom pro

$$\theta_1 = \mu + \sigma \cos(2\pi U_1) \sqrt{-2 \log U_2},$$

$$\theta_2 = \mu + \sigma \sin(2\pi U_1) \sqrt{-2 \log U_2}$$

platí $\theta_1, \theta_2 \stackrel{\text{i.i.d.}}{\sim} \mathcal{N}(\mu, \sigma^2)$.

- Příklad 2:

$U \sim \mathcal{U}(0, 1)$, potom pro

$$\theta = -\frac{1}{\lambda} \log(U)$$

platí $\theta \sim \mathcal{Exp}(\lambda)$.

Více o simulování z rozdělení s plně specifikovanou hustotou (nejenom jednorozměrnou)

Podrobnější obrázek

- Přednáška **Simulační metody (NMST535)** vyučovaná v zimním semestru.
- Luc Devroye. *Non-Uniform Random Variate Generation*. New York: Springer-Verlag, 1986.

Praktické aplikace

- Statistické balíky využívají těchto metod ke generování z většiny běžných rozdělení.
 -  funkce `runif`, `rnorm`, `rexp`, ...
 - "Běžný" uživatel se nemusí příliš trápit s generováním z běžných (\equiv "pojmenovaných") rozdělení a prostě použije zabudované možnosti svého software.

Přímá simulace založená na podmiňování

- Předpokládejme, že $\theta = (\theta_1^\top, \dots, \theta_k^\top)^\top$ a v rozkladu

$$f(d\theta) = f(d\theta_1, \dots, d\theta_k)$$

$$= f(d\theta_1 | \theta_2, \dots, \theta_k) f(d\theta_2 | \theta_3, \dots, \theta_k) \cdots f(d\theta_{k-1} | d\theta_k) f(d\theta_k)$$

jsme schopni snadno generovat ze všech (podmíněných) rozdělení
 $f(d\theta_1 | \theta_2, \dots, \theta_k), f(d\theta_2 | \theta_3, \dots, \theta_k), \dots, f(d\theta_{k-1} | \theta_k), f(d\theta_k)$.

- Algoritmus pro generování ze sdruženého rozdělení $f(d\theta)$ je potom následující:
 1. Vygeneruj θ_k z $f(d\theta_k)$.
 2. Vygeneruj θ_{k-1} z $f(d\theta_{k-1} | \theta_k)$.
 3. :
 4. Vygeneruj θ_2 z $f(d\theta_2 | \theta_3, \dots, \theta_k)$.
 5. Vygeneruj θ_1 z $f(d\theta_1 | \theta_2, \theta_3, \dots, \theta_k)$.

Lineární model

$$\mathbf{Y} = \mathbb{X}\boldsymbol{\beta} + \boldsymbol{\varepsilon}, \quad \mathbb{X} : \text{pevná matice } n \times k,$$
$$\boldsymbol{\varepsilon} \sim \mathcal{N}_n(\mathbf{0}, \sigma^2 \mathbf{I}_n).$$

- Parametry: $\theta = (\boldsymbol{\beta}^\top, \tau^\top)^\top$, kde $\tau = \sigma^{-2} > 0$.
- Věrohodnost: $\mathbf{Y} \sim \mathcal{N}_n(\mathbb{X}\boldsymbol{\beta}, \tau^{-1} \mathbf{I}_n)$.
- Neinformativní apriorní rozdělení:

$$p(\boldsymbol{\beta}) \propto 1, \quad \boldsymbol{\beta} \in \mathbb{R}^k,$$

$$p(\tau) \propto \frac{1}{\tau}, \quad \tau > 0.$$

Příklad: Lineární model s neinformativní apriorním rozdělením

Aposteriorní rozdělení

- Označme: $\mathbf{b} = (\mathbb{X}^\top \mathbb{X})^{-1} \mathbb{X}^\top \mathbf{y}$,

$$\text{SS}_e = \|\mathbf{y} - \mathbb{X}\mathbf{b}\|^2.$$

- Bylo odvozeno:

$$p(\boldsymbol{\beta}, \tau | \mathbf{y}) = p(\boldsymbol{\beta} | \tau, \mathbf{y}) \times p(\tau | \mathbf{y}),$$

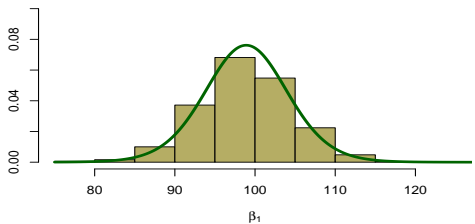
kde $p(\tau | \mathbf{y}) \sim \mathcal{G}\left(\frac{n-k}{2}, \frac{\text{SS}_e}{2}\right)$,

$$p(\boldsymbol{\beta} | \tau, \mathbf{y}) \sim \mathcal{N}_k\left(\mathbf{b}, \tau^{-1}(\mathbb{X}^\top \mathbb{X})^{-1}\right).$$

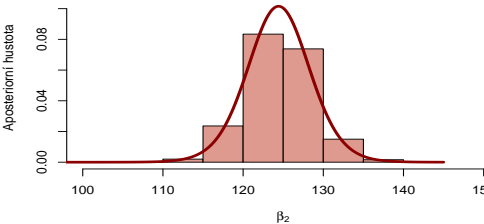
Příklad: Vážení lehkých objektů

Marginální aposteriorní hustoty ($M=1\,000$)

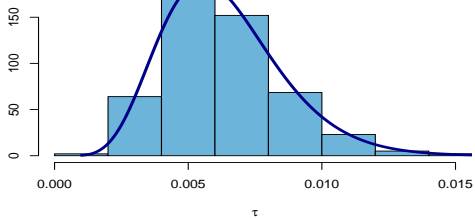
Hmotnost A



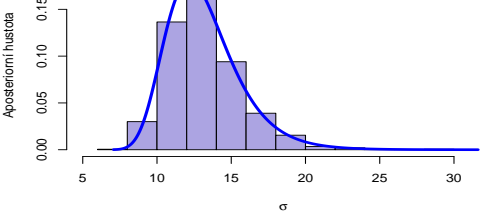
Hmotnost B



Inverzní rozptyl



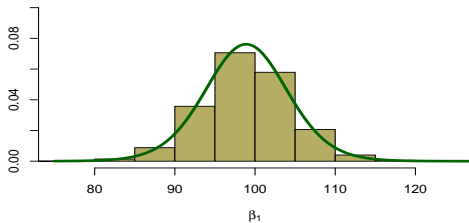
Sm rodatná odchylnka



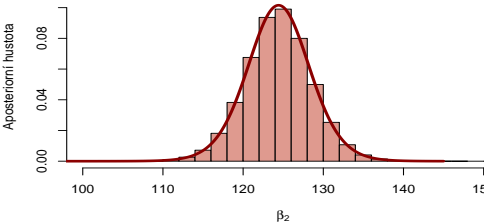
Příklad: Vážení lehkých objektů

Marginální aposteriorní hustoty ($M=1\,000\,000$)

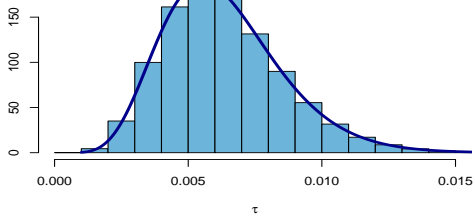
Hmotnost A



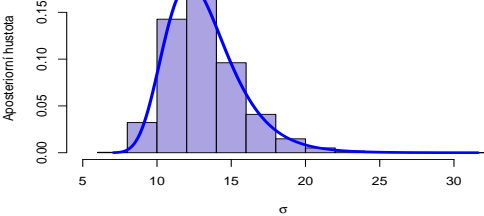
Hmotnost B



Inverzní rozptyl



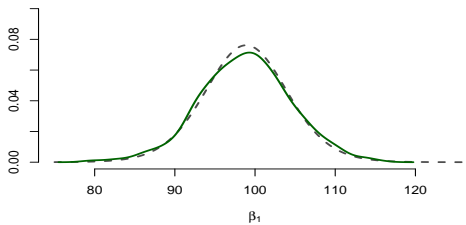
Sm rodatná odchylnka



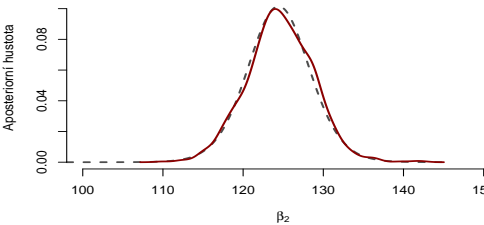
Příklad: Vážení lehkých objektů

Marginální aposteriorní hustoty ($M=1\,000$)

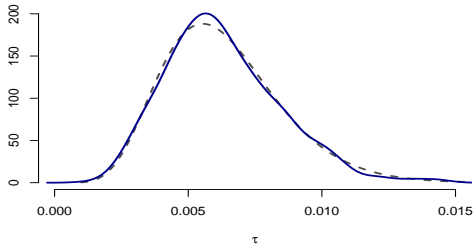
Hmotnost A



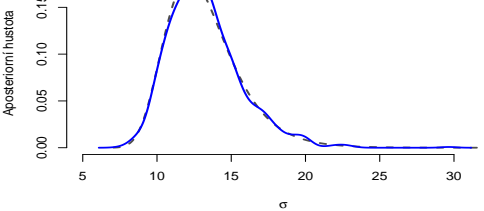
Hmotnost B



Inverzní rozptyl



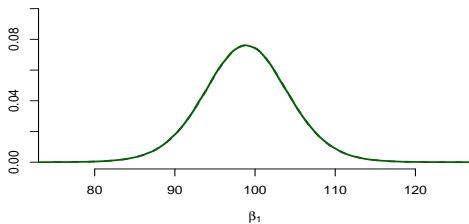
Inverzní rozptyl



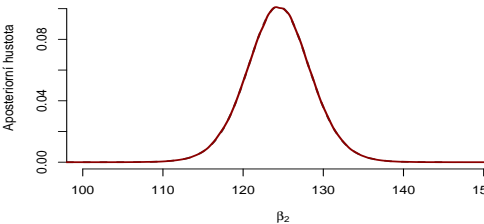
Příklad: Vážení lehkých objektů

Marginální aposteriorní hustoty ($M=1\,000\,000$)

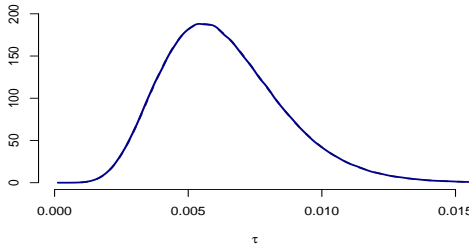
Hmotnost A



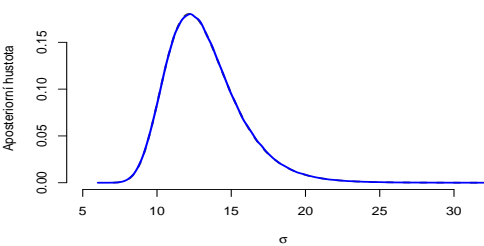
Hmotnost B



Inverzní rozptyl

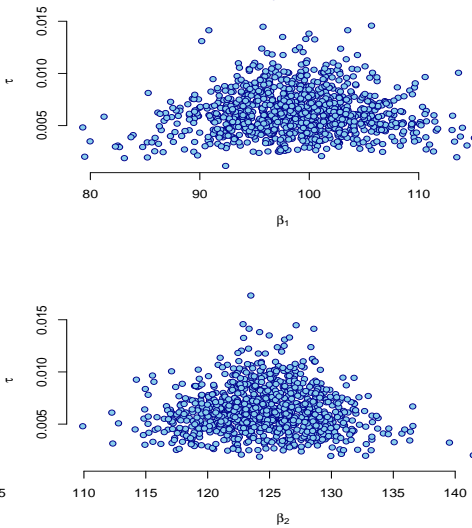
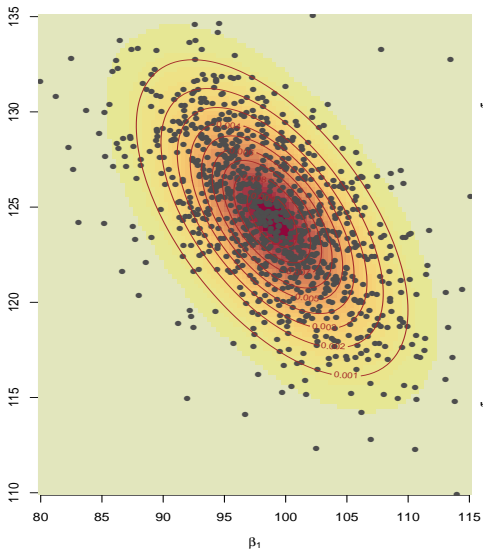


Inverzní rozptyl



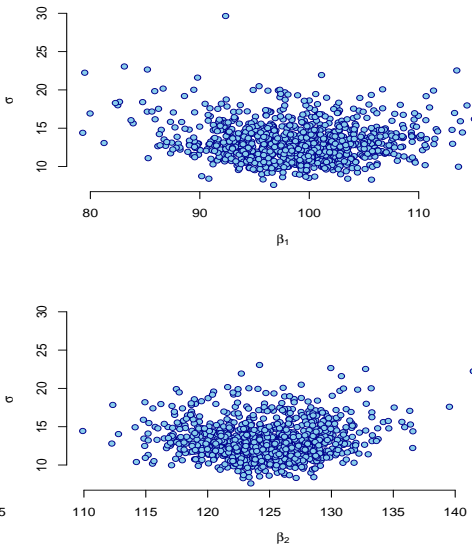
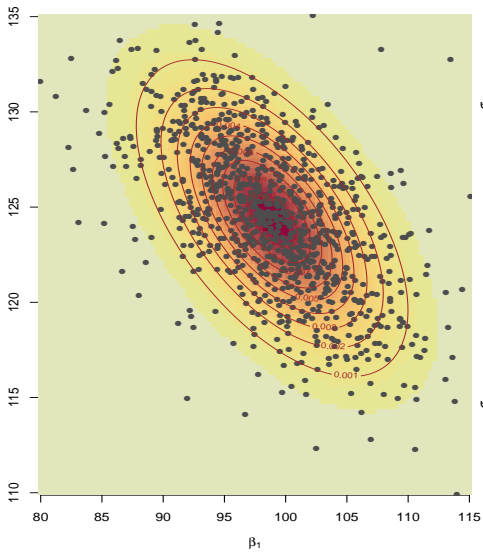
Příklad: Vážení lehkých objektů

Sdružené výběry z aposteriorního rozdělení ($M=1\,000$)



Příklad: Vážení lehkých objektů

Sdružené výběry z aposteriorního rozdělení ($M=1\,000$)



Příklad: Vážení lehkých objektů

Aposteriorní inference pro β (M=1 000)

	β_1	β_2
Aposter. střední hodnota	98,8947	124,4211
MC odhad	98,7944	124,6197
MC chyba	0,1804	0,1312
Aposter. medián	98,8947	124,4211
MC odhad	98,7813	124,5673
95% ET věr. interval	(87,9641; 109,8253)	(116,2231; 132,6190)
MC odhad	(86,9761; 110,0815)	(116,7594; 132,6802)
95% HPD věr. interval	(87,9641; 109,8253)	(116,2231; 132,6190)
MC odhad	(87,9245; 110,7076)	(116,4892; 132,2210)

Příklad: Vážení lehkých objektů

Aposteriorní inference pro β ($M=1\,000\,000$)

	β_1	β_2
Aposter. střední hodnota	98,8947	124,4211
MC odhad	98,8874	124,4192
MC chyba	0,0055	0,0041
Aposter. medián	98,8947	124,4211
MC odhad	98,8849	124,4196
95% ET věr. interval	(87,9641; 109,8253)	(116,2231; 132,6190)
MC odhad	(87,9680; 109,8184)	(116,2239; 132,6113)
95% HPD věr. interval	(87,9641; 109,8253)	(116,2231; 132,6190)
MC odhad	(88,0765; 109,9202)	(116,1496; 132,5329)

Příklad: Vážení lehkých objektů

Aposteriorní inference pro τ a σ (M=1 000)

	τ	σ
Aposter. střední hodnota	0,00633	?
MC odhad	0,00629	13,207
MC chyba	0,0000689	0,0776
Aposter. medián	0,00607	?
MC odhad	0,00601	12,904
95% ET věr. interval	(0,00273; 0,01142)	?
MC odhad	(0,00272; 0,01097)	(9,547; 19,183)
95% HPD věr. interval	?	?
MC odhad	(0,00248; 0,01039)	(8,987; 18,186)

Příklad: Vážení lehkých objektů

Aposteriorní inference pro τ a σ ($M=1\,000\,000$)

	τ	σ
Aposter. střední hodnota	0,00633	?
MC odhad	0,00633	13,198
MC chyba	0,0000022	0,0025
Aposter. medián	0,00607	?
MC odhad	0,00607	12,838
95% ET věr. interval	(0,00273; 0,01142)	?
MC odhad	(0,00274; 0,01142)	(9,356; 19,116)
95% HPD věr. interval	?	?
MC odhad	(0,00237; 0,01081)	(8,872; 18,224)

3

Hierarchické modely

Oddíl 3.1

Hierarchické apriorní rozdělení

- Volba apriorního rozdělení může značným způsobem ovlivnit formu rozdělení **aposteriorního**.
- Nebezpečí **zneužití** bayesovské statistiky.
- Většina “bayesovských” aplikací z posledních cca 25 let
 - není motivována snahou využívat jakoukoliv apriorní informaci,
 - hlavní motivace: navržený model nelze (ani numericky) odhadnout frekventisticky (typicky pomocí **maximální věrohodnosti**), nicméně lze ho odhadnout pomocí **simulací** bayesovsky,
 - neexistuje žádná skutečná apriorní informace.

- Pouze málodky je apriorní informace dostatečně bohatá na to, abychom mohli zvolené apriorní rozdělení považovat za přesné a **bez jakékoliv chyby** definované.
 - Potřeba vhodným způsobem vyjádřit **nejistotu** při volbě apriorního rozdělení.
- Bayesovský model s hierarchicky specifikovaným apriorním rozdělením
- rozklad apriorního rozdělení do několika úrovní podmíněných rozdělení,
 - nejistota na libovolné úrovni je vyjádřena apriorním rozdělením v další úrovni.

Bayesovský model s hierarchicky specifikovaným apriorním rozdělením

Definice 3.1 Bayesovský model s hierarchicky specifikovaným apriorním rozdělením.

Bayesovský model s hierarchicky specifikovaným apriorním rozdělením je statistický model s věrohodností $L(\psi) = p(\mathbf{y} | \psi)$ a apriorním rozdělením $p(\psi)$, kde $p(\psi)$ je rozloženo na podmíněná rozdělení

$$p_0(\psi | \zeta_1), p_1(\zeta_1 | \zeta_2), \dots, p_{m-1}(\zeta_{m-1} | \zeta_m)$$

a marginální rozdělení $p_m(\zeta_m)$ tak, že

$$p(\psi) =$$

$$\int_{Z_1 \times \dots \times Z_m} p_0(\psi | \zeta_1) p_1(\zeta_1 | \zeta_2) \cdots p_{m-1}(\zeta_{m-1} | \zeta_m) p_m(\zeta_m) d\zeta_1 \cdots d\zeta_m.$$

Parametry obsažené v ζ_i se nazývají **hyperparametry** i -té úrovně ($1 \leq i \leq m$).

Model

$$\mathbf{Y} = \mathbb{X}\boldsymbol{\beta} + \boldsymbol{\varepsilon}, \quad \mathbb{X} : \text{pevná matice } n \times k,$$
$$\boldsymbol{\varepsilon} \sim \mathcal{N}_n(\mathbf{0}, \sigma^2 \mathbf{I}_n).$$

- **Parametry:** $\psi = (\boldsymbol{\beta}^\top, \tau)^\top$, kde $\tau = \sigma^{-2} > 0$
- **Věrohodnost:** $L(\psi) = p(\mathbf{y} | \psi) \equiv \mathcal{N}_n(\mathbb{X}\boldsymbol{\beta}, \tau^{-1} \mathbf{I}_n)$
- Konjugované apriorní rozdělení:

$$p(\boldsymbol{\beta}, \tau) = p(\boldsymbol{\beta} | \tau) \times p(\tau)$$

$$p(\boldsymbol{\beta} | \tau) \equiv \mathcal{N}_k(\boldsymbol{\beta}_0, \tau^{-1} \boldsymbol{\Sigma}_0)$$

$$p(\tau) \equiv \mathcal{G}(c_0, d_0)$$

- $\boldsymbol{\beta}_0, \boldsymbol{\Sigma}_0, c_0, d_0$: pevné (hyper)parametry.

- Volba parametrů gama apriorního rozdělení pro τ (resp. samotná volba gama rozdělení) mívá dosti značný vliv na výsledné aposteriorní rozdělení.
- Nepovažujme c_0 a/nebo d_0 za pevné konstanty, ale umožněme náhodnost při jejich výběru.
 - hierarchický model
 - například:

$$p(\tau | d_0) \equiv \mathcal{G}(c_0, d_0)$$

$$p(d_0) \equiv \mathcal{G}(g_0, h_0)$$

- c_0 : pevný (hyper)parametr
- d_0 : náhodný hyperparametr 1. úrovně
- g_0, h_0 : pevné (hyper)parametry (2. úrovně)

Oddíl 3.2

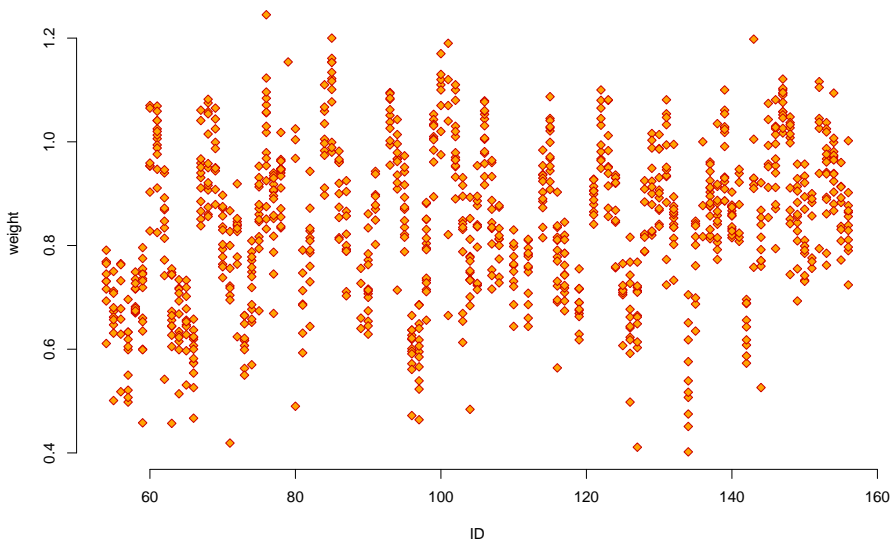
Hierarchicky specifikovaná věrohodnost

Hierarchicky specifikovaná věrohodnost

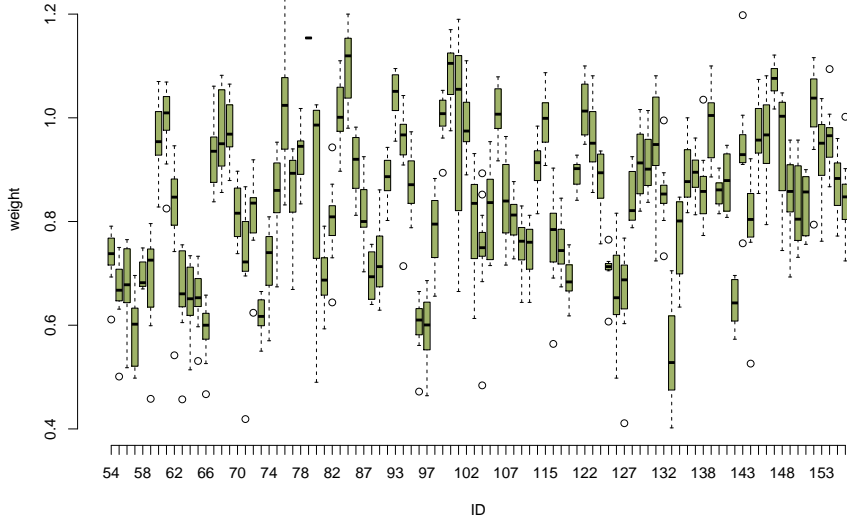
- Hierarchická specifikace (též v nebayesovském kontextu) je často přirozeným způsobem jak zkonstruovat **realistický** pravděpodobnostní model pro popis reálné situace.
- Oblasti využití, které jste už potkali
 - Data získaná **stratifikovaným** výběrem či jinak **shlukovaná** (*grouped data*).
 - **Longitudinální** (biostatistiky), resp. **panelová** (ekonometrie) data.

- Data z *National Toxicology Program*
- 94 těhotným myším byla podána v předem určených momentech určená množství etylenglykolu (EG)
- V 17. dnu těhotenství byly myši usmrcteny a následně byla zaznamenána hmotnost zárodků
- Pravděpodobnostní reprezentace dat:
$$Y_{i,j} = \text{hmotnost } j\text{-tého zárodku } i\text{-té myši}, i = 1, \dots, N, j = 1, \dots, n_i$$
- Primární cíl:
Odhad a inference pro $\mu = \mathbb{E} Y_{i,j}$

Příklad: NTP TER84073 pokus na myších



Příklad: NTP TER84073 pokus na myších



Příklad: NTP TER84073 pokus na myších

- Možný pravděpodobnostní model:

$$Y_{i,j} \sim \mathcal{N}(\mu, \sigma^2).$$

-
- Je ospravedlnitelné předpokládat, že $Y_{1,1}, \dots, Y_{N,n_N}$ jsou nezávislé?

Příklad: NTP TER84073 pokus na myších

- Realističtější pravděpodobnostní model:

$$Y_{i,j} \mid b_i \sim \mathcal{N}(b_i, \sigma^2), \\ b_i \sim \mathcal{N}(\mu, d^2).$$

- Pro každé i již lze předpokládat (podmíněnou) nezávislost $Y_{i,1} \mid b_i, \dots, Y_{i,n_i} \mid b_i$.
- Lze též předpokládat nezávislost b_1, \dots, b_N .
- b_i : střední hmotnost zárodku i -té myši.
- σ^2 : rozptyl hmotnosti zárodků u jednotlivé myši
➡ vnitroskupinová variabilita.
- μ : střední hmotnost zárodku v celé populaci

$$\mathbb{E} Y_{i,j} = \mathbb{E}\{\mathbb{E}(Y_{i,j} \mid b_i)\} = \mathbb{E}b_i = \mu.$$

- Realističtější pravděpodobnostní model:

$$\begin{aligned} Y_{i,j} \mid b_i &\sim \mathcal{N}(b_i, \sigma^2), \\ b_i &\sim \mathcal{N}(\mu, d^2). \end{aligned}$$

- Modelujeme též jistým způsobem korelaci mezi zárodky jedné myši:

$$\text{cov}(Y_{i,j}, Y_{i,k}) = \dots = d^2,$$

$$\text{var}(Y_{i,j}) = \dots = \sigma^2 + d^2.$$

$$\Rightarrow \text{cor}(Y_{i,j}, Y_{i,k}) = \frac{d^2}{\sigma^2 + d^2}$$

vnitroskupinová korelace (*intraclass correlation*)

Hierarchické modely

Obecná poznámka

- Též v jiných modelech lze často rozlišit tři typy parametrů (v bayesovském smyslu):
 - skrytá data
 - v dalším budeme obvykle značit ξ
 - “čisté” parametry \equiv parametry též ve frekventistickém pojetí
 - v dalším budeme obvykle značit ψ
 - náhodné hyperparametry
 - v dalším budeme obvykle značit ζ
- Parametry pro bayesovský model jsou potom $\theta = (\xi^\top, \psi^\top, \zeta^\top)^\top$.

Hierarchické modely

Obecná poznámka, pokračování

- Sdružené apriorní rozdělení je zadáno rozkladem

$$p(\theta) = p(\xi, \psi, \zeta) = p(\xi | \psi) p(\psi | \zeta) p(\zeta)$$

- $p(\xi | \psi)$: strukturální část apriorního rozdělení
 - plyne z uvažovaného pravděpodobnostního modelu použitého pro popis situace
- $p(\psi | \zeta) p(\zeta)$: "skutečné" apriorní rozdělení

“ANOVA” hierarchický model

Konkrétní apriorní rozdělení (jedna z možností)

- Např. konjugované apriorní rozdělení s dodatečnými hyperparametry, abychom se ochránili od nadměrného ovlivnění aposteriorního rozdělení rozdělením apriorním:

$$\begin{aligned} p(\tau, \mu, q, b_0, d_0) \\ = & \underbrace{p(\mu | q)}_{\mathcal{N}(\mu_0, k_0^{-1} q^{-1})} \quad \underbrace{p(q | b_0)}_{\mathcal{G}(a_0, b_0)} \quad \underbrace{p(b_0)}_{\mathcal{G}(p_0, r_0)} \quad \underbrace{p(\tau | d_0)}_{\mathcal{G}(c_0, d_0)} \quad \underbrace{p(d_0)}_{\mathcal{G}(g_0, h_0)} \end{aligned}$$

- b_0, d_0 : náhodné hyperparametry, tj. $\zeta = (b_0, d_0)^\top$
- $\mu_0, k_0, b_0, p_0, r_0, d_0, g_0, h_0$: pevné hyperparametry
- Graficky lze zpřehlednit pomocí DAGu (*directed acyclic graph*)
 - Kolečka: náhodné uzly
 - Čtverečky: nenáhodné uzly
 - Vyjádření (podmíněných) (ne)závislostí

“ANOVA” hierarchický model

Apriorní rozdělení (jedna z možností)

$$\begin{aligned} p(\tau, \mu, q, b_0, d_0) \\ = & \underbrace{p(\mu | q)}_{\mathcal{N}(\mu_0, k_0^{-1} q^{-1})} \quad \underbrace{p(q | b_0)}_{\mathcal{G}(a_0, b_0)} \quad \underbrace{p(b_0)}_{\mathcal{G}(p_0, r_0)} \quad \underbrace{p(\tau | d_0)}_{\mathcal{G}(c_0, d_0)} \quad \underbrace{p(d_0)}_{\mathcal{G}(g_0, h_0)} \end{aligned}$$

Nenáhodné (pevné) (hyper)parametry:

- μ_0, k_0
 - a_0, p_0, r_0
 - c_0, g_0, h_0
- ➡ Jak je volit?

“ANOVA” hierarchický model

Volba nenáhodných (hyper)parametrů

- Není-li k dispozici žádná rozumná apriorní informace, je snaha volit nenáhodné (hyper)parametry tak, aby výsledné apriorní rozdělení bylo co nejméně informativní (*weakly informative*).
 - $p(\psi | \mathbf{y}) \propto L_F(\psi) p(\psi)$,
 - $p(\psi)$ představuje “nová” pozorování ve věrohodnosti.
 - Snaha volit apriorní rozdělení tak, aby vliv těchto “nových” umělých pozorování na věrohodnost byl co možná nejmenší.
 - Snaha, aby co možná nejvíce platilo $p(\psi) \propto 1$ (viz též první část semestru).
 - Stačí, aby platilo relativně k $L_F(\psi)$.
- Konkrétní volba pevných hyperparametrů je často (částečně) motivována pozorovanými daty.

“ANOVA” hierarchický model

(Částečně) datově motivovaná volba pevných hyperparametrů

- μ_0 : apriorní střední hodnota pro $\mathbb{E} Y_{i,j} = \mathbb{E} b_i = \mu$
 - $\mu_0 \approx \bar{y}$
- k_0 : ovlivňuje apriorní inverzní rozptyl (přesnost) pro μ
 - k_0 blízké 0
- a_0, c_0, p_0, g_0 : “stupně volnosti” gama rozdělení
 - obvykle mezi 0 a 1
- r_0, h_0 : “rate” parametr gama rozdělení v poslední hierarchické úrovni
 - obvykle se volí blízké 0

“ANOVA” hierarchický model

Aposteriorní rozdělení

- $p(\theta | \mathbf{y})$ odvodíme standardním způsobem
→ Jak?
- V tomto konkrétním případě lze při volbě konjugovaného systému ještě vše odvodit analyticky.
- Pro mnohé jiné volby apriorních rozdělení již analyticky odvodit nelze (problém spočítat integrál ve jmenovateli Bayesovy věty).
- Inference pomocí aposteriorního rozdělení obvykle založená na počítačové simulaci (**Monte Carlo metody**).

4

(Zobecněné) lineární smíšené
modely

Oddíl 4.1

Lineární smíšený model

- Normální lineární smíšený model

$$\mathbf{Y}_i = \mathbb{X}_i \boldsymbol{\beta} + \mathbb{Z}_i \mathbf{b}_i + \boldsymbol{\varepsilon}_i, \quad i = 1, \dots, N$$

$$\mathbf{b}_i \stackrel{\text{i.i.d.}}{\sim} \mathcal{N}_q(\boldsymbol{\mu}, \mathbb{D})$$

$$\boldsymbol{\varepsilon}_i \sim \mathcal{N}_{n_i}(\mathbf{0}, \boldsymbol{\Sigma}_i)$$

- $\mathbf{b}_1, \dots, \mathbf{b}_N, \boldsymbol{\varepsilon}_1, \dots, \boldsymbol{\varepsilon}_N$ vzájemně nezávislé
-

Normální lineární smíšený model

Hierarchický zápis

Normální lineární smíšený model zapsaný hierarchicky

$$\mathbf{Y}_i \mid \boldsymbol{b}_i \sim \mathcal{N}_{n_i}(\mathbb{X}_i \boldsymbol{\beta} + \mathbb{Z}_i \boldsymbol{b}_i, \boldsymbol{\Sigma}_i), \quad i = 1, \dots, N$$

$$\boldsymbol{b}_i \stackrel{\text{i.i.d.}}{\sim} \mathcal{N}_q(\boldsymbol{\mu}, \mathbb{D})$$

- $\mathbf{Y}_1, \dots, \mathbf{Y}_N$ vzájemně nezávislé
- $\boldsymbol{b}_1, \dots, \boldsymbol{b}_N$ vzájemně nezávislé

Oddíl 4.2

Příklady

Příklad: NTP TER84073 pokus na myších

Normální lineární smíšený model

- Pravděpodobnostní reprezentace dat:

$$Y_{i,j} = \text{hmotnost } j\text{-tého zárodku } i\text{-té myši}, i = 1, \dots, N, j = 1, \dots, n_i$$

- Normální LMM:

$$Y_{i,j} | b_i \sim \mathcal{N}(b_i, \sigma^2)$$

$$\mathbf{Y}_i | b_i \sim \mathcal{N}_{n_i}(b_i \mathbf{1}, \boldsymbol{\Sigma}_i)$$

$$b_i \stackrel{\text{i.i.d.}}{\sim} \mathcal{N}(\mu, d^2)$$

- V obecném značení

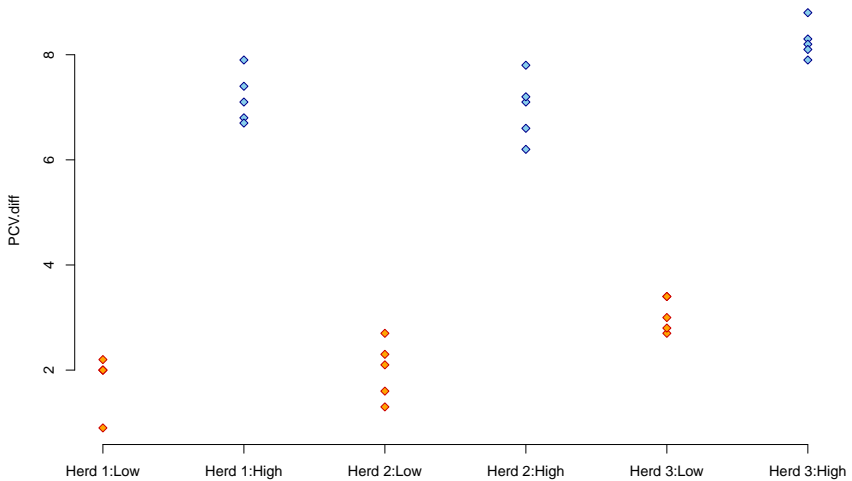
$$\mathbb{X}_i \text{ není, } \quad \mathbb{Z}_i = \begin{pmatrix} 1 \\ \vdots \\ 1 \end{pmatrix}, \quad \boldsymbol{\Sigma}_i = \sigma^2 \mathbf{I}_{n_i}, \quad \mathbb{D} = d^2$$

Příklad: Vliv dávky Berenilu na léčbu trypanosomosis

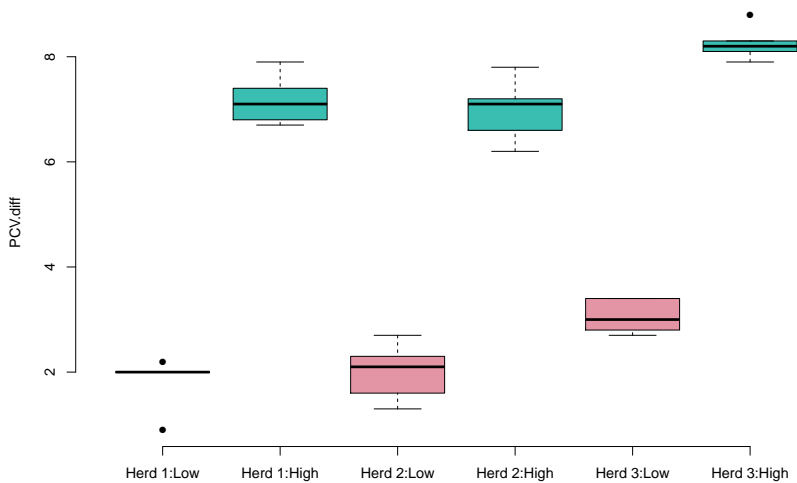
- Experiment mající za úkol vyhodnotit vliv dávky léku Berenil na úspěšnost léčby trypanosomosis u krav
- Úspěšnost léčby je měřena pomocí přírůstku PCV (packed cell volume) po určité době podávání léku
- Zajímá nás, zda existuje rozdíl v úspěšnosti léčby nízkou či vysokou dávkou Berenilu
- Experiment proběhl na kravách ze 3 stád (z různých farem)
- Každé stádo bylo rozděleno náhodně na dvě (přibližně stejné) části, přičemž krávy z jedné části stáda byly ošetřovány nízkou dávkou Berenilu, krávy z druhé části stáda byly ošetřovány vysokou dávkou Berenilu
- Pravděpodobnostní reprezentace dat:

$$Y_{i,j} = \text{PCV přírůstek u } j\text{-té krávy } i\text{-tého stáda}$$

Příklad: Vliv dávky Berenilu na léčbu trypanosomosis



Příklad: Vliv dávky Berenilu na léčbu trypanosomosis



Příklad: Vliv dávky Berenilu na léčbu trypanosomosis

Lineární smíšený model

- Jestliže lze předpokládat, že dávka má stejný účinek ve všech stádech, lze výsledek experimentu reprezentovat následujícím LMM

$$Y_{i,j} = b_i + x_{i,j} \beta + \varepsilon_{i,j}$$

- $x_{i,j}$ $\begin{cases} 0, & \text{jestliže } (i,j)\text{-tá kráva léčena nízkou dávkou} \\ 1, & \text{jestliže } (i,j)\text{-tá kráva léčena vysokou dávkou} \end{cases}$
- b_i : střední účinek nízké dávky v i -tému stádu
 - **náhodný efekt stáda**
 - nepředpokládáme, že je stejné u všech stád
 - předpokládáme, že stáda jsou náhodně vybrána z populace stád
 - $\mathbb{E}b_i = \mu$ = střední účinek nízké dávky v **populaci**
- β : rozdíl mezi účinky vysoké a nízké dávky
 - konstantní (pevný efekt)
 - předpokládáme, že je stejné u všech stád
 - **populační** rozdíl mezi účinky vysoké a nízké dávky
- $\varepsilon_{i,j}$: **náhodná** odchylka (i,j) -té krávy od střední hodnoty její části (vysoká/nízká dávka) jejího stáda

Příklad: Vliv dávky Berenilu na léčbu trypanosomosis

Lineární smíšený model

$$Y_{i,j} = b_i + x_{i,j} \beta + \varepsilon_{i,j}$$

$$\mathbb{E}b_i = \mu$$

- Parametr hlavního zájmu: β
≡ populační rozdíl v efektu léčby vysokou a nízkou dávkou

Příklad: Vliv dávky Berenilu na léčbu trypanosomosis

Normální lineární smíšený model

- Normální LMM:

$$Y_{i,j} | b_i \sim \mathcal{N}(b_i + x_{i,j}\beta, \sigma^2)$$

$$\mathbf{Y}_i | b_i \sim \mathcal{N}_{n_i}(\mathbb{Z}_i b_i + \mathbb{X}_i \beta, \sigma^2 \mathbf{I}_{n_i})$$

$$b_i \stackrel{\text{i.i.d.}}{\sim} \mathcal{N}(\mu, d^2)$$

- V obecném značení

$$\mathbb{X}_i = \begin{pmatrix} x_{i,1} \\ \vdots \\ x_{i,n_i} \end{pmatrix}, = \begin{pmatrix} 0 \\ \vdots \\ 0 \\ 1 \\ \vdots \\ 1 \end{pmatrix}, \quad \mathbb{Z}_i = \begin{pmatrix} 1 \\ \vdots \\ 1 \end{pmatrix}, \quad \Sigma_i = \sigma^2 \mathbf{I}_{n_i}, \quad \mathbb{D} = d^2$$

Příklad: Vliv dávky Berenilu na léčbu trypanosomosis

Lineární smíšený model 2

- Jestliže nelze předpokládat, že dávka má stejný účinek ve všech stádech, lze výsledek experimentu reprezentovat následujícím LMM

$$Y_{i,j} = b_{i,1} + z_{i,j} b_{i,2} + \varepsilon_{i,j}$$

- $z_{i,j}$ $\begin{cases} 0, & \text{jestliže } (i,j)\text{-tá kráva léčena nízkou dávkou} \\ 1, & \text{jestliže } (i,j)\text{-tá kráva léčena vysokou dávkou} \end{cases}$
- $b_{i,1}$: střední účinek nízké dávky v i -tému stádu
 - **náhodný** efekt stáda (nepředpokládáme, že je stejné u všech stád)
 - předpokládáme, že stáda jsou náhodně vybrána z populace stád
 - $\mathbb{E}b_{i,1} = \mu_1$ = střední účinek nízké dávky v populaci
- $b_{i,2}$: rozdíl mezi účinky vysoké a nízké dávky v i -tému stádu
 - **náhodný** efekt stáda (nepředpokládáme, že je stejné u všech stád)
 - $\mathbb{E}b_{i,2} = \mu_2$ = střední rozdíl mezi účinky vysoké a nízké dávky v populaci
- $\varepsilon_{i,j}$: **náhodná** odchylka (i,j) -té krávy od střední hodnoty její části (vysoká/nízká dávka) jejího stáda

Příklad: Vliv dávky Berenilu na léčbu trypanosomosis

Lineární smíšený model 2

$$Y_{i,j} = b_{i,1} + b_{i,2} z_{i,j} + \varepsilon_{i,j}$$

$$\mathbb{E}b_{i,1} = \mu_1$$

$$\mathbb{E}b_{i,2} = \mu_2$$

- Parametr hlavního zájmu: μ_2
≡ populační rozdíl v efektu léčby vysokou a nízkou dávkou

Příklad: Vliv dávky Berenilu na léčbu trypanosomosis

Normální lineární smíšený model 2

- Označme $\mathbf{b}_i = (b_{i,1}, b_{i,2})$

- Normální LMM:

$$Y_{i,j} | \mathbf{b}_i \sim \mathcal{N}(b_{i,1} + z_{i,j} b_{i,2}, \sigma^2)$$

$$\mathbf{Y}_i | \mathbf{b}_i \sim \mathcal{N}_{n_i}(\mathbb{Z}_i \mathbf{b}_i, \boldsymbol{\Sigma}_i)$$

$$\mathbf{b}_i \stackrel{\text{i.i.d.}}{\sim} \mathcal{N}_2(\boldsymbol{\mu}, \mathbb{D})$$

- V obecném značení

$$\mathbb{X}_i \text{ není, } \mathbb{Z}_i = \begin{pmatrix} 1 & 0 \\ \vdots & \vdots \\ 1 & 0 \\ 1 & 1 \\ \vdots & \vdots \\ 1 & 1 \end{pmatrix}, \quad \boldsymbol{\Sigma}_i = \sigma^2 \mathbf{I}_{n_i}, \quad \boldsymbol{\mu} = \begin{pmatrix} \mu_1 \\ \mu_2 \end{pmatrix}, \quad \mathbb{D} = \begin{pmatrix} d_1^2 & d_{1,2} \\ d_{1,2} & d_2^2 \end{pmatrix}$$

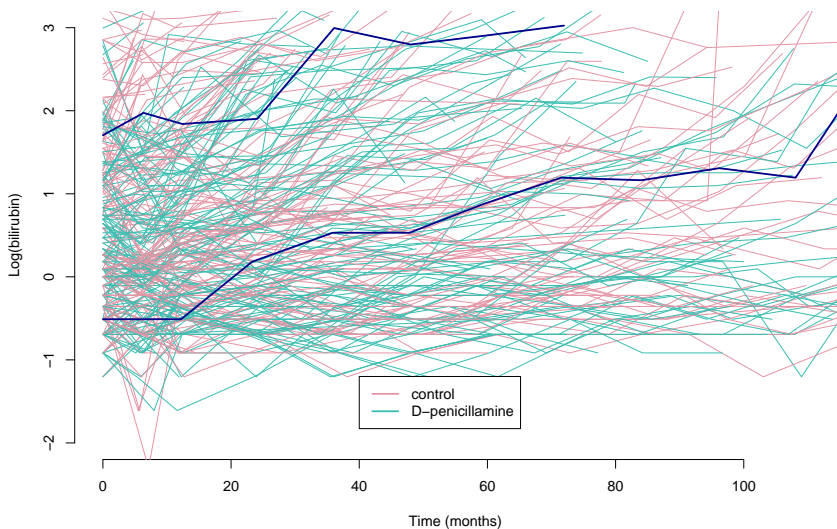
Příklad: Vývoj hladiny bilirubinu u pacientů s PBC

Longitudinální studie

- Studie, která proběhla v letech 1974–1984 na Mayo Clinic
- 312 pacientů s PBC (primary biliary cirrhosis)
- 158 pacientů léčeno D-penicillaminem
- 154 pacientů léčeno pouze standardní léčbou
- Jedním z cílů studie je srovnat skupiny (D-penicillamin vs. kontrolní) vzhledem k vývoji hladiny bilirubinu (jeden z ukazatelů vážnosti PBC)
- Pacienti chodili v zadaných (ne zcela pravidelných) intervalech na vyšetření, kde byla zjištována (mimo jiného) hladina bilirubinu
- Medián doby sledování byl 6,3 roku (IQR 3,7 – 8,9 roku)
- Pravděpodobnostní reprezentace dat:

$Y_{i,j} = \text{logaritmus hladiny bilirubinu } i\text{-tého pacienta v čase } t_{i,j}$

Příklad: Vývoj hladiny bilirubinu u pacientů s PBC



Příklad: Vývoj hladiny bilirubinu u pacientů s PBC

Možný lineární smíšený model

- Vývoj hladiny logaritmického bilirubinu v čase se zdá být u každého pacienta lineární
 - Možný model pro jednoho pacienta: **přímka v čase**
 - Každý pacient však začíná v čase 0 na jiné úrovni
 - různé absolutní členy (intercepty) pro různé pacienty
 - Růst/pokles log-bilirubinu může být jinak rychlý u jednotlivých pacientů
 - různé směrnice pro různé pacienty
- ⇒ $Y_{i,j} = b_{i,1} + b_{i,2} t_{i,j} + \varepsilon_{i,j}$
- $b_{i,1}$: absolutní člen přímky (\equiv trend) i -tého pacienta
 - $b_{i,2}$: směrnice přímky i -tého pacienta
 - $\varepsilon_{i,j}$: náhodná odchylka od celkového trendu v čase $t_{i,j}$

Příklad: Vývoj hladiny bilirubinu u pacientů s PBC

Možný lineární smíšený model

$$Y_{i,j} = b_{i,1} + b_{i,2} t_{i,j} + \varepsilon_{i,j}$$

- $b_i = (b_{i,1}, b_{i,2})^\top$: náhodný efekt
 - ⇒ reprezentuje výběr z populace pacientů
- $\mathbb{E}b_{i,1} = \mu_1$: střední (populační) absolutní člen
- $\mathbb{E}b_{i,2} = \mu_2$: střední (populační) směrnice
 - ⇒ $\mathbb{E}Y_{i,j} = \mu_1 + \mu_2 t_{i,j}$
≡ střední vývoj log-bilirubinu v čase v populaci

Příklad: Vývoj hladiny bilirubinu u pacientů s PBC

Zahrnutí informace o skupině (kontrolní/D-penicillamine)

- Pacienti byli na začátku studie přiřazováni do skupin náhodně
 - Lze předpokládat stejnou střední hladinu log-bilirubinu v obou skupinách
 - Stejný střední absolutní člen v obou skupinách
- D-penicillamine může vést k jinak rychlé změně hladiny log-bilirubinu
 - Potřeba umožnit různé střední směrnice v jednotlivých skupinách
- Nechť x_i $\begin{cases} 0, & \text{jestliže } i\text{-tý pacient patří do kontrolní skupiny} \\ 1, & \text{jestliže } i\text{-tý pacient patří do D-penicillamine skupiny} \end{cases}$
 - Model umožňující různé střední směrnice v jednotlivých skupinách

$$Y_{i,j} = b_{i,1} + b_{i,2} t_{i,j} + \beta t_{i,j} x_{i,j} + \varepsilon_{i,j}$$

Příklad: Vývoj hladiny bilirubinu u pacientů s PBC

Model zahrnující informaci o skupině (kontrolní/D-penicillamine)

$$Y_{i,j} = b_{i,1} + b_{i,2} t_{i,j} + \beta t_{i,j} x_{i,j} + \varepsilon_{i,j}$$

- $\mathbf{b}_i = (b_{i,1}, b_{i,2})^\top$: náhodný efekt

■■■→ reprezentuje výběr z populace pacientů

- $\mathbb{E}b_{i,1} = \mu_1$: střední (populační) absolutní člen

■■■→ Při $x_i = 0$ je $\mathbb{E} Y_{i,j} = \mu_1 + \mu_2 t_{i,j}$

≡ střední vývoj log-bilirubinu v čase v kontrolní skupině

■■■→ Při $x_i = 1$ je $\mathbb{E} Y_{i,j} = \mu_1 + (\mu_2 + \beta) t_{i,j}$

≡ střední vývoj log-bilirubinu v čase ve skupině D-penicillamine

- $\mathbb{E}b_{i,2} = \mu_2$: střední (populační) směrnice v kontrolní skupině

- $\mathbb{E}(b_{i,2} + \beta) = \mu_2 + \beta$: střední (populační) směrnice ve skupině D-penicillamine

■■■→ β střední (populační) rozdíl směrnic mezi skupinou D-penicillamine a kontrolní skupinou

Příklad: Vývoj hladiny bilirubinu u pacientů s PBC

Normální lineární smíšený model

- Normální LMM:

$$Y_{i,j} \mid \boldsymbol{b}_i \sim \mathcal{N}(b_{i,1} + b_{i,2} t_{i,j} + \beta t_{i,j} x_{i,j}, \sigma^2)$$

$$\boldsymbol{Y}_i \mid \boldsymbol{b}_i \sim \mathcal{N}_{n_i}(\mathbb{X}_i \boldsymbol{\beta} + \mathbb{Z}_i \boldsymbol{b}_i, \boldsymbol{\Sigma}_i)$$

$$\boldsymbol{b}_i \stackrel{\text{i.i.d.}}{\sim} \mathcal{N}_2(\boldsymbol{\mu}, \mathbb{D})$$

- Jak vypadají \mathbb{X}_i , \mathbb{Z}_i , $\boldsymbol{\Sigma}_i$?

Oddíl 4.3

Lineární smíšený model bayesovsky

Normální lineární smíšený model

Zápis 1

$$\mathbf{Y}_i = \mathbb{X}_i \boldsymbol{\beta} + \mathbb{Z}_i \mathbf{b}_i + \varepsilon_i, \quad i = 1, \dots, N$$

$$\mathbf{b}_i \stackrel{\text{i.i.d.}}{\sim} \mathcal{N}_q(\boldsymbol{\mu}, \mathbb{D})$$

$$\varepsilon_i \sim \mathcal{N}_{n_i}(\mathbf{0}, \boldsymbol{\Sigma}_i)$$

- $\mathbf{b}_1, \dots, \mathbf{b}_N, \varepsilon_1, \dots, \varepsilon_N$ vzájemně nezávislé

Zápis 2

$$\mathbf{Y}_i | \mathbf{b}_i \sim \mathcal{N}_{n_i}(\mathbb{X}_i \boldsymbol{\beta} + \mathbb{Z}_i \mathbf{b}_i, \boldsymbol{\Sigma}_i), \quad i = 1, \dots, N$$

$$\mathbf{b}_i \stackrel{\text{i.i.d.}}{\sim} \mathcal{N}_q(\boldsymbol{\mu}, \mathbb{D})$$

- $\mathbf{Y}_1, \dots, \mathbf{Y}_N$ vzájemně nezávislé

- $\mathbf{b}_1, \dots, \mathbf{b}_N$ vzájemně nezávislé

Normální lineární smíšený model

Parametry ve frekventistickém pojetí

“Čisté” parametry (parametry ve frekventistickém smyslu)

- β : pevné efekty
 - (populační) vliv regresorů zahrnutých v matici \mathbb{X} na odezvu
- $\mu = \mathbb{E}\mathbf{b}_i$ ($i = 1, \dots, N$) : střední hodnoty náhodných efektů
 - (populační) vliv regresorů zahrnutých v matici \mathbb{Z} na odezvu
- $\Sigma_i = \text{var}(\mathbf{Y}_i | \mathbf{b}_i)$ ($i = 1, \dots, N$) : “vnitroskupinová” varianční matice
 - často se předpokládá $\Sigma_i = \sigma^2 \mathbf{I}_{n_i}$
➡ podmíněná nezávislost
 - pomocí jiné struktury pro matici Σ_i lze modelovat i jiné struktury závislosti (AR(d), ...)
- $\mathbb{D} = \text{var}\mathbf{b}_i$ ($i = 1, \dots, N$) : “meziskupinová” varianční matice
 - obvykle se nepředpokládá žádná speciální struktura \mathbb{D} a pouze se požaduje, aby $\mathbb{D} > 0$ (pozitivně definitní matice)

Normální lineární smíšený model

Frekventistická věrohodnost

- **Frekventistické parametry:** $\psi = (\beta^\top, \mu^\top, \underbrace{\text{par}(\Sigma_1, \dots, \Sigma_N)}_{\text{často pouze } \sigma^2}, \text{par}(\mathbb{D}))^\top$
- **Frekventistická věrohodnost:**

$$L_F(\psi) = p(\mathbf{y} | \psi) = \cdots = \prod_{i=1}^N \varphi(\mathbf{y}_i | \mathbb{X}_i \boldsymbol{\beta} + \mathbb{Z}_i \boldsymbol{\mu}, \mathbb{V}_i),$$

$$\text{kde } \mathbb{V}_i = \mathbb{Z}_i \mathbb{D} \mathbb{Z}_i^\top + \boldsymbol{\Sigma}_i$$

- Při odhadu metodou **maximální věrohodnosti** potřeba maximalizovat $L_F(\psi)$ při omezeních $\boldsymbol{\Sigma}_i > 0$ (pro všechna $i = 1, \dots, N$) a $\mathbb{D} > 0$
 -  balíčky `lme4`, `nlme`
 - SAS procedura `MIXED`

Normální lineární smíšený model

Skrytá data a věrohodnost bayesovského modelu

- Další náhodné složky modelu:
 - ≡ vektory náhodných efektů $\mathbf{b}_1, \dots, \mathbf{b}_N$
 - ⇒ Další “parametry” při bayesovském přístupu
 - ≡ skrytá data
- **Skrytá data:** $\xi = (\mathbf{b}_1^\top, \dots, \mathbf{b}_N^\top)^\top$
- **Věrohodnost bayesovského modelu:**

$$L(\xi, \psi) = p(\mathbf{y} | \xi, \psi) = \cdots = \prod_{i=1}^N \varphi(\mathbf{y}_i | \mathbb{X}_i \boldsymbol{\beta} + \mathbb{Z}_i \mathbf{b}_i, \boldsymbol{\Sigma}_i)$$

Oddíl 4.4

Zobecněný lineární smíšený model

Příklad: NTP TER84073 pokus na myších

- Data z *National Toxicology Program*.
- 94 těhotným myším byla podána v předem určených momentech určená množství etylenglykolu (EG).
- V 17. dnu těhotenství byly myši usmrcteny a následně byl zaznamenán počet zárodků ($n_i, i = 1, \dots, 94$) a indikace, zda se u jednotlivých zárodků vyskytovala vývojová vada.
- Pravděpodobnostní reprezentace dat:

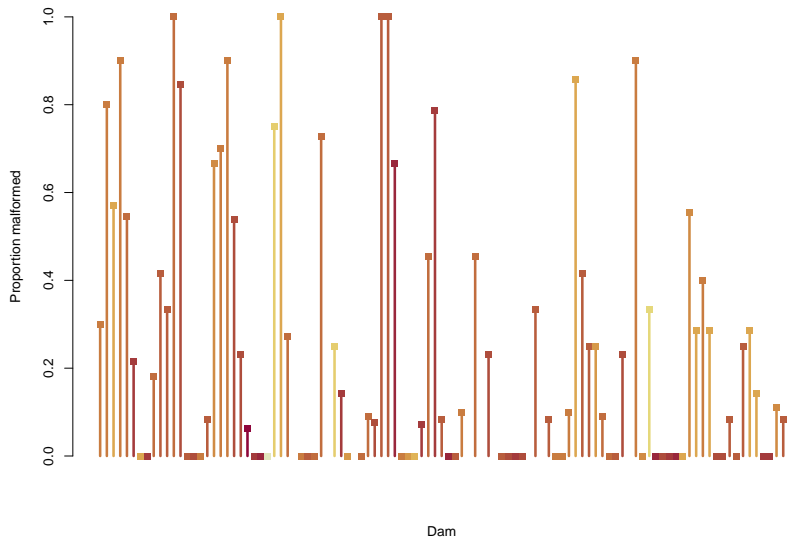
$$Y_{i,j} = \begin{cases} 0, & \text{jestliže } j\text{-tý zárodek } i\text{-té myši bez vývojové vady,} \\ 1, & \text{jestliže } j\text{-tý zárodek } i\text{-té myši s vývojovou vadou.} \end{cases}$$

- Primární cíl:

Odhad a inference pro $\pi = \mathbb{E} Y_{i,j} = P(Y_{i,j} = 1)$.

Příklad: NTP TER84073 pokus na myších

Pozorované proporce zárodků s vývojovými vadami



Příklad: NTP TER84073 pokus na myších

Možný model

Možný model ($j = 1, \dots, n_i$ pro každé $i = 1, \dots, N$)

- $Y_{i,j} | \pi_i \sim \mathcal{A}(\pi_i)$.
 - $\pi_i \stackrel{\text{i.i.d.}}{\sim}$ z nějakého rozdělení.
- Reprezentuje fakt, že každá myš má jiné (genetické apod.) dispozice k tomu, aby se u jejích zárodků vyvinuly vývojové vady.
- Myši zahrnuté do studie jsou náhodným výběrem z populace myší a proto je rozumné předpokládat, že též π_i ($i = 1, \dots, N$) jsou náhodné.
 - Abychom se nemuseli starat o omezení $0 < \pi_i < 1$ ($i = 1, \dots, N$), bude užitečné použít vhodnou reparametrizaci, např.

$$\pi_i = \frac{e^{b_i}}{1 + e^{b_i}}, \quad b_i = \text{logit}(\pi_i) = \log\left(\frac{\pi_i}{1 - \pi_i}\right)$$

a v modelu uvažovat $b_i \stackrel{\text{i.i.d.}}{\sim}$ z nějakého rozdělení.

→ Logistická regrese s náhodnými efekty.

Příklad: NTP TER84073 pokus na myších

Logistická regrese s normálně rozdělenými náhodnými efekty

Možný model ($j = 1, \dots, n_i$ pro každé $i = 1, \dots, N$)

- $Y_{i,j} | b_i$ nezávislé s rozdělením $\mathcal{A}(\pi_i)$, kde $\pi_i = \frac{e^{b_i}}{1+e^{b_i}}$.
- b_i i.i.d. s rozdělením $\mathcal{N}(\mu, d^2)$.

Parametry (klasické)

- $\psi = (\mu, d^2)^\top$.

Věrohodnost (frekventistická)

$$\begin{aligned} L_F(\psi) &= p(\mathbf{y} | \psi) = \prod_{i=1}^N p(\mathbf{y}_i | \psi) = \prod_{i=1}^N \int_{\mathbb{R}} \prod_{j=1}^{n_i} p(y_{i,j} | b_i, \psi) p(b_i | \psi) db_i \\ &= \prod_{i=1}^N \int_{\mathbb{R}} \pi_i^{\sum_{j=1}^{n_i} y_{i,j}} (1 - \pi_i)^{n_i - \sum_{j=1}^{n_i} y_{i,j}} \varphi(b_i | \mu, d^2) db_i \\ &= \prod_{i=1}^N \int_{\mathbb{R}} \frac{e^{b_i \sum_{j=1}^{n_i} y_{i,j}}}{(1 + e^{b_i})^{n_i}} \varphi(b_i | \mu, d^2) db_i. \end{aligned}$$

Oddíl 4.5

Apriorní rozdělení

Normální (zobecněný) lineární smíšený model

Apriorní rozdělení

- Využijeme rozklad, který sleduje hierarchickou strukturu modelu

$$p(\xi, \psi) = p(\xi | \psi) p(\psi)$$

- První část

$$p(\xi | \psi) = p(\mathbf{b}_1, \dots, \mathbf{b}_N | \beta, \mu, \Sigma_1, \dots, \Sigma_N, \mathbb{D}) =$$

$$p(\mathbf{b}_1, \dots, \mathbf{b}_N | \mu, \mathbb{D}) = \dots = \prod_{i=1}^N \varphi(\mathbf{b}_i | \mu, \mathbb{D})$$

- Druhá část $p(\psi)$

- “standardní” apriorní rozdělení pro “čisté” parametry
- obvykle se při jeho specifikaci zavádějí na principu obecných hierarchických modelů další náhodné hyperparametry ζ (snaha zabránit nadměrnému vlivu zvoleného apriorního rozdělení na rozdělení aposteriorní)

Normální (zobecněný) lineární smíšený model

Apriorní rozdělení

- **Parametry bayesovského modelu** $\theta = (\xi, \psi^\top, \zeta^\top)^\top$
 - $\xi = (\mathbf{b}_1^\top, \dots, \mathbf{b}_N^\top)^\top$
 - $\psi = (\boldsymbol{\beta}^\top, \boldsymbol{\mu}^\top, \text{par}(\boldsymbol{\Sigma}_1, \dots, \boldsymbol{\Sigma}_N), \text{par}(\mathbb{D}))^\top$
 - ζ : případné další hyperparametry
- **Rozklad apriorního rozdělení:**

$$\begin{aligned} p(\theta) &= p(\xi, \psi, \zeta) = p(\xi | \psi) p(\psi | \zeta) p(\zeta) \\ &= \left\{ \prod_{i=1}^N \varphi(\mathbf{b}_i | \boldsymbol{\mu}, \mathbb{D}) \right\} p(\psi | \zeta) p(\zeta) \end{aligned}$$

Normální (zobecněný) lineární smíšený model

Možné volby pro nestrukturální část apriorního rozdělení

- Potřeba zvolit $p(\psi)$, které často specifikujeme hierarchicky pomocí dalších hyperparametrů jako

$$p(\psi) = \int p(\psi | \zeta) p(\zeta) d\zeta,$$

to jest $p(\psi, \zeta) = p(\psi | \zeta) p(\zeta)$

- $\psi = (\beta^\top, \mu^\top, \text{par}(\Sigma_1, \dots, \Sigma_N), \text{par}(\mathbb{D}))^\top$
- V dalším se budeme zabývat pouze situací, kdy $\Sigma_i = \sigma^2 \mathbf{I}_{n_i}$, tj.
 $\text{par}(\Sigma_1, \dots, \Sigma_N) = \sigma^2$
- Označíme dále

$$\tau = \sigma^{-2}$$

$$\mathbb{Q} = \mathbb{D}^{-1}$$

■■■ $\psi = (\beta^\top, \mu^\top, \tau, \text{par}(\mathbb{Q}))^\top$

Normální (zobecněný) lineární smíšený model

Možné volby pro nestrukturální část apriorního rozdělení

- Obvykle se předpokládá apriorní nezávislost pro jednotlivé sady "příbuzných" parametrů, např.

$$p(\beta, \mu, \tau, \mathbb{Q}) = p(\beta) p(\mu) p(\tau) p(\mathbb{Q}),$$

respektive

$$p(\beta, \mu, \tau, \mathbb{Q} | \zeta) = p(\beta | \zeta^{(1)}) p(\mu | \zeta^{(2)}) p(\tau | \zeta^{(3)}) p(\mathbb{Q} | \zeta^{(4)}),$$

kde $\zeta = (\zeta^{(1)\top}, \zeta^{(2)\top}, \zeta^{(3)\top}, \zeta^{(4)\top})^\top$

Normální (zobecněný) lineární smíšený model

Možné volby pro nestrukturální část apriorního rozdělení

β, μ mají interpretaci středních hodnot

- Smysluplné apriorní rozdělení:

$$p(\beta) \propto 1$$

$$p(\mu) \propto 1$$

- Jiné smysluplné apriorní rozdělení:

$$p(\beta) \sim \mathcal{N}(\beta_0, \Sigma_0^\beta)$$

$$p(\mu) \sim \mathcal{N}(\mu_0, \Sigma_0^\mu),$$

- $\beta_0, \Sigma_0^\beta, \mu_0, \Sigma_0^\mu$: pevné/náhodné hyperparametry
- častá smysluplná volba:
 - $\beta_0 = \mathbf{0}$ (kromě abs. členu modelu)
 - $\mu_0 = \mathbf{0}$ (kromě abs. členu modelu)
 - $\Sigma_0^\beta, \Sigma_0^\mu$: diagonální matice s velkými (co je velké?) čísly na diagonále

Normální (zobecněný) lineární smíšený model

Možné volby pro nestrukturální část apriorního rozdělení

τ je inverzní rozptyl odchylek jednotlivých pozorování i -tého subjektu od střední úrovně (závislé na regresorech) tohoto subjektu

- Smysluplné apriorní rozdělení:

$$p(\tau) \sim \mathcal{G}(c_\tau, d_\tau)$$

- c_τ, d_τ : pevné/náhodné hyperparametry
- mimo jiné zajišťuje, že $P(\tau > 0 | \mathbf{Y}) = 1$
- častá smysluplná volba hyperparametrů:
 - c_τ : apriorní "stupně volnosti", tj. $c_\tau \in (0, 1]$ vede k slabě informativnímu rozdělení
 - pro připomenutí: $E\tau = \frac{c_\tau}{d_\tau}$, $\text{var}\tau = \frac{c_\tau}{d_\tau^2}$
 - ⇒ d_τ : "přesnost" apriorního gama rozdělení
 - d_τ blízké 0 může vést k slabě informativnímu rozdělení
 - volba d_τ však může poměrně značně ovlivnit tvar aposteriorního rozdělení
 - ⇒ d_τ se často volí jako náhodné s dalším (již pevně zvoleným) gama rozdělením jako apriorním

Normální (zobecněný) lineární smíšený model

Možné volby pro nestrukturální část apriorního rozdělení

\mathbb{Q} je inverzní varianční matice "úrovní" jednotlivých subjektů

- Potřeba vícerozměrné apriorní rozdělení, které s pravděpodobností 1 vygeneruje pozitivně definitní matici
- ➡ Wishartovo rozdělení

$\mathbb{Q} \sim \mathcal{W}_p(\nu, \Xi)$, jestliže

$$\mathbb{Q} = \sum_{i=1}^{\nu} \mathbf{Z}_i \mathbf{Z}_i^\top,$$

kde • $\mathbf{Z}_1, \dots, \mathbf{Z}_\nu \stackrel{\text{i.i.d.}}{\sim} \mathcal{N}_p(\mathbf{0}, \Xi)$

• Ξ je pozitivně definitní měřítková matice

• $\nu > p - 1$ jsou stupně volnosti

• Zřejmě platí: $P(\mathbb{Q} > 0) = 1$

• Jedná se o vícerozměrné rozšíření χ^2_ν rozdělení

$\mathbb{Q} \sim \mathcal{W}_p(\nu, \Xi)$ má hustotu

$$p(\mathbb{Q}) = \left\{ 2^{\frac{\nu p}{2}} \pi^{\frac{p(p-1)}{4}} \prod_{i=1}^p \Gamma\left(\frac{\nu+1-i}{2}\right) \right\}^{-1} |\Xi|^{-\frac{\nu}{2}} |Q|^{\frac{\nu-p-1}{2}} \exp\left\{-\frac{1}{2} \text{tr}(\Xi^{-1} Q)\right\}, \quad Q \text{ pozitivně definitní}$$

- $\nu > p - 1$: "stupně volnosti" lze uvažovat i neceločíselné
 ➡ zobecnění klasického Wishartova rozdělení
- $\mathbb{E}Q = \nu \Xi$
- $\mathcal{W}_1(\nu, 1) \equiv \mathcal{G}\left(\frac{\nu}{2}, \frac{1}{2}\right) \equiv \chi_\nu^2$
- $\mathcal{W}_1(\nu, \Xi) \equiv \mathcal{G}\left(\frac{\nu}{2}, \frac{\Xi^{-1}}{2}\right)$

Normální (zobecněný) lineární smíšený model

Možné volby pro nestrukturální část apriorního rozdělení

\mathbb{Q} je inverzní varianční matice "úrovní" jednotlivých subjektů

- Smysluplné apriorní rozdělení:

$$p(\mathbb{Q}) \sim \mathcal{W}(\nu_Q, \Xi_Q)$$

- Ξ_Q, ν_Q : pevné/náhodné hyperparametry
- častá smysluplná volba hyperparametrů:
 - ν_Q : apriorní "stupně volnosti", tj. $\nu_\tau \in (p - 1, p]$ vede k slabě informativnímu rozdělení
 - Ξ_Q se obvykle volí jako **diagonální** matice, např. $\Xi_Q = \text{diag}(\gamma_{Q,1}^{-1}, \dots, \gamma_{Q,p}^{-1})$
 - inverze měřítkové matice (Ξ_Q^{-1}) je "přesností" Wishartova rozdělení
 - diagonální hodnoty Ξ^{-1} (tj. $\gamma_{Q,1}, \dots, \gamma_{Q,p}$) blízké 0 mohou vést k slabě informativnímu apriornímu rozdělení
 - volby $\gamma_{Q,1}, \dots, \gamma_{Q,p}$ však mohou poměrně značně ovlivnit tvar aposteriorního rozdělení
 - $\gamma_{Q,1}, \dots, \gamma_{Q,p}$ se proto často volí jako **náhodné**, apriorně vzájemně nezávislé, s dalšími (již pevně zvolenými) gama rozděleními jako apriorními

Normální (zobecněný) lineární smíšený model

Shrnutí

- “čisté” parametry: $\psi = (\beta^\top, \mu^\top, \tau, \text{par}(\mathbb{Q}))^\top$
- Skrytá data: $\xi = (\mathbf{b}_1^\top, \dots, \mathbf{b}_N^\top)^\top$
- Vérohodnost bayesovského modelu:

$$L(\xi, \psi) = p(\mathbf{y} | \xi, \psi) = \cdots = \prod_{i=1}^N \varphi(\mathbf{y}_i | \mathbb{X}_i \boldsymbol{\beta} + \mathbb{Z}_i \mathbf{b}_i, \tau^{-1} \mathbf{I}_{n_i})$$

-
- Dekompozice apriorního rozdělení:

$$p(\xi, \psi) = p(\xi | \psi) p(\psi) = \prod_{i=1}^N \varphi(\mathbf{b}_i | \mu, \mathbb{Q}^{-1}) p(\beta) p(\mu) p(\tau) p(\mathbb{Q})$$

Oddíl 4.6

Aposteroní rozdělení

Normální (zobecněný) lineární smíšený model

Aposteriorní rozdělení

- Nejsou-li žádné náhodné hyperparametry:

$$p(\xi, \psi | \mathbf{y}) \propto L(\xi, \psi) p(\xi | \psi) p(\psi)$$

- Jsou-li některé hyperparametry (označené jako ζ) náhodné:

$$p(\xi, \psi, \zeta | \mathbf{y}) \propto L(\xi, \psi) p(\xi | \psi) p(\psi | \zeta) p(\zeta)$$

$$p(\xi, \psi | \mathbf{y}) \propto \int L(\xi, \psi) p(\xi | \psi) p(\psi | \zeta) p(\zeta) d\zeta$$

Normální (zobecněný) lineární smíšený model

Aposteriorní rozdělení "čistých" parametrů

- Marginální aposteriorní rozdělení "čistých" parametrů:

$$p(\psi | \mathbf{y}) \propto \int L(\xi, \psi) p(\xi | \psi) p(\psi | \zeta) p(\zeta) d(\xi, \zeta)$$

- Díky hierarchické struktuře též platí

$$p(\psi | \mathbf{y}) \propto L_F(\psi) p(\psi),$$

neboť $p(\psi) = \int p(\psi | \zeta) p(\zeta) d\zeta$

$$L_F(\psi) = \int L(\xi, \psi) p(\xi | \psi) d\xi$$

a platí Fubiniova věta

Oddíl 4.7

Inference založená na aposteriorním rozdělení

Inference založená na aposteriorním rozdělení

- Sdružené aposteriorní rozdělení pro $\theta = (\psi^\top, \xi^\top, \zeta^\top)^\top$ vyjádříme snadno až na multiplikativní konstantu
- Primárně nás však zajímají hlavně **marginální** aposteriorní rozdělení pro sady parametrů nebo dokonce jednotlivé parametry
 - $p(\beta | \mathbf{y}), p(\beta_j | \mathbf{y}), p(\mu | \mathbf{y}), p(\tau | \mathbf{y}), \dots$
 - z nich odvozujeme aposteriorní střední hodnotu, věrohodnostní množiny atp.
- Při výpočtu **marginálních** aposteriorních rozdělení se již nelze vyhnout **integrování**
 - analyticky proveditelné pro jednoduší modely s apriorními rozděleními vykazujícími alespoň nějaký stupeň konjugovanosti
 - analyticky pracné pro složitější modely i s apriorními rozděleními vykazujícími alespoň nějaký stupeň konjugovanosti
 - analyticky často neproveditelné

Inference založená na aposteriorním rozdělení

- Často nás zajímá též aposteriorní rozdělení pro nějakou měřitelnou funkci t
– transformaci původních parametrů
- Příklad:
 - $Y_{i,j} | b_i \sim \mathcal{N}(b_i, \sigma^2)$, $b_i \stackrel{\text{i.i.d.}}{\sim} \mathcal{N}(\mu, d^2)$, $i = 1, \dots, N, j = 1, \dots, n_i$
 - Bylo: $\text{cor}(Y_{i,j}, Y_{i,k}) = d^2 / (\sigma^2 + d^2) =: \varrho$
- \rightarrow Z $p(\mu, \sigma^2, d^2 | \mathbf{y})$ potřeba pomocí věty o transformaci a integrováním odvodit $p(\varrho | \mathbf{y})$
- Vzpomeňte si na svoje úspěchy na tomto poli (obvykle v poměrně jednoduchých situacích) ze 3. ročníku...
- Odvození $p(t(\theta) | \mathbf{y})$ z $p(\theta | \mathbf{y})$ (které již samo o sobě obvykle známe až na multiplikativní konstantu) je často analyticky neproveditelné

- Vše výše řečené je důvodem toho, že bayesovská statistika byla až cca do začátku 90. let 20. století relativně málo prakticky využívána, a pokud ano, tak jenom v souvislosti s poměrně jednoduchými modely
- Řešení problému s nemožností odvozovat potřebné výrazy analyticky:
 - ➡ **aposteriorní inference založená na simulaci**
 - k jejímu efektivnímu použití potřeba přiměřeně **výkonné** počítadlo
 - do cca začátku 90. let 20. století jenom omezeně dostupné/nedostupné (nejenom v ČSSR)

5

MCMC (Markov chain Monte Carlo) metody

Oddíl 5.1

Úvod

- Ne vždy (s reálnými aplikacemi jenom velice zřídka) jsme schopni získat náhodný výběr z požadovaného (aposteriorního) rozdělení.
- Alternativa: Konstrukce **markovského řetězce**, jehož **stacionární** rozdělení = požadované rozdělení.
- Za jistých předpokladů lze vygenerovaný **dostatečně dlouhý** markovský řetězec považovat **přibližně** za **náhodný výběr** z požadovaného rozdělení a s ním dál pracovat při přibližném výpočtu integrálů a jiných charakteristik tohoto rozdělení.

■■■ **Markov chain Monte Carlo (MCMC)**

Markov chain Monte Carlo

Připomenutí, čím se zabýváme

- Potřebujeme generovat v ideálním případě náhodný výběr z rozdělení s hustotou $f(\theta)$ vzhledem k σ -konečné míře λ .
 - V rámci bayesovských metod budeme obvykle používat s $f(\theta) = p(\theta | \mathbf{y})$.
- V dalším se předpokládají znalosti z předmětu Náhodné procesy 1 (NMSA334).
- Zde jste se zabývali zejména markovskými řetězci se spočetnou množinou stavů.

- My potřebujeme uvažovat množinu stavů, která je obecnou podmnožinou \mathbb{R}^k .
 - Mnoho výsledků pro markovské řetězce se spočetnou množinou stavů lze zobecnit na markovské řetězce s obecnou množinou stavů.
 - V rámci této přednášky nebudeme téměř nic dokazovat, neboť potřebujeme MCMC pouze jako nástroj pro aposteriorní inferenci.
 - Důkazy a mnohé další užitečné poznatky a souvislosti lze nalézt v přednášce **Metody Markov Chain Monte Carlo (NMTP539)**.
 - Existuje též nespočet knih věnujících se MCMC.
 - Robert, C. P. and Casella, G. (2004). *Monte Carlo Statistical Methods, Second Edition*. New York: Springer-Verlag.
 - Gamerman, D. and Lopes, H. F. (2006). *Markov Chain Monte Carlo: Stochastic Simulation for Bayesian Inference, Second Edition*. Boca Raton: Chapman & Hall/CRC.

- Budeme předpokládat, že $f(\theta)$ má hustotu vzhledem k σ -konečné míře λ na měřitelném prostoru (Θ, \mathcal{T}) .
- Typicky $\Theta \subset \mathbb{R}^k$.
- Obdobně jako dříve budeme zkráceně psát

$$f(\theta)d\lambda(\theta) = f(d\theta).$$

Oddíl 5.2

Markovské procesy s obecnou množinou stavů

Markovské procesy s obecnou množinou stavů

Markovské jádro

Definice 5.1 Markovské jádro (*Markov kernel*).

Měřitelné zobrazení $P : \Theta \times \mathcal{T} \longrightarrow [0, 1]$ se nazývá **markovské jádro (*Markov kernel*)** na (Θ, \mathcal{T}) , jestliže

1. pro každé $T \in \mathcal{T}$ je $P(\cdot, T)$ nezáporná měřitelná funkce na Θ ,
2. pro každé $\theta \in \Theta$ je $P(\theta, \cdot)$ pravděpodobnostní míra na \mathcal{T} .

- Jedná se o zobecnění pravděpodobností přechodu.
- Markovské jádro určuje pravděpodobnost přechodu ze stavu θ do stavu v množině T .

Markovské procesy s obecnou množinou stavů

Přechodová hustota

- Pro každé $\theta \in \Theta$ existuje **hustota** rozdělení $P(\theta, \cdot)$ (vzhledem k σ -konečné míře λ) \equiv **přechodová hustota**, kterou budeme značit jako $p(\theta, \psi)$ a zkráceně psát

$$p(\theta, \psi) d\lambda(\psi) = p(\theta, d\psi),$$

$$\text{resp. } P(\theta, T) = \int_T p(\theta, \psi) d\lambda(\psi) = \int_T p(\theta, d\psi).$$

-
- Přechodovou hustotu lze chápat též jako podmíněnou hustotu ψ za podmínky θ (vzhledem k σ -konečné míře λ).

Markovské procesy s obecnou množinou stavů

Homogenní markovský řetězec

Definice 5.2 Homogenní markovský řetězec (*Homogeneous Markov chain*).

Řekneme, že náhodný proces $\{\theta^{(m)} : m = 0, \dots\}$ je **homogenní markovský řetězec** (*homogeneous Markov chain*) s přechodovým jádrem (*transition kernel*) P a počátečním rozdělením $f_0(d\theta)$, pokud jeho konečně rozměrná rozdělení splňují pro každé $m \in \mathbb{N}_0$ a pro všechna $T_0, \dots, T_m \in \mathcal{T}$ podmínu

$$P(\theta^{(0)} \in T_0, \dots, \theta^{(m)} \in T_m) =$$

$$\int_{T_0} \cdots \int_{T_{m-1}} P(\theta^{(m-1)}, T_m) p(\theta^{(m-2)}, d\theta^{(m-1)}) \cdots p(\theta^{(0)}, d\theta^{(1)}) f_0(d\theta^{(0)}).$$

- Jak chápout tuto definici?

Markovská vlastnost

Věta 5.1 .

Nechť $\{\theta^{(m)} : m = 0, \dots\}$ je homogenní markovský řetězec generovaný přechodovým jádrem P a h je omezená měřitelná funkce na Θ . Potom pro každé $m \in \mathbb{N}_0$ platí

$$\mathbb{E}[h(\theta^{(m+1)}) \mid \theta^{(m)}, \dots, \theta^{(0)}] = \mathbb{E}[h(\theta^{(m+1)}) \mid \theta^{(m)}].$$

- Pro libovolnou $T \in \mathcal{T}$ tedy volbou $h = \mathbb{I}_T$ platí **markovská vlastnost**:

$$P(\theta^{(m+1)} \in T \mid \theta^{(m)}, \dots, \theta^{(0)}) = P(\theta^{(m+1)} \in T \mid \theta^{(m)}).$$

Markovské procesy s obecnou množinou stavů

Rozdělení markovského řetězce v čase $m + 1$

- Nechť π je hustota vzhledem k σ -konečné míře λ na (Θ, \mathcal{T}) , tj. $\pi(d\theta)$ je pravděpodobnostní rozdělení.
- Pro homogenní markovský řetězec s přechodovým jádrem P zavedeme následující značení:

$$\pi P(T) = \int_{\Theta} P(\theta, T) \pi(d\theta)$$

pro libovolnou $T \in \mathcal{T}$.

- Při použití různého značení máme:

$$\pi P(T) = \int_{\Theta} \int_T p(\theta, d\psi) \pi(d\theta) = \int_{\Theta} \int_T p(\theta, \psi) \pi(\theta) d\lambda(\psi) d\lambda(\theta).$$

Markovské procesy s obecnou množinou stavů

Rozdělení markovského řetězce v čase $m + 1$

- Použitím Fubiniovy věty dostaneme

$$\begin{aligned}\pi P(T) &= \int_{\Theta} \int_T p(\theta, \psi) \pi(\theta) d\lambda(\psi) d\lambda(\theta) \\ &= \int_T \int_{\Theta} p(\theta, \psi) \pi(\theta) d\lambda(\theta) d\lambda(\psi).\end{aligned}$$

■■■ $\pi P(d\psi)$ je opět pravděpodobnostní rozdělení na (Θ, T) a má hustotu

$$\int_{\Theta} p(\theta, \psi) \pi(\theta) d\lambda(\theta) = \int_{\Theta} p(\theta, \psi) \pi(d\theta)$$

vzhledem k míře λ .

- Je-li $\pi(d\theta)$ rozdělením markovského řetězce v čase $m - 1$, potom $\pi P(d\psi)$ je rozdělením markovského řetězce v čase m .

Markovské procesy s obecnou množinou stavů

Stacionární rozdělení

Definice 5.3 Stacionární rozdělení (*Stationary distribution*).

Pravděpodobnostní rozdělení $\pi(d\theta)$ se nazývá **stacionárním rozdělením** (*stationary distribution*) homogenního markovského řetězce s přechodovým jádrem P , jestliže

$$\pi P(d\theta) = \pi(d\theta),$$

to jest, jestliže pro libovolnou $T \in \mathcal{T}$ platí

$$\pi P(T) = \pi(T),$$

$$\int_{\Theta} P(\theta, T) \pi(d\theta) = \int_T \pi(d\theta).$$

Reversibilita

Definice 5.4 Reversibilita (*reversibility*) markovského řetězce.

Homogenní markovský řetězec s přechodovým jádrem P se nazývá **reversibilní** (*reversible*) vzhledem k pravděpodobnostnímu rozdělení π , jestliže pro libovolné $T, S \in \mathcal{T}$ platí

$$\int_T P(\theta, S) \pi(d\theta) = \int_S P(\psi, T) \pi(d\psi).$$

Reversibilita

- Na $\int_T P(\theta, S)\pi(d\theta)$ lze pohlížet jako na sdružené pravděpodobnostní rozdělení na $(\Theta \times \Theta, \mathcal{T} \otimes \mathcal{T})$, které množinám $T, S \in \mathcal{T}$ přiřadí pravděpodobnost

$$Q_1(T, S) = \int_T P(\theta, S)\pi(d\theta) = \int_T \int_S p(\theta, d\psi)\pi(d\theta).$$

- Rozdělení Q_1 má hustotu

$$q_1(\theta, \psi) = p(\theta, \psi)\pi(\theta)$$

vzhledem k součinové mře $\lambda \otimes \lambda$, zkráceně

$$q_1(d\theta, d\psi) = p(\theta, d\psi)\pi(d\theta).$$

Markovské procesy s obecnou množinou stavů

Reversibilita

- Na $\int_S P(\psi, T) \pi(d\psi)$ lze pohlížet jako na sdružené pravděpodobnostní rozdělení na $(\Theta \times \Theta, \mathcal{T} \otimes \mathcal{T})$, které množinám $T, S \in \mathcal{T}$ přiřadí pravděpodobnost

$$Q_2(S, T) = \int_S P(\psi, T) \pi(d\psi) = \int_S \int_T p(\psi, d\theta) \pi(d\psi).$$

- Rozdělení Q_2 má hustotu

$$q_2(\psi, \theta) = p(\psi, \theta) \pi(\psi)$$

vzhledem k součinové míře $\lambda \otimes \lambda$, zkráceně

$$q_2(d\psi, d\theta) = p(\psi, d\theta) \pi(d\psi).$$

Reversibilita

- Reversibilita vzhledem k π tedy znamená, že pro libovolné $T, S \in \mathcal{T}$ platí

$$Q_1(T, S) = Q_2(S, T).$$

- Zkráceně zapsáno

$$p(\theta, d\psi)\pi(d\theta) = p(\psi, d\theta)\pi(d\psi).$$

- Nutno chápout jako rovnost rozdělení (pravděpodobnostních měr)!
- Sdružené rozdělení stavů v časech m a $m+1$ je stejné jako sdružené rozdělení stavů v časech $m+1$ a m pro libovolné $m = 0, 1, \dots$.

Markovské procesy s obecnou množinou stavů

Reversibilita a detailní podmínka rovnováhy

- $p(\theta, d\psi)$ lze chápat též jako **podmíněné** rozdělení ψ za podmínky θ mající hustotu $p(\theta, \psi)$ (přechodová hustota) vzhledem k σ -konečné mře λ (v argumentu ψ).
- Podmínu reversibility lze potom pomocí hustot přepsat jako

$$p(\theta, \psi) \pi(\theta) = p(\psi, \theta) \pi(\psi) \quad \text{pro } \lambda\text{-s.v. } \theta, \psi \in \Theta.$$

→ Detailní podmínka rovnováhy (*detailed balance condition*).

Věta 5.2 .

Je-li homogenní markovský řetězec reversibilní vzhledem k π , potom π je jeho stacionární rozdělení.

Důkaz. Stačí v definici reversibility položit $S = \Theta$.



- To jest, reversibilita (splnění detailní podmínky rovnováhy) je postačující podmínkou pro stacionaritu.

Přechodové jádro m -tého řádu

Definice 5.5 Přechodové jádro m -tého řádu (*m -step transition probability kernel*).

Uvažujme homogenní markovský řetězec s přechodovým jádrem P a položme $P^0(\theta, T) = \delta_\theta(T)$. Přechodové jádro m -tého řádu (*m -step transition probability kernel*) je dáno induktivně vztahem

$$P^m(\theta, T) = \int_{\Theta} P(\psi, T) P^{m-1}(\theta, d\psi), \quad m \in \mathbb{N}.$$

Věta 5.3 Chapmanova-Kolmogorovova rovnost.

V homogenním markovském řetězci s přechodovým jádrem P platí pro $n, m \in \mathbb{N}_0$ a $n \leq m$, $\theta \in \Theta$, $T \in \mathcal{T}$ vztah

$$P^m(\theta, T) = \int_{\Theta} P^{m-n}(\psi, T) P^n(\theta, d\psi).$$

Důkaz. V definici homogenního markovského řetězce stačí položit $f_0 = \delta_\theta$, $T_i = \Theta$ pro $i = 0, \dots, m-1$, $T_m = T$. Definice P^n a P^{m-n} se použije pro prvních n a posledních $m-n$ integrandů.



-
- Jak chápat Chapmanovu-Kolmogorovovu rovnost?

Limitní rozdělení

Definice 5.6 Limitní rozdělení (*limitting distribution*).

Pravděpodobnostní rozdělení π na (Θ, \mathcal{T}) nazveme **limitní rozdělení** (*limitting distribution*) markovského řetězce $\{\theta^{(m)} : m = 0, 1, \dots\}$ generovaného přechodovým jádrem P , jestliže

$$\lim_{m \rightarrow \infty} P^m(\theta, T) = \pi(T) \quad \text{pro } \pi\text{-s.v. } \theta \in \Theta \text{ a pro všechna } T \in \mathcal{T}.$$

- Poznámka. Je-li π limitním rozdělením, potom pro libovolné počáteční rozdělení f_0 a pro každou $T \in \mathcal{T}$ platí

$$P(\theta^{(m)} \in T) = \int_{\Theta} P^m(\theta, T) f_0(d\theta) \xrightarrow{m \rightarrow \infty} \int_{\Theta} \pi(T) f_0(d\theta) = \pi(T).$$

Limitní a stacionární rozdělení

Věta 5.4 Limitní a stacionární rozdělení.

Je-li π limitním rozdělením homogenního markovského řetězce, potom je π též stacionárním rozdělením tohoto řetězce.

Důkaz. Pro $T \in \mathcal{T}$ a π -s.v. $\theta \in \Theta$ je

$$\begin{aligned}\pi(T) &= \lim_{m \rightarrow \infty} P^m(\theta, T) = \lim_{m \rightarrow \infty} \int_{\Theta} P(\psi, T) P^{m-1}(\theta, d\psi) \\ &= \int_{\Theta} P(\psi, T) \pi(d\psi) = \pi P(T).\end{aligned}$$



Oddíl 5.3

Principy MCMC

Připomenutí, čím se zabýváme

- $f(d\theta)$ je nějaké pravděpodobnostní rozdělení.
- Pro měřitelné funkce $t(\theta)$ potřebujeme approximovat integrály typu

$$\int_{\Theta} t(\theta) f(d\theta) = \mathbb{E}_{f(d\theta)} t(\theta).$$

-
- Je-li $\mathcal{S}_M = \{\theta^{(1)}, \dots, \theta^{(M)}\}$ náhodný výběr z rozdělení $f(d\theta)$, potom (za jistých předpokladů)

$$\int_{\Theta} t(\theta) f(d\theta) \approx \frac{1}{M} \sum_{m=1}^M t(\theta^{(m)}) = \widehat{\mathbb{E}}_{f(d\theta)} t(\theta) := \widehat{t}_M.$$

➡ Monte Carlo integrace

- Nechť $\{\theta^{(m)} : m = 0, \dots\}$ je homogenní markovský řetězec se **stacionárním** rozdělením $f(d\theta)$.
 - Víme: reversibilita vzhledem k $f(d\theta)$ implikuje stacionaritu vzhledem k $f(d\theta)$.
- Stačí tedy zvolit přechodové jádro markovského řetězce tak, aby přechodová hustota $p(\theta, \psi)$ splňovala **detailní podmínu rovnováhy** vzhledem k $f(d\theta)$.
- Stačí tedy volit přechodovou hustotu tak, aby splňovala

$$p(\theta, \psi) f(\theta) = p(\psi, \theta) f(\psi) \quad \forall \theta, \psi \in \Theta$$

a máme potřebný markovský řetězec.

→ Toto není nikterak obtížné, jak bude záhy ukázáno.

- Předpokládejme, že se nám navíc podaří zajistit, že **existuje** limitní rozdělení uvažovaného markovského řetězce.
 - Víme: limitní rozdělení (existuje-li) = stacionární rozdělení $f(d\theta)$.
- Od jistého okamžiku (řekněme $B + 1$) lze tedy
$$\mathcal{S}_M = \{\theta^{(B+1)}, \dots, \theta^{(B+M)}\}$$
považovat za náhodné veličiny s rozdělením $f(d\theta)$.
- Začátku řetězce $\{\theta^{(0)}, \dots, \theta^{(B)}\}$ se říká ***burn-in period***.
- Nejde o náhodný výběr, neboť $\theta^{(B+1)}, \dots, \theta^{(B+M)}$ nejsou nezávislé!

- Nicméně, jestliže $\int_{\Theta} |t(\theta)| f(d\theta) < \infty$ a jestliže dále platí jisté předpoklady, potom (**ergodická věta**):

$$\hat{t}_M = \frac{1}{M} \sum_{m=1}^M t(\theta^{(B+m)}) \xrightarrow{\text{a.s.}} \int_{\Theta} t(\theta) f(d\theta) \quad \text{pro } M \rightarrow \infty.$$

- \hat{t}_M je tedy konzistentním odhadem pro $\int_{\Theta} t(\theta) f(d\theta) = \mathbb{E}_{f(d\theta)} t(\theta)$.
- Při splnění oněch **jistých předpokladů** lze též odhadnout

$$v_M = \text{var}_{f(d\theta)}(\hat{t}_M)$$

a ohodnotit tak přesnost odhadu $\mathbb{E}_{f(d\theta)} t(\theta)$
(presnost aproximace integrálu $\int_{\Theta} t(\theta) f(d\theta)$).

Ergodická věta

- Předpoklady pro platnost ergodické věty pro markovské řetězce s obecnou množinou stavů jsou zobecněními předpokladů ergodické věty pro markovské řetězce s diskrétní množinou stavů.
- Potřeba zobecnit (a rozšířit) následující pojmy:
 - nerozložitelnost (*irreducibility*),
 - neperiodicita (*aperiodicity*),
 - trvalý (*recurrent*) a pozitivně trvalý (*positive recurrent*) markovský řetězec.
- NMTP539: Metody Markov Chain Monte Carlo.
- Zajistit splnění těchto předpokladů v praktických aplikacích též není těžké.
- Co je tedy obtížné?

Největší obtíže

Největší obtíž při praktické aplikaci MCMC

- Zjistit, od kterého okamžiku již lze (s přiměřeně malou chybou) považovat rozdělení stavů vygenerovaného markovského řetězce za limitní = stationární $f(d\theta)$.
 - Jak velké má být B (délka *burn-in period*)?
 - Jedná se o konvergenci pravděpodobnostních měr a nelze ji tedy posoudit jednoduchým číslem jako třeba v případě numerického optimalizačního algoritmu!

Největší obtíže

Druhá největší obtíž při praktické aplikaci MCMC

- Připomeňme, že $\theta^{(B+1)}, \dots, \theta^{(B+M)}$ nejsou obecně nezávislé a tudíž (i při předpokladu konvergence k limitnímu rozdělení) není nutně pravda

$$v_M = \text{var}_{f(d\theta)}(\hat{t}_M) = \frac{\text{var}_{f(d\theta)}(t(\theta))}{M}.$$

- Stavy markovského řetězce jsou typicky **kladně** (auto)korelovány a tudíž

$$v_M = \text{var}_{f(d\theta)}(\hat{t}_M) \geq \frac{\text{var}_{f(d\theta)}(t(\theta))}{M}.$$

- Je-li markovský řetězec zkonstruován tak, že vykazuje vysokou autokorelaci mezi jednotlivými stavy, může být v_M nepoužitelně vysoké i při poměrně vysoké hodnotě M .

Největší obtíže

- Snaha konstruovat markovský řetězec tak, aby autokorelace byla co nejnižší.
 - Nulová autokorelace \equiv co do přesnosti se markovský řetězec chová stejně jako náhodný výběr, kde $v_M = \frac{1}{M} \text{var}_{f(d\theta)}(t(\theta))$.
- Konstrukce markovského řetězce s nízkou autokorelovaností snadná není a obtížnost této snahy závisí na konkrétní aplikaci.

Oddíl 5.4

Gibbsův algoritmus

- Geman, S. and Geman, D. (1984). Stochastic relaxation, Gibbs distributions and the Bayes restoration of image. *IEEE Transactions on Pattern Analysis and Machine Intelligence*, **6**, 721–741.
 - Aplikace v oblasti restaurování digitálních obrázků.
- Gelfand, A. E. and Smith, A. F. M. (1990). Sampling-based approaches to calculating marginal densities. *Journal of the American Statistical Association*, **85**(410), 398–409.
 - Aplikace v bayesovské statistice.

Předpoklady

Předpoklady:

- $\Theta = \prod_{i=1}^k \Theta_i$, $\theta = (\theta_1^\top, \dots, \theta_k^\top)^\top$
- Cílové (stacionární) rozdělení je $f(d\theta)$ a má hustotu $f(\theta)$ vzhledem k součinové míře $\lambda_1 \otimes \dots \otimes \lambda_k$, přičemž λ_i je σ -konečná míra s $\lambda_i(\Theta_i) > 0$ ($i = 1, \dots, k$).
- $\Theta = \{\theta : f(\theta) > 0\}$.
- Jsme schopni (snadno) generovat z plně podmíněných (*full conditional*) rozdělení

$$f(d\theta_i | \theta_{-i}) = f(d\theta_i | \theta_1, \dots, \theta_{i-1}, \theta_{i+1}, \dots, \theta_k).$$

Algoritmus

Algoritmus:

1. Zvol počáteční stav $\theta^{(0)} = (\theta_1^{(0)\top}, \dots, \theta_k^{(0)\top})^\top$, polož $m = 0$.
2.
 - (i) generuj $\theta_1^{(m+1)}$ z podmíněného rozdělení $f(d\theta_1 | \theta_2^{(m)}, \dots, \theta_k^{(m)})$.
 - (ii) generuj $\theta_2^{(m+1)}$ z podmíněného rozdělení $f(d\theta_2 | \theta_1^{(m+1)}, \theta_3^{(m)}, \dots, \theta_k^{(m)})$.
 - (iii) generuj $\theta_3^{(m+1)}$ z podmíněného rozdělení $f(d\theta_3 | \theta_1^{(m+1)}, \theta_2^{(m+1)}, \theta_4^{(m)}, \dots, \theta_k^{(m)})$.
 - ⋮
 - (k) generuj $\theta_k^{(m+1)}$ z podmíněného rozdělení $f(d\theta_k | \theta_1^{(m+1)}, \dots, \theta_{k-1}^{(m+1)})$.
3. Zvětši m o jedničku a jdi na 2. krok algoritmu.

Přechodová hustota

Přechodová hustota

$$p(\theta, \psi) = \prod_{i=1}^k f(\psi_i | \psi_1, \dots, \psi_{i-1}, \theta_{i+1}, \dots, \theta_k).$$

- Odpovídá přechodovému jádru

$$P(\theta, T) = \int_T p(\theta, d\psi) = \int_T p(\theta, \psi) d\lambda(\psi).$$

Věta 5.5

Rozdělení $f(d\theta)$ je stacionárním rozdělením markovského řetězce generovaného Gibbsovým algoritmem.

Důkaz. Viz tabule.



- Pokud bude existovat limitní rozdělení, musí se jednat o rozdělení stacionární a tedy cílové $f(d\theta)$.

Gibbsův algoritmus

Existence limitního rozdělení, ergodicita

- **Ergodicitu** (existenci limitního rozdělení) lze dokázat například při splnění předpokladů, které byly uvedeny na začátku povídání o Gibbsově algoritmu, to jest
 - $\Theta = \prod_{i=1}^k \Theta_i$, $\theta = (\theta_1^\top, \dots, \theta_k^\top)^\top$.
 - Cílové (stacionární) rozdělení je $f(d\theta)$ a má hustotu $f(\theta)$ vzhledem k součinové míře $\lambda_1 \otimes \dots \otimes \lambda_k$, přičemž λ_i je σ -konečná míra s $\lambda_i(\Theta_i) > 0$ ($i = 1, \dots, k$).
 - $\Theta = \{\theta : f(\theta) > 0\}$.
- Pro standardní statistické aplikace je toto obvykle splněno.
- Při rutinném použití Gibbsova algoritmu nicméně zůstává nemalým problémem zjistit, zda použitá **konečná** realizace markovského řetězce již dostatečně dobře odpovídá limitnímu = stacionárnímu = cílovému rozdělení.
- Při nevhodném použití Gibbsova algoritmu (viz dále) nemusí ani velmi dlouhá realizace markovského řetězce dostatečně dobře approximovat limitní rozdělení!

Reversibilita

- Lze ukázat, že markovský řetězec generovaný Gibbsovým algoritmem **nesplňuje** detailní podmínu rovnováhy, tj. řetězec **není** reversibilní vzhledem k rozdělení f .
- Reversibility lze dosáhnout několika způsoby:
 - Generujeme střídavě **odpředu a odzadu**.
 - Pořadí vybíráme náhodně.
 - V každém podkroku Gibbsova algoritmu generujeme i -tý podvektor s pravděpodobností p_i ($0 < p_i < 1$, $\sum_{i=1}^k p_i = 1$).
 - Častá volba je $p_i = 1/k$ (rovnoměrné rozdělení).
 - **Random scan** Gibbsův algoritmus.

Autokorelace

- V principu lze generovat ze všech jednorozměrných podmíněných rozdělení.
 - V případě, že složky θ jsou v cílovém rozdělení $f(d\theta)$ významně korelovány, vede generování z jednorozměrných podmíněných rozdělení k markovskému řetězci s velkou autokorelací.
 - Ideální situace je stav, kdy podvektory $\theta_1, \dots, \theta_k$ jsou v cílovém rozdělení $f(d\theta)$ co možná nejméně korelovány.

Gibbsův algoritmus

Plně podmíněná rozdělení

- Při odvozování plně podmíněných rozdělení je vhodné si uvědomit a využívat základní fakt a to

$$f(\theta_i | \theta_{-i}) \propto f(\theta),$$

přičemž \propto nyní znamená, že vše, co neobsahuje θ_i je konstantou.

- V případě **hierarchického** modelu, kde je $f(\theta)$ zadáno jako součin postupně podmíněných rozdělení, pak $f(\theta_i | \theta_{-i})$ závisí pouze na těch podmíněných rozděleních ze specifikace $f(\theta)$, kde jde v uvažované hierarchické struktuře:
 - o “potomky” θ_i ,
 - o sourozence θ_i (nejsou-li v $f(d\theta)$ nezávislí),
 - o “rodiče” θ_i .

Lineární model

$$\mathbf{Y} = \mathbb{X}\boldsymbol{\beta} + \boldsymbol{\varepsilon}, \quad \mathbb{X} : \text{pevná matice } n \times k,$$
$$\boldsymbol{\varepsilon} \sim \mathcal{N}_n(\mathbf{0}, \sigma^2 \mathbf{I}_n).$$

- Parametry: $\theta = (\boldsymbol{\beta}^\top, \tau)^\top$, kde $\tau = \sigma^{-2} > 0$.
- Věrohodnost: $\mathbf{Y} \sim \mathcal{N}_n(\mathbb{X}\boldsymbol{\beta}, \tau^{-1} \mathbf{I}_n)$.
- Neinformativní apriorní rozdělení:

$$p(\boldsymbol{\beta}) \propto 1, \quad \boldsymbol{\beta} \in \mathbb{R}^k,$$

$$p(\tau) \propto \frac{1}{\tau}, \quad \tau > 0.$$

Příklad: Lineární model s neinformativním apriorním rozdělením

Věrohodnost

- Označme: $\mathbf{b} = (\mathbb{X}^\top \mathbb{X})^{-1} \mathbb{X}^\top \mathbf{y}$,

$$\text{SS}_e = \|\mathbf{y} - \mathbb{X}\mathbf{b}\|^2.$$

- Věrohodnost:

$$L(\theta) = p(\mathbf{y} | \boldsymbol{\beta}, \tau)$$

$$= (2\pi)^{-\frac{n}{2}} \tau^{\frac{n}{2}} \exp\left[-\frac{\tau}{2} \left\{ \text{SS}_e + (\boldsymbol{\beta} - \mathbf{b})^\top \mathbb{X}^\top \mathbb{X} (\boldsymbol{\beta} - \mathbf{b}) \right\}\right]$$

$$= (2\pi)^{-\frac{n}{2}} \tau^{\frac{n}{2}} \exp\left\{-\frac{\tau}{2} (\mathbf{y} - \mathbb{X}\boldsymbol{\beta})^\top (\mathbf{y} - \mathbb{X}\boldsymbol{\beta})\right\}.$$

Příklad: Lineární model s neinformativním apriorním rozdělením

Aposteriorní rozdělení

- Bylo odvozeno:

$$p(\beta, \tau | \mathbf{y}) = p(\beta | \tau, \mathbf{y}) \times p(\tau | \mathbf{y}),$$

kde $p(\tau | \mathbf{y}) \sim \mathcal{G}\left(\frac{n-k}{2}, \frac{\text{SS}_e}{2}\right)$,

$$p(\beta | \tau, \mathbf{y}) \sim \mathcal{N}_k\left(\mathbf{b}, \tau^{-1}(\mathbb{X}^\top \mathbb{X})^{-1}\right).$$

- Dále bylo odvozeno: $p(\beta | \mathbf{y}) \sim \text{MVT}_{k, n-k}\left(\mathbf{b}, \frac{\text{SS}_e}{n-k}(\mathbb{X}^\top \mathbb{X})^{-1}\right)$.
- Pomocí Gibbsova algoritmu sestrojíme markovský řetězec, který bude mít rozdělení $p(\beta, \tau | \mathbf{y})$ jako stacionární i limitní.

Příklad: Lineární model s neinformativním apriorním rozdělením

Plně podmíněná rozdělení

- Označme $\mathbb{W} = \mathbb{X}^\top \mathbb{X}$ s prvky $w_{i,j}$ ($i, j = 1, \dots, k$).

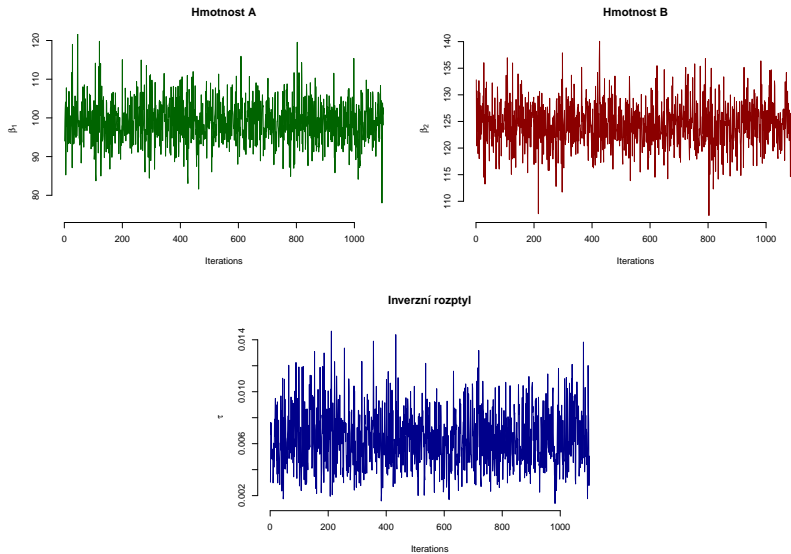
$$p(\beta | \dots) = p(\beta | \tau, \mathbf{y}) \sim \mathcal{N}_k \left(\mathbf{b}, \tau^{-1} (\mathbb{X}^\top \mathbb{X})^{-1} \right),$$

$$p(\beta_i | \dots) = p(\beta_i | \beta_{-i}, \tau, \mathbf{y}) \sim \mathcal{N} \left(b_i - \sum_{j \neq i} \frac{w_{i,j}}{w_{i,i}} (\beta_j - b_j), (\tau w_{i,i})^{-1} \right),$$

$$p(\tau | \dots) = p(\tau | \beta, \mathbf{y}) \sim \mathcal{G} \left(\frac{n}{2}, \frac{(\mathbf{y} - \mathbb{X}\beta)^\top (\mathbf{y} - \mathbb{X}\beta)}{2} \right).$$

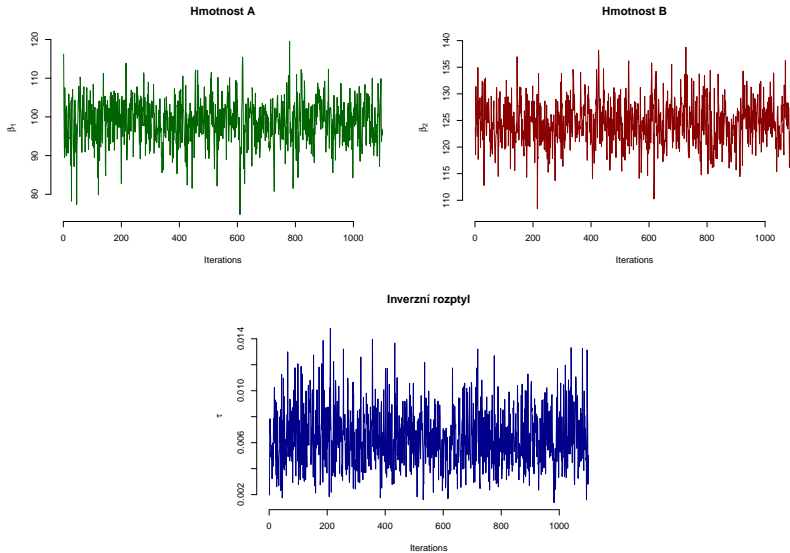
Příklad: Vážení lehkých objektů

Blokový Gibbsův algoritmus: Generované hodnoty ($B=100$, $M=1\,000$)



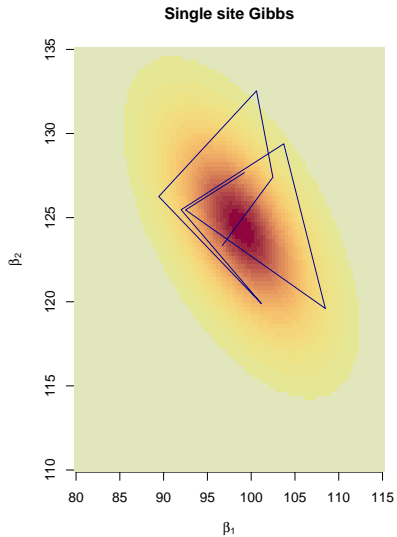
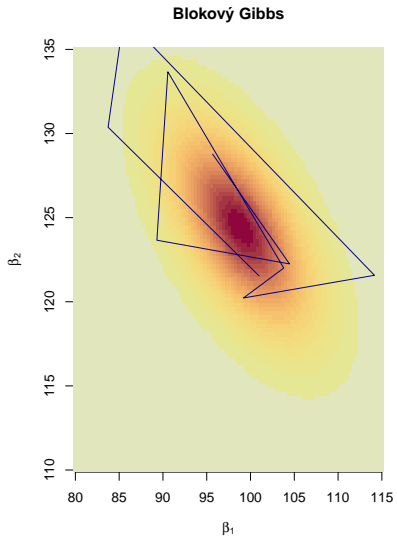
Příklad: Vážení lehkých objektů

Single site Gibbsův algoritmus: Generované hodnoty ($B=100$, $M=1\,000$)



Příklad: Vážení lehkých objektů

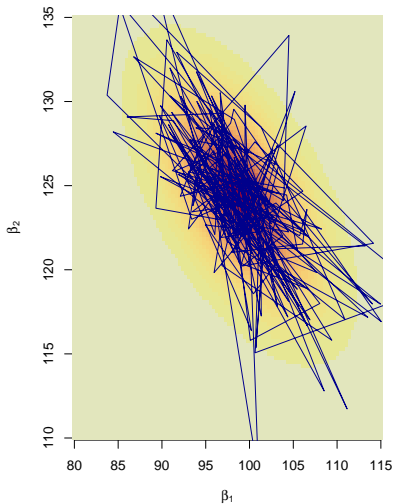
Gibbsův algoritmus: Generované hodnoty β (iterace 101 – 110)



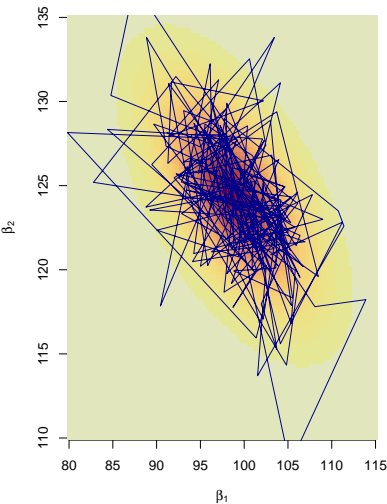
Příklad: Vážení lehkých objektů

Gibbsův algoritmus: Generované hodnoty β (iterace 101 – 300)

Blokový Gibbs

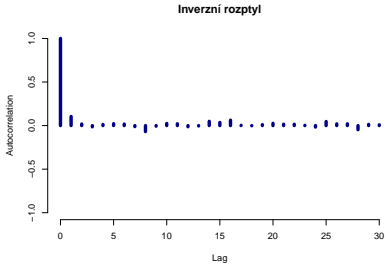
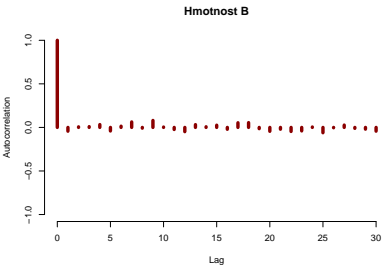
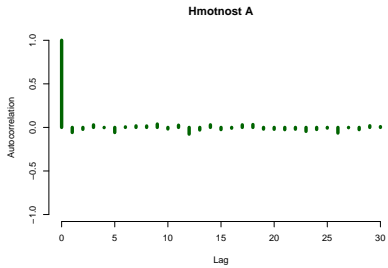


Single site Gibbs



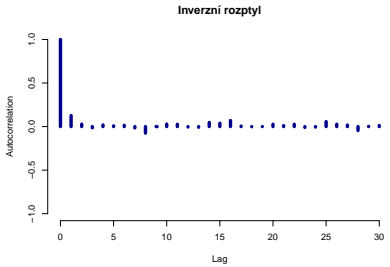
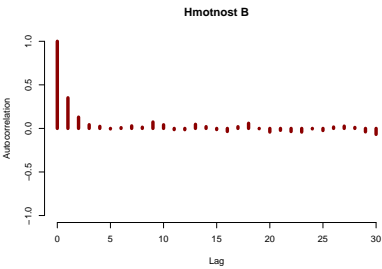
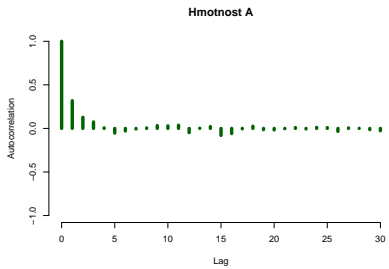
Příklad: Vážení lehkých objektů

Blokový Gibbsův algoritmus: Odhad autokorelačních funkcí ($B=100$, $M=1\,000$)



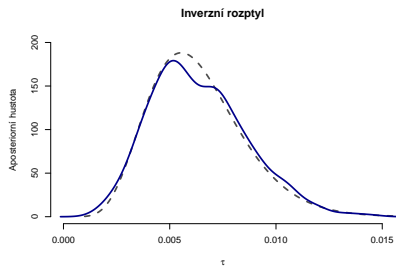
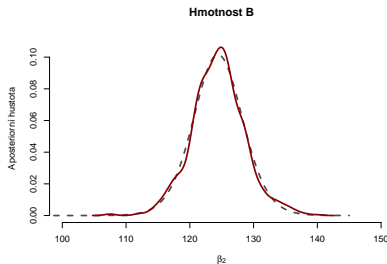
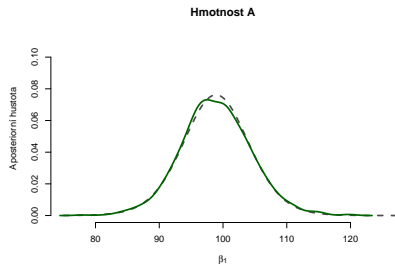
Příklad: Vážení lehkých objektů

Single site Gibbsův algoritmus: Odhad autokorelačních funkcí ($B=100$, $M=1\,000$)



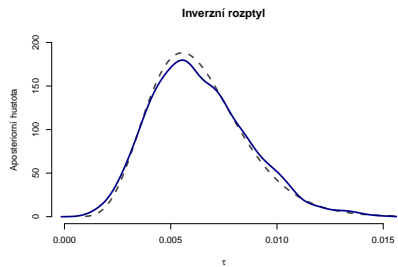
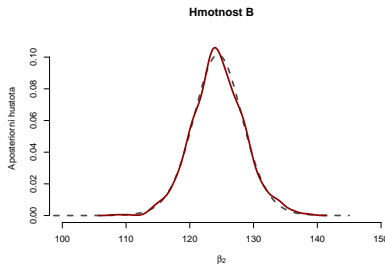
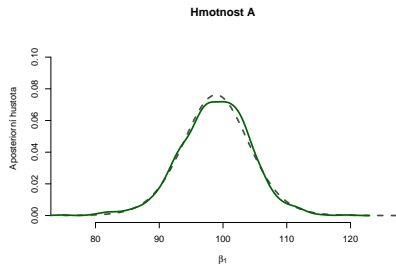
Příklad: Vážení lehkých objektů

Blokový Gibbsův algoritmus: Odhadý aposteriorních hustot ($B=100$, $M=1\,000$)



Příklad: Vážení lehkých objektů

Single site Gibbsův algoritmus: Odhadы апостериорных плотностей ($B=100$, $M=1\,000$)



Příklad: Vážení lehkých objektů

Aposteriorní inference pro β ($B=100$, $M=1\,000$)

Blokový Gibbsův algoritmus

	β_1	β_2
Aposter. střední hodnota	98,8947	124,4211
MCMC odhad	98,9084	124,4561
MC chyba (naivní)	0,1744	0,1323
MC chyba	0,1662	0,1398
Aposter. medián	98,8947	124,4211
MCMC odhad	98,7209	124,4226
95% ET věr. interval	(87,9641; 109,8253)	(116,2231; 132,6190)
MCMC odhad	(86,9793; 110,2375)	(116,2702; 133,5293)
95% HPD věr. interval	(87,9641; 109,8253)	(116,2231; 132,6190)
MCMC odhad	(88,8421; 110,7950)	(114,8493; 132,0199)

Příklad: Vážení lehkých objektů

Aposteriorní inference pro β ($B=100$, $M=1\,000$)

Single site Gibbsův algoritmus

	β_1	β_2
Aposter. střední hodnota	98,8947	124,4211
MCMC odhad	98,8051	124,4914
MC chyba (naivní)	0,1729	0,1302
MC chyba	0,2535	0,2015
Aposter. medián	98,8947	124,4211
MCMC odhad	98,9217	124,3193
95% ET věr. interval	(87,9641; 109,8253)	(116,2231; 132,6190)
MCMC odhad	(87,4650; 109,2495)	(116,3649; 133,4410)
95% HPD věr. interval	(87,9641; 109,8253)	(116,2231; 132,6190)
MCMC odhad	(87,8757; 109,4290)	(117,1579; 133,9186)

Oddíl 5.5

Metropolisův-Hastingsův algoritmus

- Metropolis, N., Rosenbluth, A. W., Rosenbluth, M. N., and Teller, A. H. (1953). Equations of state calculations by fast computing machines. *Journal of Chemical Physics*, **21**, 1087–1091.
 - Aplikace ve statistické fyzice.
- Hastings, W. K. (1970). Monte Carlo sampling methods using Markov chains and their applications. *Biometrika*, **57**(1), 97–109.
 - Zobecnění algoritmu.
 - Uvážení též čistě statistických problémů.

Předpoklady

Předpoklady:

- Parametrický prostor Θ
- Cílové (stacionární) rozdělení je $f(d\theta)$ a má hustotu $f(\theta)$ vzhledem k σ -konečné míře λ s $\lambda(\Theta) > 0$.
- $\Theta = \{\theta : f(\theta) > 0\}$

Metropolisův-Hastingsův algoritmus

Algoritmus

Algoritmus:

1. Zvol počáteční stav $\theta^{(0)}$, polož $m = 0$.
2. Generuj návrh ψ z rozdělení $q(\theta^{(m)}, d\psi)$ s hustotou $q(\theta^{(m)}, \psi)$ (vzhledem k σ -konečné míře λ).
3. Spočti pravděpodobnost přijetí návrhu (*proposal acceptance probability*)

$$\alpha(\theta^{(m)}, \psi) = \begin{cases} \min\left\{\frac{f(\psi) q(\psi, \theta^{(m)})}{f(\theta^{(m)}) q(\theta^{(m)}, \psi)}, 1\right\} & \text{pro } f(\theta^{(m)}) q(\theta^{(m)}, \psi) > 0, \\ 1 & \text{jinak.} \end{cases}$$

4. Generuj $U \sim \mathcal{U}(0, 1)$

$$\theta^{(m+1)} = \begin{cases} \psi, & \text{jestliže } U < \alpha(\theta^{(m)}, \psi), \\ \theta^{(m)}, & \text{jestliže } U \geq \alpha(\theta^{(m)}, \psi). \end{cases}$$

5. Zvětši m o jedničku a jdi na 2. krok algoritmu.

Poznámky

Poznámky:

- Pro aplikaci MH algoritmu není potřeba znát normující konstantu cílové hustoty $f(\theta)$.
 - Ideální pro použití v bayesovské statistice.
- Návrhová hustota $q(\theta, \psi)$ může být libovolná.
 - Nevhodná volba $q(\theta, \psi)$ však vede k vysoké autokorelaci a s tím spojené neefektivitě.
 - Příliš "ambiciozní" $q(\theta, \psi)$ vede k malým pravděpodobnostem přijetí návrhu a řetězec pak dlouho setrvává v jednom stavu
 - vysoká autokorelace.
 - Příliš "opatrné" $q(\theta, \psi)$ vede sice k vysokým pravděpodobnostem přijetí návrhu, ale řetězec se přesouvá jenom velice pomalu
 - vysoká autokorelace.
- Optimální proporce přijatých návrhů (*acceptance rate*) závisí na konkrétní situaci.

Metropolisův-Hastingsův algoritmus

Poznámky

- Symetrická návrhová hustota, tj. $q(\theta, \psi) = q(\psi, \theta) \quad \forall \theta, \psi \in \Theta$
■■■ Metropolisův algoritmus.
- Hlavní část pravděpodobnosti přijetí

$$\alpha^*(\theta^{(m)}, \psi) = \frac{f(\psi) q(\psi, \theta^{(m)})}{f(\theta^{(m)}) q(\theta^{(m)}, \psi)}$$

obvykle počítáme v logaritmickém měřítku, tj.

$$\begin{aligned} \log\{\alpha^*(\theta^{(m)}, \psi)\} &= \log\{f(\psi)\} + \log\{q(\psi, \theta^{(m)})\} \\ &\quad - \log\{f(\theta^{(m)})\} - \log\{q(\theta^{(m)}, \psi)\} \end{aligned}$$

■■■ vyhneme se mnoha numerickým obtížím při počítání s čísly, jež mohou být blízká nule.

Návrhové rozdělení

Možné volby **návrhových rozdělení** (*proposal distribution*)

- **Nezávislý výběr (independent sampler)**

$$q(\theta, \psi) = q_0(\psi) \quad \forall \theta \in \Theta.$$

- q_0 : nějaká hustota vzhledem k σ -konečné míře λ s nosičem na Θ .
- Návrhová hustota nezávisí na současném stavu.
- Za q_0 je vhodné volit rozdělení s těžšími chvosty (vícerozměrné t-rozdělení, ...).
- Ideální stav: $q_0(\psi) = f(\psi)$
■■■→ generujeme přímo náhodný výběr z cílového rozdělení $f(d\theta)$.

Metropolisův-Hastingsův algoritmus

Návrhové rozdělení

Možné volby **návrhových rozdělení** (*proposal distribution*)

- **Náhodná procházka (random walk)**

$$q(\theta, \psi) = q_0(\psi - \theta) \quad \forall \theta \in \Theta.$$

- q_0 : nějaká hustota vzhledem k σ -konečné míře λ s nosičem na Θ .
 - Návrh: $\psi = \theta + \mathbf{Z}$, kde \mathbf{Z} má hustotu q_0 .
 - Častá volba: $q_0 \equiv$ (vícerozměrné) normální, respektive t-rozdělení s nulovou střední hodnotou a obvykle diagonální varianční/měřítkovou maticí.
- Potřeba vhodně zvolit rozptyly.
- Je-li q_0 symetrická (tj. $q_0(\mathbf{z}) = q_0(-\mathbf{z})$), potom $q(\theta, \psi) = q(\psi, \theta)$ a při počítání pravděpodobnosti přijetí nemusíme vůbec počítat hodnoty hustoty q_0 (resp. návrhové hustoty q).

Metropolisův-Hastingsův algoritmus

Stacionární rozdělení

Věta 5.6

Rozdělení $f(d\theta)$ je stacionárním rozdělením markovského řetězce generovaného Metropolisovým-Hastingsovým algoritmem.

Důkaz. Viz přednáška NMTP539 Metody Markov Chain Monte Carlo.



- Pokud bude existovat limitní rozdělení, musí se jednat o rozdělení stacionární a tedy cílové $f(d\theta)$.

Metropolisův-Hastingsův algoritmus

Existence limitního rozdělení, ergodicita

- Pro důkaz **ergodicity** (existence limitního rozdělení) je potřeba učinit několik předpokladů o návrhové hustotě q .
- Ergodicita je např, zajištěna v případě, kdy

$$q(\theta, \psi) = q_0(\psi - \theta), \quad q_0(\mathbf{z}) = q_0(-\mathbf{z})$$

(symetrická náhodná procházka)

a $q_0(\mathbf{z}) > 0$ pro všechna \mathbb{R}^d (např. vícerozměrné normální nebo t-rozdělení).

- Podrobnosti viz přednáška NMTP539.

Oddíl 5.6

Hybridní algoritmy

V Bayesovských aplikacích jsme obvykle v následující situaci.

- $\Theta = \prod_{i=1}^k \Theta_i$, $\theta = (\theta_1^\top, \dots, \theta_k^\top)^\top$.
- Cílové (stacionární) rozdělení je $f(d\theta)$ a má hustotu $f(\theta)$ vzhledem k součinové míře $\lambda_1 \otimes \dots \otimes \lambda_k$, přičemž λ_i je σ -konečná míra s $\lambda_i(\Theta_i) > 0$ ($i = 1, \dots, k$).
- $\Theta = \{\theta : f(\theta) > 0\}$.
- Jsme schopni snadno vyjádřit všechna plně podmíněná rozdělení $f(d\theta_i | \theta_{-i})$ až na multiplikativní konstantu, tj. víme, že pro hustoty platí

$$f(\theta_i | \theta_{-i}) \propto f^*(\theta_i | \theta_{-i}),$$

přičemž funkci $f^*(\cdot | \theta_{-i})$ jsme schopni vyjádřit analyticky.

- Markovský řetězec se stacionárním rozdělením $f(d\theta)$ lze sestavit tak, že jako základ vezmeme Gibbsův algoritmus a v případě, že pro nějaké i nejsme schopni (snadno) generovat z plně podmíněného rozdělení $f(d\theta_i | \theta_{-i})$, generujeme θ_i pomocí Metropolisova-Hastingsova algoritmu
■■■ \Rightarrow *Metropolis within Gibbs algorithm.*
- Celková přechodová hustota je **součinem** přechodových hustot pro Gibbsův, resp. Metropolisův-Hastingsův algoritmus.
- K tomu, aby celková procedura vedla k ergodickému řetězci s požadovaným limitním rozdělením $f(d\theta)$ stačí, aby přechodová hustota v každém kroku vedla k ergodickému řetězci s požadovaným limitním rozdělením.

Některé další metody pro generování z plně podmíněných rozdělení

- **Adaptive rejection sampling (ARS)**

- Gilks, W. R. and Wild, P. (1992). Adaptive rejection sampling for Gibbs sampling. *Applied Statistics*, **41**, 337–348.
- Potřeba, aby hustota, z které chceme generovat byla log-konkávní.
- Poměrně častý případ, viz rozdělení z exponenciální třídy rozdělení.

- **Adaptive rejection Metropolis sampling (ARMS)**

- Gilks, W. R., Best, N. G., and Tan, K. K. C. (1995). Adaptive rejection Metropolis sampling within Gibbs sampling. *Applied Statistics*, **44**, 455–472.
- Zobecnění ARS metody na situace, kdy hustota, z které generujeme není log-konkávní.

- **Slice sampling**

- Neal, R. M. (2003). Slice sampling (with Discussion). *The Annals of Statistics*, **31**, 705–767.
- Efektivní v případě, že hustota, z které generujeme je unimodální.

Lineární model

$$\begin{aligned}\mathbf{Y} &= \mathbb{X}\boldsymbol{\beta} + \boldsymbol{\varepsilon}, \quad \mathbb{X} : \text{pevná matice } n \times k, \\ \boldsymbol{\varepsilon} &\sim \mathcal{N}_n(\mathbf{0}, \sigma^2 \mathbf{I}_n).\end{aligned}$$

- Parametry: $\theta = (\boldsymbol{\beta}^\top, \tau)^\top$, kde $\tau = \sigma^{-2} > 0$.
- Věrohodnost: $\mathbf{Y} \sim \mathcal{N}_n(\mathbb{X}\boldsymbol{\beta}, \tau^{-1} \mathbf{I}_n)$.
- Neinformativní apriorní rozdělení:

$$\begin{aligned}p(\boldsymbol{\beta}) &\propto 1, \quad \boldsymbol{\beta} \in \mathbb{R}^k, \\ p(\tau) &\propto \frac{1}{\tau}, \quad \tau > 0.\end{aligned}$$

Příklad: Lineární model s neinformativním apriorním rozdělením

Věrohodnost

- Označme: $\boldsymbol{b} = (\mathbb{X}^\top \mathbb{X})^{-1} \mathbb{X}^\top \boldsymbol{y}$,

$$\text{SS}_e = \|\boldsymbol{y} - \mathbb{X}\boldsymbol{b}\|^2.$$

- Věrohodnost:

$$L(\theta) = p(\boldsymbol{y} | \boldsymbol{\beta}, \tau)$$

$$= (2\pi)^{-\frac{n}{2}} \tau^{\frac{n}{2}} \exp\left[-\frac{\tau}{2} \left\{ \text{SS}_e + (\boldsymbol{\beta} - \boldsymbol{b})^\top \mathbb{X}^\top \mathbb{X} (\boldsymbol{\beta} - \boldsymbol{b}) \right\}\right]$$

$$= (2\pi)^{-\frac{n}{2}} \tau^{\frac{n}{2}} \exp\left\{-\frac{\tau}{2} \|\boldsymbol{y} - \mathbb{X}\boldsymbol{\beta}\|^2\right\}.$$

Příklad: Lineární model s neinformativním apriorním rozdělením

Aposteriorní rozdělení

- Bylo odvozeno:

$$p(\beta, \tau | \mathbf{y}) = p(\beta | \tau, \mathbf{y}) \times p(\tau | \mathbf{y}),$$

kde $p(\tau | \mathbf{y}) \sim \mathcal{G}\left(\frac{n-k}{2}, \frac{\text{SS}_e}{2}\right)$,

$$p(\beta | \tau, \mathbf{y}) \sim \mathcal{N}_k\left(\mathbf{b}, \tau^{-1}(\mathbb{X}^\top \mathbb{X})^{-1}\right).$$

- Dále bylo odvozeno: $p(\beta | \mathbf{y}) \sim \text{MVT}_{k, n-k}\left(\mathbf{b}, \frac{\text{SS}_e}{n-k}(\mathbb{X}^\top \mathbb{X})^{-1}\right)$
- Pomocí algoritmu Metropolis within Gibbs algoritmu sestrojíme markovský řetězec, který bude mít rozdělení $p(\beta, \tau | \mathbf{y})$ jako stacionární i limitní.

Příklad: Lineární model s neinformativním apriorním rozdělením

Plně podmíněná rozdělení

$$p(\beta | \dots) = p(\beta | \tau, \mathbf{y}) \sim \mathcal{N}_k \left(\mathbf{b}, \tau^{-1} (\mathbb{X}^\top \mathbb{X})^{-1} \right),$$

$$p(\tau | \dots) = p(\tau | \beta, \mathbf{y}) \sim \mathcal{G} \left(\frac{n}{2}, \frac{\|\mathbf{y} - \mathbb{X}\beta\|^2}{2} \right).$$

Příklad: Lineární model s neinformativním apriorním rozdělením

Metropolis within Gibbs algoritmus

- Regresní parametry β budeme generovat pomocí symetrické náhodné procházky s návrhovou hustotou

$$q(\beta_1, \beta_2) = q_0(\beta_2 - \beta_1),$$

kde $q_0 \sim \mathcal{N}_k(\mathbf{0}, \mathbb{D}_{prop})$, $\mathbb{D}_{prop} = \text{diag}(d_{1,prop}^2, \dots, d_{p,prop}^2)$.

- V kroku $m + 1$ algoritmu navrhнемe β_{prop} vygenerované z rozdělení $\mathcal{N}_k(\beta^{(m)}, \mathbb{D}_{prop})$.
- Hlavní část pravděpodobnosti přijetí návrhu je

$$\begin{aligned}\alpha^*(\beta^{(m)}, \beta_{prop}) &= \frac{p(\beta_{prop} | \dots) q(\beta_{prop}, \beta^{(m)})}{p(\beta^{(m)} | \dots) q(\beta^{(m)}, \beta_{prop})} = \frac{p(\beta_{prop} | \dots)}{p(\beta^{(m)} | \dots)} \\ &= \exp \left[-\frac{\tau^{(m)}}{2} \left\{ (\beta_{prop} - \mathbf{b})^\top \mathbb{X}^\top \mathbb{X} (\beta_{prop} - \mathbf{b}) - (\beta^{(m)} - \mathbf{b})^\top \mathbb{X}^\top \mathbb{X} (\beta^{(m)} - \mathbf{b}) \right\} \right].\end{aligned}$$

Příklad: Vážení lehkých objektů

Metropolis within Gibbs algoritmus

- Budou čtyři ukázky vygenerované při použití různých variančních matic v návrhové normální hustotě.

1. $\mathbb{D}_{prop} = \text{diag}(1, 1)$

■■■ proporce přijatých návrhů 0,87.

2. $\mathbb{D}_{prop} = \text{diag}(5^2, 5^2)$

■■■ proporce přijatých návrhů 0,47.

3. $\mathbb{D}_{prop} = \text{diag}(10^2, 10^2)$

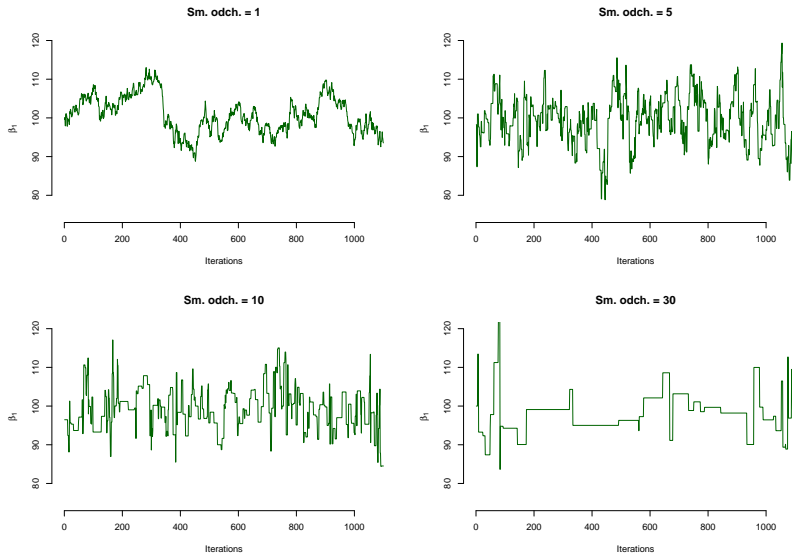
■■■ proporce přijatých návrhů 0,22.

4. $\mathbb{D}_{prop} = \text{diag}(30^2, 30^2)$

■■■ proporce přijatých návrhů 0,04.

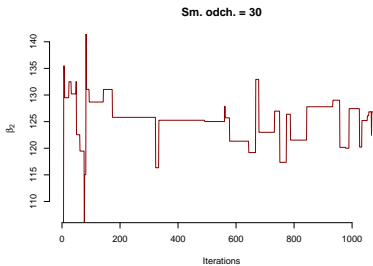
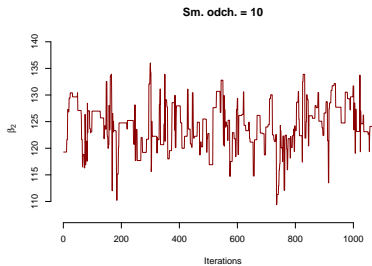
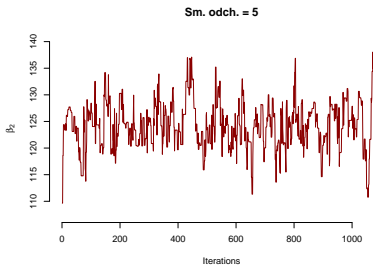
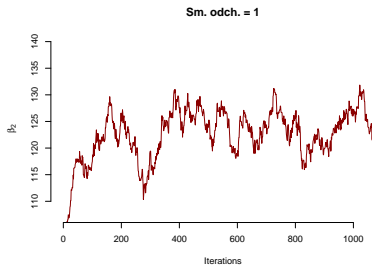
Příklad: Vážení lehkých objektů

Metropolis within Gibbs algoritmus: Generované hodnoty β_1 (B=100, M=1 000)



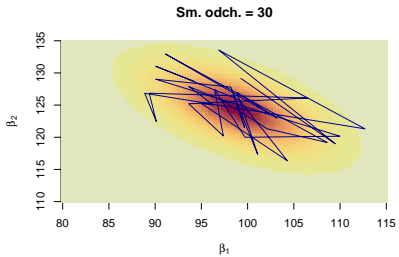
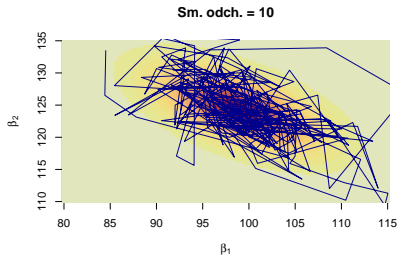
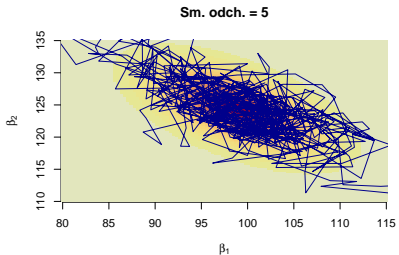
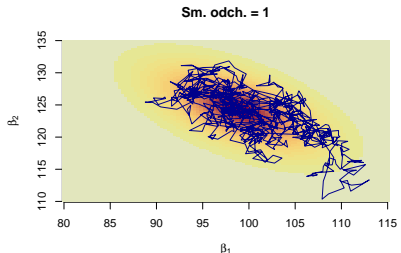
Příklad: Vážení lehkých objektů

Metropolis within Gibbs algoritmus: Generované hodnoty β_2 (B=100, M=1 000)



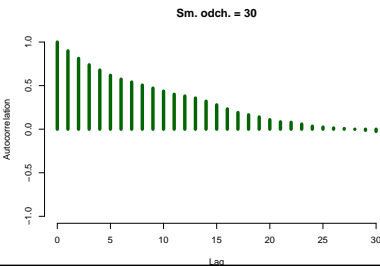
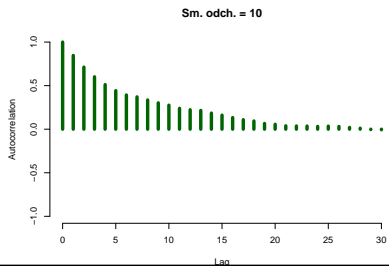
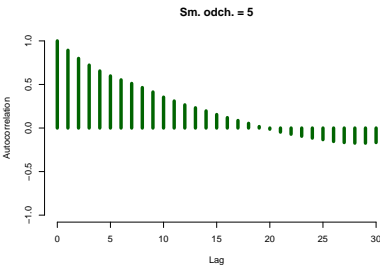
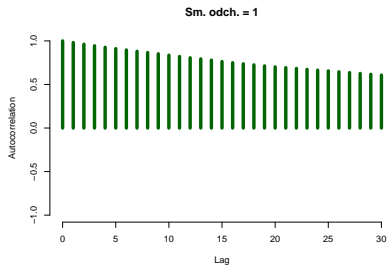
Příklad: Vážení lehkých objektů

Metropolis within Gibbs algoritmus: Generované hodnoty β (iterace 101 – 1 100)



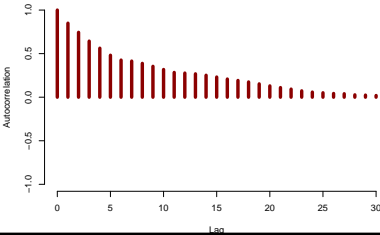
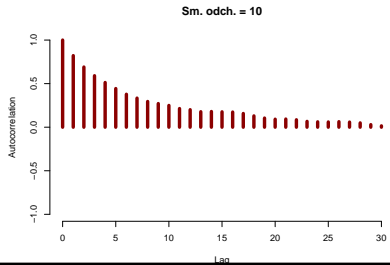
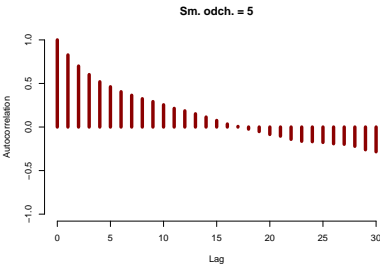
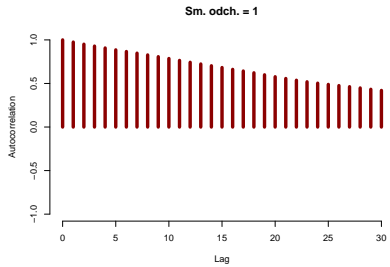
Příklad: Vážení lehkých objektů

Metropolis within Gibbs algoritmus: Odhad autokorelačních funkcí pro β_1 ($B=100$, $M=1\,000$)



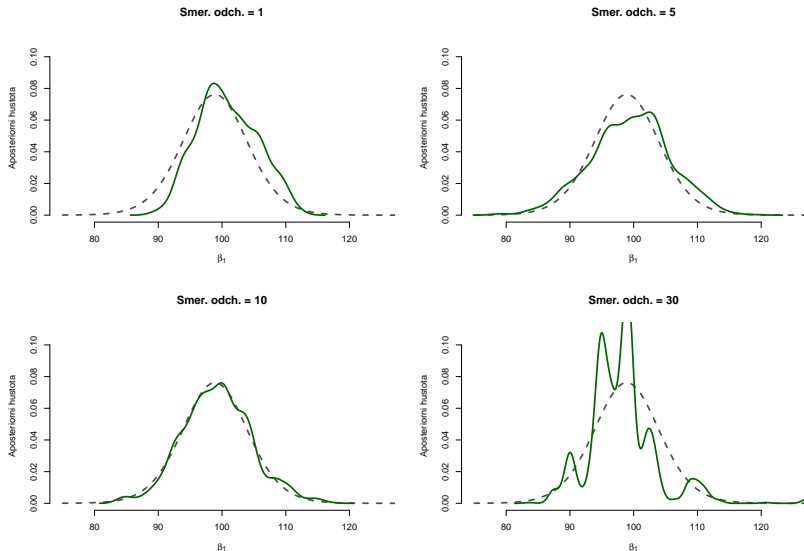
Příklad: Vážení lehkých objektů

Metropolis within Gibbs algoritmus: Odhad autokorelačních funkcí pro β_2 ($B=100$, $M=1\,000$)



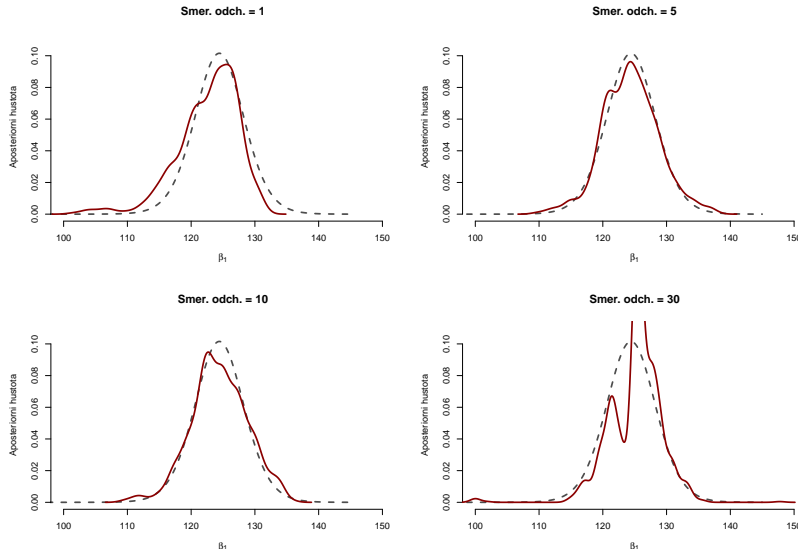
Příklad: Vážení lehkých objektů

Metropolis within Gibbs algoritmus: Odhadý aposteriorních hustot pro β_1 ($B=100$, $M=1\,000$)



Příklad: Vážení lehkých objektů

Metropolis within Gibbs algoritmus: Odhadý aposteriorních hustot pro β_2 (B=100, M=1 000)



6

Bayesovské rozšiřování dat

Oddíl 6.1

Úvod

Rozšiřování dat (data augmentation)

- V bayesovské statistice potřebujeme typicky generovat z aposteriorního rozdělení s hustotou

$$p(\theta | \mathbf{y}) = \frac{L_{obs}(\theta) p(\theta)}{\int_{\Theta} L_{obs}(\theta) p(\theta) d\lambda(\theta)} \propto L_{obs}(\theta) p(\theta)$$

vzhledem k σ -konečné míře λ kde

- $L_{obs}(\theta) = p(\mathbf{y} | \theta)$: věrohodnost (pozorovaných dat)
- $p(\theta)$: apriorní rozdělení

- Pro použití MCMC metod obvykle:
 - není potřeba znát normující konstantu $\int_{\Theta} L_{obs}(\theta) p(\theta) d\lambda(\theta)$;
 - je však vhodné a výhodné, aby výraz $L_{obs}(\theta) p(\theta)$ byl snadno spočítatelný pro libovolné $\theta \in \Theta$.
- Často se však stává, že zejména $L_{obs}(\theta)$ není jednoduchého tvaru.
 - nejčastější komplikace: při vyjadřování $L_{obs}(\theta)$ je nutné integrovat.

Příklad 1: Lineární smíšený model

Model (pro $i = 1, \dots, N$)

- $Y_i | \boldsymbol{b}_i$ nezávislé s rozdělením $\mathcal{N}_{n_i}(\mathbb{X}_i\boldsymbol{\beta} + \mathbb{Z}_i\boldsymbol{b}_i, \sigma^2\mathbf{I}_{n_i})$
- \boldsymbol{b}_i i.i.d. s rozdělením $\mathcal{N}_q(\boldsymbol{\mu}, \mathbb{D})$

Parametry

- $\theta = (\boldsymbol{\beta}^\top, \boldsymbol{\mu}^\top, \sigma^2, \text{vec}(\mathbb{D}))^\top$

Věrohodnost (pozorovaných dat)

$$\begin{aligned} L_{obs}(\theta) &= p(\mathbf{y} | \theta) = \prod_{i=1}^N p(\mathbf{y}_i | \theta) = \prod_{i=1}^N \int_{\mathbb{R}^q} p(\mathbf{y}_i | \boldsymbol{b}_i, \theta) p(\boldsymbol{b}_i | \theta) d\boldsymbol{b}_i \\ &= \prod_{i=1}^N \int_{\mathbb{R}^q} \varphi(\mathbf{y}_i | \mathbb{X}_i\boldsymbol{\beta} + \mathbb{Z}_i\boldsymbol{b}_i, \sigma^2\mathbf{I}_{n_i}) \varphi(\boldsymbol{b}_i | \boldsymbol{\mu}, \mathbb{D}) d\boldsymbol{b}_i \end{aligned}$$

Příklad 2: Logistická regrese s normálně rozdělenými náhodnými efekty

Model ($j = 1, \dots, n_i$ pro každé $i = 1, \dots, N$)

- $Y_{i,j} | b_i$ nezávislé s rozdělením $\mathcal{A}(\pi_i)$, kde $\pi_i = \frac{e^{b_i}}{1+e^{b_i}}$.
- b_i i.i.d. s rozdělením $\mathcal{N}(\mu, d^2)$.

Parametry

- $\theta = (\mu, d^2)^\top$.

Věrohodnost (pozorovaných dat)

$$\begin{aligned} L_{obs}(\theta) &= p(\mathbf{y} | \theta) = \prod_{i=1}^N p(\mathbf{y}_i | \theta) = \prod_{i=1}^N \int_{\mathbb{R}} \prod_{j=1}^{n_i} p(y_{i,j} | b_i, \theta) p(b_i | \theta) db_i \\ &= \prod_{i=1}^N \int_{\mathbb{R}} \pi_i^{\sum_{j=1}^{n_i} y_{i,j}} (1 - \pi_i)^{n_i - \sum_{j=1}^{n_i} y_{i,j}} \varphi(b_i | \mu, d^2) db_i \\ &= \prod_{i=1}^N \int_{\mathbb{R}} \frac{e^{b_i \sum_{j=1}^{n_i} y_{i,j}}}{(1 + e^{b_i})^{n_i}} \varphi(b_i | \mu, d^2) db_i. \end{aligned}$$

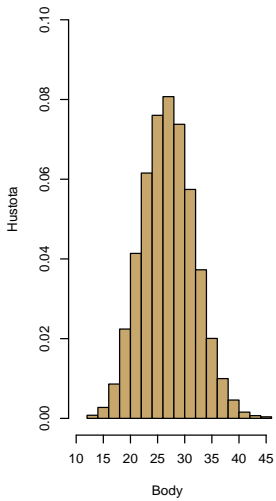
Příklad 3: Výsledky přijímacích zkoušek

- V roce 1999 pořádala jistá (právnická) fakulta jedné české VŠ (nebylo to v Plzni) 11 řádných a jeden náhradní termín (termín č. 12) přijímaček.
- Někdo si povšimnul, že u 12. náhradního termínu byla proporce přijatých studentů mnohem vyšší než u všech předchozích termínů.
 - Chytří studenti se hromadně omlouvali z řádného termínu přijímaček a přišli až na ten náhradní?
 - Výrazně více stimulující ovzduší v učebnách během 12. termínu?
 - Zázrak?
- Ukázalo, že zadání otázek pro 12. termín přijímaček záhadně uniklo (z uzamčeného trezoru) a bylo (v určitých kruzích) ke koupi již před konáním tohoto termínu.
- Celá událost byla dle tehdejšího rektora dané VŠ i děkana dotčené fakulty dílem *gangsterské mafie* stojící mimo fakultu.
Viz <http://www.cibulka.com/nnoviny/nn2000/nn1900/obsah/05.htm>.

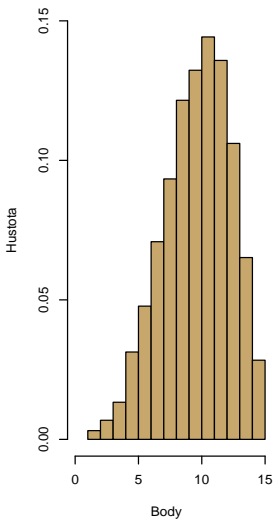
Příklad 3: Výsledky přijímacích zkoušek

Termíny č. 1–11

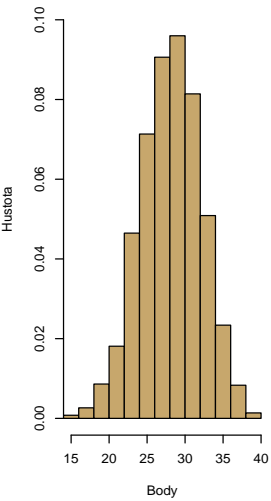
Historie



Jazyk



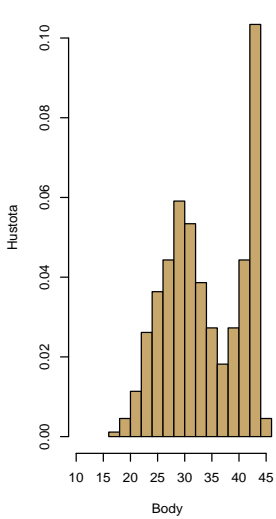
Logika



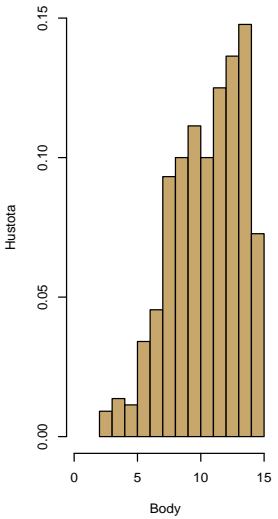
Příklad 3: Výsledky přijímacích zkoušek

Termín č. 12

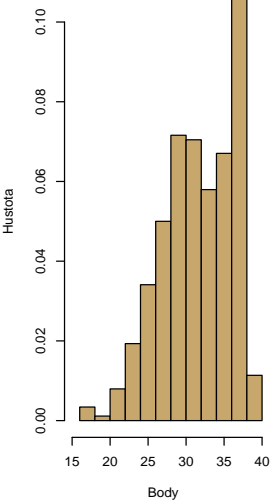
Historie



Jazyk



Logika



Příklad 3: Výsledky přijímacích zkoušek

Možný model pro výsledky termínu č. 12

Možný model (pro $i = 1, \dots, N$)

- $\mathbf{Y}_i = (Y_{i,1}, Y_{i,2}, Y_{i,3})^\top$: bodové zisky i tého studenta u jednotlivých částí zkoušky.
 - Studenti pocházejí ze **dvou** populací:
 1. běžní studenti (proporce w_1);
 2. studenti napojení na gangsterskou mafii (proporce w_2 , $w_1 + w_2 = 1$).
 - Budeme **předpokládat**, že (sdružené) rozdělení bodových zisků je **v každé** populaci normální se střední hodnotou μ_1 , resp. μ_2 a varianční maticí Σ_1 , resp. Σ_2 .
- ⇒ Rozdělení \mathbf{Y}_i : **směs** normálních rozdělení s hustotou

$$p(\mathbf{y}_i | \theta) = w_1 \varphi(\mathbf{y}_i | \mu_1, \Sigma_1) + w_2 \varphi(\mathbf{y}_i | \mu_2, \Sigma_2)$$

Příklad 3: Výsledky přijímacích zkoušek

Možný model pro výsledky termínu č. 12

- Potřeba odhadnout:
 - váhy (proporce) w_1, w_2 ,
 - střední hodnoty μ_1, μ_2 ,
 - varianční matice Σ_1, Σ_2 .

$$\Rightarrow \theta = (w_1, w_2, \mu_1^\top, \mu_2^\top, \text{vec}(\Sigma_1), \text{vec}(\Sigma_2))^\top$$

Věrohodnost (pozorovaných dat)

$$L_{obs}(\theta) = p(\mathbf{y} | \theta) = \prod_{i=1}^N p(\mathbf{y}_i | \theta) = \prod_{i=1}^N \left\{ \sum_{k=1}^2 w_k \varphi(\mathbf{y}_i | \boldsymbol{\mu}_k, \boldsymbol{\Sigma}_k) \right\}.$$

Oddíl 6.2

Principy

- Viděli jsme, že pozorovaná věrohodnost $L_{obs}(\theta) = p(\mathbf{y} | \theta)$ (která tvoří základ aposteriorní hustoty $p(\theta | \mathbf{y}) \propto L_{obs}(\theta) p(\theta)$) není vždy snadno vyjádřitelná jako součin "pěkných" funkcí.
- Někdy není $L_{obs}(\theta)$ dokonce ani analyticky vyjádřitelná:
 - logistická regrese s náhodnými efekty,
 - zobecněné lineární smíšené modely (GLMM).
- Nicméně často se "věrohodnost" výrazně zjednoduší, jestliže budeme uvažovat více parametrů:
 - označme je ψ ;
 - "věrohodnost" je pak $L_{augm}(\psi, \theta) = p(\mathbf{y} | \psi, \theta)$;
 - $L_{augm}(\psi, \theta)$ budeme nazývat rozšířená věrohodnost (*augmented likelihood*).

Principy

- Parametry ψ mají často význam nepozorovatelných (resp. pouze nepřímo pozorovatelných) dat.
 - odsud termín rozšiřování dat (*data augmentation*);
 - termín pochází z článku Tanner, M. A. and Wong, W. H. (1987). The calculation of posterior distributions by data augmentation. *Journal of the American Statistical Association*, **82**(398), 528–550.
- y : pozorovaná/pozorovatelná data (*observed data*).
- (y, ψ) : úplná/rozšířená data (*complete data*).

Rozšiřování dat (data augmentation)

Principy

- Primárně nás zajímá $p(\theta | \mathbf{y}) \propto \underbrace{p(\mathbf{y} | \theta)}_{L_{obs}(\theta)} p(\theta)$,

kde $p(\mathbf{y} | \theta) = L_{obs}(\theta)$ plyne z předpokládaného (ne nutně hierarchického) modelu.

- Řekněme, že pro vhodné ψ se se sdruženou hustotou

$$p(\psi, \theta | \mathbf{y}) \propto p(\mathbf{y} | \psi, \theta) p(\psi, \theta) = \underbrace{p(\mathbf{y} | \psi, \theta)}_{L_{augm}(\psi, \theta)} p(\psi | \theta) p(\theta)$$

mnohem lépe pracuje.

- $L_{augm}(\psi, \theta)$: model (věrohodnost) pro pozorovaná data, jestliže na doplněná data pohlížíme jako na další parametry modelu.
- $p(\psi | \theta)$: model (věrohodnost) pro doplněná data.

Principy

- Řekněme, že zajistíme, aby platilo

$$p(\theta | \mathbf{y}) = \int p(\psi, \theta | \mathbf{y}) d\lambda(\psi)$$

tj., aby $p(\theta | \mathbf{y})$ bylo marginální hustotou rozdělení $\theta | \mathbf{Y} = \mathbf{y}$ odpovídající sdruženému rozdělení $(\psi, \theta) | \mathbf{Y} = \mathbf{y}$.

Principy

- Provádíme-li posteriorní inferenci na základě simulace, vygenerujeme náhodný výběr/markovský řetězec

$$\mathcal{S}_{(\psi, \theta), M} = \left\{ (\psi^{(1)}, \theta^{(1)}), \dots, (\psi^{(M)}, \theta^{(M)}) \right\}$$

s limitním rozdělením majícím hustotu $p(\psi, \theta | \mathbf{y})$.

- Jestliže $p(\theta | \mathbf{y})$ je marginální hustotou odpovídající sdružené hustotě $p(\psi, \theta | \mathbf{y})$, potom

$$\mathcal{S}_{\theta, M} = \left\{ \theta^{(1)}, \dots, \theta^{(M)} \right\}$$

je náhodný výběr/markovský řetězec s limitním rozdělením majícím hustotu $p(\theta | \mathbf{y})$.

Rozšiřování dat (data augmentation)

Principy

- Máme:
$$p(\theta | \mathbf{y}) \propto L_{obs}(\theta) p(\theta),$$
$$p(\psi, \theta | \mathbf{y}) \propto L_{augm}(\psi, \theta) p(\psi | \theta) p(\theta).$$
 - $L_{obs}(\theta)$ plyne z předpokládaného modelu pro pozorovaná data.
 - $L_{augm}(\psi, \theta) p(\psi | \theta)$ plyne z uvažovaného rozšiřování dat.
 - $L_{augm}(\psi, \theta)$: model (věrohodnost) pro pozorovaná data, jestliže na doplněná data pohlížíme jako na další parametry modelu.
 - $p(\psi | \theta)$: model (věrohodnost) pro doplněná data.
- Rozšiřování je potřeba udělat tak, aby $p(\theta | \mathbf{y})$ bylo marginální hustotou odpovídající sdružené hustotě $p(\psi, \theta | \mathbf{y})$.
- Rozšiřování je tedy potřeba udělat tak, aby

$$L_{obs}(\theta) \propto \int L_{augm}(\psi, \theta) p(\psi | \theta) d\lambda(\psi).$$

Rozšiřování dat (data augmentation)

Principy

- K tomu, aby $p(\theta | \mathbf{y})$ bylo marginální hustotou odpovídající sdružené hustotě $p(\psi, \theta | \mathbf{y})$ stačí, aby platilo

$$L_{obs}(\theta) = p(\mathbf{y} | \theta)$$

$$\propto \int p(\mathbf{y} | \psi, \theta) p(\psi | \theta) d\lambda(\psi) = \int L_{augm}(\psi, \theta) p(\psi | \theta) d\lambda(\psi).$$

- Výraz

$$p(\mathbf{y} | \psi, \theta) p(\psi | \theta) = L_{augm}(\psi, \theta) p(\psi | \theta)$$

je roven $p(\mathbf{y}, \psi | \theta)$ a lze ho tedy interpretovat jako věrohodnost, jestliže bychom pozorovali **úplná** data.

- $L_{compl}(\theta) := L_{augm}(\psi, \theta) p(\psi | \theta)$
= věrohodnost úplných dat.

Principy

- K tomu, aby $p(\theta | \mathbf{y})$ bylo marginální hustotou odpovídající sdružené hustotě $p(\psi, \theta | \mathbf{y})$ tedy stačí specifikovat (rozšířený) model zahrnující nepozorovaná data ψ tak, aby si odpovídaly jednotlivé věrohodnosti.
- Přirozeně zajištěno v případě **hierarchických** modelů, kde rozšířená data ψ mají typicky přesně danou roli v popisu pravděpodobnostního mechanismu, o kterém předpokládáme, že generuje pozorovaná data \mathbf{y} .

Specifikace hierarchického modelu:

1. $L_{augm}(\psi, \theta) = p(\mathbf{y} | \psi, \theta)$: 1. hierarchická úroveň
(model pro pozorovaná data za podmínky nepozorovaných dat).
2. $p(\psi | \theta)$: 2. hierarchická úroveň (model pro nepozorovaná data).
3. $L_{obs}(\theta)$ (marginální model pro pozorovaná data)

“dopočítává” se jako $L_{obs}(\theta) = \int L_{augm}(\psi, \theta) p(\psi | \theta) d\lambda(\psi)$.

Rozšiřování dat (data augmentation)

Shrnutí terminologie

Data, parametry

- y : pozorovaná data;
- θ : (frekventistické) parametry
 - inference o nich je naším primárním cílem;
- ψ : nepozorovaná (pouze nepřímo pozorovaná) data, dodatečné parametry.

Věrohodnosti

- $L_{obs}(\theta) = p(y | \theta)$: věrohodnost pozorovaných dat;
- $L_{augm}(\psi, \theta) = p(y | \psi, \theta)$: rozšířená věrohodnost pozorov. dat;
- $p(\psi | \theta)$: věrohodnost doplněných dat;
- $L_{compl}(\theta) = p(\psi, y | \theta) = L_{augm}(\psi, \theta) p(\psi | \theta)$:
věrohodnost úplných dat.
- Jednotlivé věrohodnosti potřeba specifikovat tak, aby

$$L_{obs}(\theta) = \int L_{augm}(\psi, \theta) p(\psi | \theta) d\lambda(\psi).$$

Oddíl 6.3

Příklady

Příklad 1: Lineární smíšený model

Model (pro $i = 1, \dots, N$)

- $Y_i | \boldsymbol{b}_i$ nezávislé s rozdělením $\mathcal{N}_{n_i}(\mathbb{X}_i\beta + \mathbb{Z}_i\boldsymbol{b}_i, \sigma^2\mathbf{I}_{n_i})$,
- \boldsymbol{b}_i i.i.d. s rozdělením $\mathcal{N}_q(\mu, \mathbb{D})$.

Parametry

- $\theta = (\beta^\top, \mu^\top, \sigma^2, \text{vec}(\mathbb{D}))^\top$.

Nepřímo pozorovatelná (doplňená) data

- $\psi = (\boldsymbol{b}_1^\top, \dots, \boldsymbol{b}_N^\top)^\top$.

Příklad 1: Lineární smíšený model

Věrohodnost pozorovaných dat

$$\begin{aligned} L_{obs}(\boldsymbol{\theta}) &= \prod_{i=1}^N \int_{\mathbb{R}^q} \varphi(\mathbf{y}_i | \mathbb{X}_i \boldsymbol{\beta} + \mathbb{Z}_i \mathbf{b}_i, \sigma^2 \mathbf{I}_{n_i}) \varphi(\mathbf{b}_i | \boldsymbol{\mu}, \mathbb{D}) d\mathbf{b}_i \\ &= \int_{\mathbb{R}^q} \cdots \int_{\mathbb{R}^q} \left\{ \prod_{i=1}^N \varphi(\mathbf{y}_i | \mathbb{X}_i \boldsymbol{\beta} + \mathbb{Z}_i \mathbf{b}_i, \sigma^2 \mathbf{I}_{n_i}) \right\} \left\{ \prod_{i=1}^N \varphi(\mathbf{b}_i | \boldsymbol{\mu}, \mathbb{D}) \right\} d\mathbf{b}_1 \cdots d\mathbf{b}_N. \end{aligned}$$

Rozšířená věrohodnost

$$L_{augm}(\boldsymbol{\psi}, \boldsymbol{\theta}) = \prod_{i=1}^N \varphi(\mathbf{y}_i | \mathbb{X}_i \boldsymbol{\beta} + \mathbb{Z}_i \mathbf{b}_i, \sigma^2 \mathbf{I}_{n_i}).$$

Věrohodnost doplněných dat

$$p(\boldsymbol{\psi} | \boldsymbol{\theta}) = \prod_{i=1}^N \varphi(\mathbf{b}_i | \boldsymbol{\mu}, \mathbb{D}).$$

Příklad 2: Logistická regrese s normálně rozdělenými náhodnými efekty

Model ($j = 1, \dots, n_i$ pro každé $i = 1, \dots, N$)

- $Y_{i,j} | b_i$ nezávislé s rozdělením $\mathcal{A}(\pi_i)$, kde $\pi_i = \frac{e^{b_i}}{1+e^{b_i}}$,
- b_i i.i.d. s rozdělením $\mathcal{N}(\mu, d^2)$.

Parametry

- $\theta = (\mu, d^2)^\top$.

Nepřímo pozorovatelná (doplňená) data

- $\psi = (b_1, \dots, b_N)^\top$.

Příklad 2: Logistická regrese s normálně rozdělenými náhodnými efekty

Věrohodnost pozorovaných dat

$$\begin{aligned} L_{obs}(\theta) &= \prod_{i=1}^N \int_{\mathbb{R}} \frac{e^{b_i \sum_{j=1}^{n_i} y_{i,j}}}{(1 + e^{b_i})^{n_i}} \varphi(b_i | \mu, d^2) db_i \\ &= \int_{\mathbb{R}} \cdots \int_{\mathbb{R}} \left\{ \prod_{i=1}^N \frac{e^{b_i \sum_{j=1}^{n_i} y_{i,j}}}{(1 + e^{b_i})^{n_i}} \right\} \left\{ \prod_{i=1}^N \varphi(b_i | \mu, d^2) \right\} db_1 \cdots db_N. \end{aligned}$$

Rozšířená věrohodnost

$$L_{augm}(\psi, \theta) = \prod_{i=1}^N \frac{e^{b_i \sum_{j=1}^{n_i} y_{i,j}}}{(1 + e^{b_i})^{n_i}}.$$

Věrohodnost doplněných dat

$$p(\psi | \theta) = \prod_{i=1}^N \varphi(b_i | \mu, d^2).$$

Příklad 3: Normální směsový model ($K > 1$ skupin)

Model ($i = 1, \dots, N$)

- Y_i i.i.d. se směsovým rozdělením s hustotou

$$p(\mathbf{y}_i | \theta) = \sum_{k=1}^K w_k \varphi(\mathbf{y}_i | \boldsymbol{\mu}_k, \boldsymbol{\Sigma}_k)$$

Parametry

- $\theta \equiv \mathbf{w}, \boldsymbol{\mu}_1, \dots, \boldsymbol{\mu}_K, \boldsymbol{\Sigma}_1, \dots, \boldsymbol{\Sigma}_K$

$$\mathbf{w} = (w_1, \dots, w_K)^\top, 0 < w_k < 1, \sum_{k=1}^K w_k = 1$$

Nepřímo pozorovatelná (doplňená) data

- ???

Příklad 3: Normální směsový model

Věrohodnost **pozorovaných dat**

$$L_{obs}(\theta) = \prod_{i=1}^N \left\{ \sum_{k=1}^K \varphi(\mathbf{y}_i | \boldsymbol{\mu}_k, \boldsymbol{\Sigma}_k) w_k \right\}.$$

Rozšířená věrohodnost

$$L_{augm}(\psi, \theta) = \prod_{i=1}^N \varphi(\mathbf{y}_i | \boldsymbol{\mu}_{Z_i}, \boldsymbol{\Sigma}_{Z_i}).$$

Věrohodnost **doplňených dat**

$$p(\psi | \theta) = \prod_{i=1}^N w_{Z_i} = \prod_{i=1}^N \prod_{k=1}^K w_k^{\mathbb{I}(Z_i=k)}.$$

Příklad 3: Normální směsový model

- Též nyní platí, že

$$L_{obs}(\theta) = \int L_{augm}(\psi, \theta) p(\psi | \theta) d\lambda(\psi).$$

- λ je nyní součinová čítací míra na $\{1, \dots, K\}^N$ a tedy

$$\begin{aligned} & \int L_{augm}(\psi, \theta) p(\psi | \theta) d\lambda(\psi) \\ &= \sum_{z_1=1}^K \cdots \sum_{z_N=1}^K \left\{ \prod_{i=1}^N \varphi(\mathbf{y}_i | \boldsymbol{\mu}_{z_i}, \boldsymbol{\Sigma}_{z_i}) \right\} \underbrace{\left\{ \prod_{i=1}^N \mathbb{P}(Z_i = z_i | \theta) \right\}}_{w_{z_i}} \\ &= \prod_{i=1}^N \left\{ \sum_{z_i=1}^K \varphi(\mathbf{y}_i | \boldsymbol{\mu}_{z_i}, \boldsymbol{\Sigma}_{z_i}) w_{z_i} \right\}. \end{aligned}$$

Oddíl 6.4

Poznámky

Rozšiřování dat (data augmentation)

Poznámky

- Ani rozšiřování dat není úplně bez komplikací
- Zvětšujeme (často poměrně výrazně) **dimenzi** parametrického prostoru.
 - Generujeme-li z aposteriorního rozdělení pomocí MCMC, může být poměrně obtížné sestrojit markovský řetězec s nízkou autokorelací a rychle konvergující k limitnímu rozdělení.
- Při použití rozšiřování dat pracujeme primárně s aposteriorním rozdělením

$$p(\psi, \theta | \mathbf{y}) \propto L_{\text{augm}}(\psi, \theta) p(\psi | \theta) p(\theta).$$

- Též zde lze apriorní rozdělení $p(\theta)$ specifikovat hierarchicky za pomocí náhodných hyperparametrů ζ s apriorní hustotou $p(\zeta)$.
- Fakticky potom pracujeme s aposteriorním rozdělením

$$p(\psi, \theta, \zeta | \mathbf{y}) \propto L_{\text{augm}}(\psi, \theta) p(\psi | \theta) p(\theta | \zeta) p(\zeta).$$

Další oblasti využití

- Modely pro cenzorovaná data:
 - nejenom cenzorování zprava, ale též obecnější intervalové cenzorování,
 - nejenom neinformativní, ale též informativní cenzorování.
- A mnohé jiné...

7

Bayesian Model Selection

Oddíl 7.1

Bayes factor

Bayesian model

Data: \mathbf{Y} ,

Likelihood: $p(\mathbf{y} | \boldsymbol{\theta}) = L(\boldsymbol{\theta}), \quad \boldsymbol{\theta} \in \Theta \subset \mathbb{R}^p,$

Prior distribution: $p(\boldsymbol{\theta}).$

Definice 7.1 Integrated (marginal) likelihood.

Marginal density of \mathbf{Y} following from the joint distribution of (\mathbf{Y}, θ) is called the integrated (marginal) likelihood, i.e.,

$$p(\mathbf{y}) = \int_{\Theta} p(\mathbf{y}, \theta) d\theta = \int_{\Theta} \underbrace{p(\mathbf{y} | \theta)}_{L(\theta)} p(\theta) d\theta.$$

Remarks

- Marginal likelihood is a likelihood of the model where the values of the unknown parameters are averaged over their prior distribution.
- It is also the denominator from the Bayes theorem.
- Also reported as **model evidence**.

- Interest in selecting a model from a set of candidate models M_1, \dots, M_r .
- Model M_k , $k = 1, \dots, r$:

Likelihood: $p_k(\mathbf{y} | \boldsymbol{\theta}_k) = L(\boldsymbol{\theta}_k), \quad \boldsymbol{\theta}_k \in \Theta_k \subset \mathbb{R}^{p_k},$

Prior distribution: $p_k(\boldsymbol{\theta}_k),$

Integrated likelihood: $p_k(\mathbf{y}) = \int_{\Theta} p_k(\mathbf{y} | \boldsymbol{\theta}_k) p_k(\boldsymbol{\theta}_k) d\boldsymbol{\theta}_k.$

- Integrated likelihood $p_k(\mathbf{y})$ can also be interpreted as distribution of data under validity of model M_k :

$$p_k(\mathbf{y}) = p(\mathbf{y} | M_k), \quad k = 1, \dots, r.$$

Model selection

- Let $P(M_1), \dots, P(M_r)$ be the **prior** probabilities of models M_1, \dots, M_k :

$$0 < P(M_k) < 1, \quad k = 1, \dots, r \quad \sum_{k=1}^r P(M_k) = 1.$$

- For example (but not necessarily): $P(M_k) = \frac{1}{r}, \quad k = 1, \dots, r.$
- Model selection in Bayesian context can be based on **posterior** probabilities of models M_1, \dots, M_r :

$$P(M_k | \mathbf{y}) = \frac{p(\mathbf{y} | M_k) P(M_k)}{\sum_{l=1}^r p(\mathbf{y} | M_l) P(M_l)}, \quad k = 1, \dots, r.$$

- Choose model with the maximal posterior probability.
- “Small” complication: Integrated likelihood $p_k(\mathbf{y}) = p(\mathbf{y} | M_k)$ must be calculated for each model which requires calculation of (usually complicated/intractable) integral.

Definice 7.2 Bayes factor.

Bayes factor of the two models M_k and M_j is defined as the odds of the two integrated likelihoods, i.e.,

$$BF(M_k, M_j) = \frac{p(\mathbf{y} | M_k)}{p(\mathbf{y} | M_j)} = \frac{p_k(\mathbf{y})}{p_j(\mathbf{y})}.$$

Remarks

- Bayes factor measures the evidence for model M_k versus model M_j .
- Posterior odds of model M_k versus model M_j :

$$= \frac{P(M_k | \mathbf{y})}{P(M_j | \mathbf{y})} = \frac{p(\mathbf{y} | M_k) P(M_k)}{p(\mathbf{y} | M_j) P(M_j)} = BF(M_k, M_j) \underbrace{\frac{P(M_k)}{P(M_j)}}_{\text{prior odds}(M_k, M_j)}.$$

- With the uniform prior distribution for the competing models:

$$\text{posterior odds}(M_k, M_j) = BF(M_k, M_j).$$

Jeffreys' scale of evidence for Bayes factor

Bayes factor(M_k, M_j)	Interpretation
$BF(M_k, M_j) < 1$	Negative support for M_k
$1 \leq BF(M_k, M_j) < 3$	Barely worth mentioning evidence for M_k
$3 \leq BF(M_k, M_j) < 10$	Substantial evidence for M_k
$10 \leq BF(M_k, M_j) < 30$	Strong evidence for M_k
$30 \leq BF(M_k, M_j) < 100$	Very strong evidence for M_k
$100 \leq BF(M_k, M_j)$	Decisive evidence for M_k

Problems with Bayes factor

- The integrated likelihoods $p_k(\mathbf{y})$ which enter the Bayes factor are, in fact, the **means (expected values)** of the likelihood (under model M_k) with respect to the prior distribution (under model M_k).
- $p_k(\mathbf{y})$ is not well defined when the prior distribution $p_k(\theta_k)$ is **improper**.
- Bayes factor is numerically unstable when proper but **diffuse (weakly informative)** prior distributions used.
- There exist numerous approaches that were suggested in the literature to overcome above problems.

Further reading

- Robert E. Kass, Adrian E. Raftery (1995). Bayes factors. *Journal of the American Statistical Association*. **90**(430), 773–795.
- Tomohiro Ando (2010). *Bayesian Model Selection and Statistical Modeling*. Boca Raton: Chapman & Hall/CRC. ISBN 978-1-4398-3614-9.

Oddíl 7.2

Posterior predictive distribution

Bayesian model

Data: \mathbf{Y} ,

Likelihood: $p(\mathbf{y} | \boldsymbol{\theta}) = L(\boldsymbol{\theta}), \quad \boldsymbol{\theta} \in \Theta \subset \mathbb{R}^p,$

Prior distribution: $p(\boldsymbol{\theta}).$

Posterior predictive distribution

- Let \mathbf{Y}_{new} be the random vector generated according to the same probabilistic mechanism as the data random vector \mathbf{Y} .
- In a Bayesian setting, it will always be assumed that \mathbf{Y} and \mathbf{Y}_{new} are (conditionally) independent given θ .
- $\mathbf{Y}_{new} \equiv$ new (replicated) data.

Definice 7.3 Posterior predictive distribution.

Posterior distribution of the random vector \mathbf{Y}_{new} , i.e., $p(\mathbf{y}_{new} | \mathbf{y})$, is called the posterior predictive distribution.

We have

$$\begin{aligned} p(\mathbf{y}_{new} | \mathbf{y}) &= \int_{\Theta} p(\mathbf{y}_{new}, \theta | \mathbf{y}) d\theta = \int_{\Theta} p(\mathbf{y}_{new} | \theta, \mathbf{y}) p(\theta | \mathbf{y}) d\theta \\ &= \int_{\Theta} \underbrace{p(\mathbf{y}_{new} | \theta)}_{L_{new}(\theta)} p(\theta | \mathbf{y}) d\theta. \end{aligned}$$

Integrated likelihood

$$p(\mathbf{y}) = \int_{\Theta} L(\theta) p(\theta) d\theta$$

- ≡ Distribution of data when the unknown parameters are averaged over their **prior** distribution.
- ➡ Evidence of the model **before** unknown parameters being estimated.

Posterior predictive distribution

$$p(\mathbf{y}_{new} | \mathbf{y}) = \int_{\Theta} L_{new}(\theta) p(\theta | \mathbf{y}) d\theta$$

- ≡ Distribution of (new) data when the unknown parameters are averaged over their **posterior** distribution.
- ➡ Evidence of the model **after** using the data \mathbf{Y} for inference on unknown θ .

Oddíl 7.3

Kullback-Leibler distance and deviance of the model

Scetch of a theory will follow now which explains why the likelihood (or some of its derivatives) of the model can be considered as **evidence** of that model.

Definice 7.4 Kullback-Leibler distance.

Let Q_1 and Q_2 be two distributions with densities q_1 and q_2 (with respect to some σ -finite measure). The **Kullback-Leibler distance (divergence)** of Q_2 from Q_1 is defined as

$$\text{KL}(Q_2, Q_1) = \mathbb{E}_{Q_1} \log \left\{ \frac{q_1(\mathbf{Y})}{q_2(\mathbf{Y})} \right\} = \int q_1(\mathbf{y}) \log \left\{ \frac{q_1(\mathbf{y})}{q_2(\mathbf{y})} \right\} d\mathbf{y}.$$

- We have: $\text{KL}(Q_2, Q_1) = \mathbb{E}_{Q_1} \log \{q_1(\mathbf{Y})\} - \mathbb{E}_{Q_1} \log \{q_2(\mathbf{Y})\}.$
- Can also be shown: $\text{KL}(Q_2, Q_1) \geq 0,$
 $\text{KL}(Q_2, Q_2) = 0.$

In context of statistical modelling

- Let Q (with a density q) be the **true** (unknown) distribution of data \mathbf{Y} .
- $L(\theta) = p(\cdot | \theta)$: likelihood (**model**) for data (which possibly depends on a parameter vector θ).

Then

$$\text{KL}(L(\theta), Q) = \underbrace{\mathbb{E}_Q \log\{q(\mathbf{Y})\}}_{\text{const for all models}} - \mathbb{E}_Q \log\{p(\mathbf{Y} | \theta)\}.$$

- Up to an additive constant, the term $-\mathbb{E}_Q \log\{p(\mathbf{Y} | \theta)\}$ is the Kullback-Leibler **distance** of the used model from the truth.

Definice 7.5 Deviance of a model.

For given model with the likelihood $L(\theta) = p(\mathbf{y} | \theta)$, a quantity

$$D(\theta; \mathbf{y}) = -2 \log\{p(\mathbf{y} | \theta)\} = -2 \log\{L(\theta)\}$$

is called the **deviance** of the model.

Remarks

- If Q is the true (unknown) distribution of data \mathbf{Y} , we have

$$2 \text{KL}(L(\theta), Q) = \mathbb{E}_Q\{D(\theta; \mathbf{Y})\} + \text{const.}$$

- Factor 2 in the definition of the deviance is used to get direct link to the statistic of the likelihood-ratio test.
- **Deviance:** suitable measure of the model quality (small deviance \equiv better model).

Typically

Data:

$$\mathbf{Y} = (\mathbf{Y}_1^\top, \dots, \mathbf{Y}_n^\top)^\top,$$

Model (likelihood): $L(\theta) = p(\mathbf{y} | \theta) = \prod_{i=1}^n p_i(\mathbf{y}_i | \theta) = \prod_{i=1}^n L_i(\theta),$
 $\mathbf{Y}_1, \dots, \mathbf{Y}_n$ (conditionally) independent given θ .

Deviance

$$\begin{aligned} D(\theta; \mathbf{y}) &= -2 \log \left\{ \prod_{i=1}^n p_i(\mathbf{y}_i | \theta) \right\} = -2 \sum_{i=1}^n \log \{p_i(\mathbf{y}_i | \theta)\} \\ &= \sum_{i=1}^n \underbrace{[-2 \log \{p_i(\mathbf{y}_i | \theta)\}]}_{D_i(\theta; \mathbf{y}_i)}. \end{aligned}$$

Oddíl 7.4

Measures of predictive ability of the model

Our aim will now be to specify some criteria to evaluate/measure the ability of the model to make accurate **predictions** of new (replicated) data.

Those criteria can then be used for model selection.

Statistical model

(Observed) data:

$$\mathbf{Y} = (\mathbf{Y}_1^\top, \dots, \mathbf{Y}_n^\top)^\top.$$

(New, not yet observed) data: $\mathbf{Y}_{new} = (\mathbf{Y}_{new,1}^\top, \dots, \mathbf{Y}_{new,n}^\top)^\top$.

\mathbf{Y} and \mathbf{Y}_{new} generated by the same probabilistic mechanism.

Model (likelihood): $L(\theta) = p(\cdot | \theta) = \prod_{i=1}^n p_i(\cdot | \theta)$.

$\mathbf{Y}_1, \dots, \mathbf{Y}_n, \mathbf{Y}_{new,1}, \dots, \mathbf{Y}_{new,n}$ (conditionally) independent given θ ,

$$p(\mathbf{y} | \theta) = \prod_{i=1}^n p_i(\mathbf{y}_i | \theta).$$

$$p(\mathbf{y}_{new} | \theta, \mathbf{y}) = p(\mathbf{y}_{new} | \theta) = \prod_{i=1}^n p_i(\mathbf{y}_{new,i} | \theta).$$

Bayesian inference

Prior distribution: $p(\theta)$.

➡ Integrated likelihood: $p(\mathbf{y}) = \int_{\Theta} p(\mathbf{y} | \theta) p(\theta) d\theta$

Evidence of the model before unknown parameters being estimated.

Inference on unknown θ based on the posterior distribution:

$$p(\theta | \mathbf{y}) = \frac{p(\mathbf{y} | \theta) p(\theta)}{p(\mathbf{y})}.$$

➡ Posterior predictive distribution: $p(\mathbf{y}_{new} | \mathbf{y}) = \int_{\Theta} p(\mathbf{y}_{new} | \theta) p(\theta | \mathbf{y}) d\theta$

Evidence of the model after the observed data $\mathbf{Y} = \mathbf{y}$ used to infer on unknown parameters θ .

Posterior predictive deviance

Posterior predictive distribution:

$$p(\mathbf{y}_{new} | \mathbf{y}) = \int_{\Theta} p(\mathbf{y}_{new} | \theta) p(\theta | \mathbf{y}) d\theta = \int_{\Theta} \prod_{i=1}^n p_i(\mathbf{y}_{new,i} | \theta) p(\theta | \mathbf{y}) d\theta.$$

Definice 7.6 Posterior predictive deviance.

Quantity

$$\overline{D}_{pred} = \mathbb{E}_{p(\theta | \mathbf{y})} D(\theta; \mathbf{y}_{new}) = \int_{\Theta} \underbrace{\left[-2 \log \{ p(\mathbf{y}_{new} | \theta) \} \right]}_{D(\theta; \mathbf{y}_{new})} p(\theta | \mathbf{y}) d\theta$$

will be called the **posterior predictive deviance**.

- Suitable measure of prediction error (**loss of prediction**) when predicting $\mathbf{Y}_{new} = \mathbf{y}_{new}$ using a (Bayesian) model estimated using data $\mathbf{Y} = \mathbf{y}$.

Posterior predictive deviance

We have

$$\begin{aligned}\bar{D}_{pred} &= \mathbb{E}_{p(\theta | \mathbf{y})} D(\theta; \mathbf{y}_{new}) = \mathbb{E}_{p(\theta | \mathbf{y})} \left\{ \sum_{i=1}^n D_i(\theta; \mathbf{y}_{new,i}) \right\} \\ &= \sum_{i=1}^n \underbrace{\mathbb{E}_{p(\theta | \mathbf{y})} D_i(\theta; \mathbf{y}_{new,i})}_{\bar{D}_{pred,i}} = \sum_{i=1}^n \int_{\Theta} \underbrace{\left[-2 \log \{ p_i(\mathbf{y}_{new,i} | \theta) \} \right]}_{D_i(\theta, \mathbf{y}_{new,i})} p(\theta | \mathbf{y}) d\theta.\end{aligned}$$

- To calculate \bar{D}_{pred} in practice (to be able to use it for model selection), we need the value of “new” data \mathbf{Y}_{new} .

Posterior predictive deviance

$$\overline{D}_{pred} = \sum_{i=1}^n \overline{D}_{pred,i} = \sum_{i=1}^n \mathbb{E}_{p(\theta | \mathbf{y})} D_i(\theta, \mathbf{y}_{new,i}).$$

≡ Values of new data $\mathbf{Y}_{new} = \mathbf{y}_{new}$ needed.

⇒ Measure of the loss of prediction.

-
- Use **cross-validation** to estimate a value of each $\overline{D}_{pred,i}$, $i = 1, \dots, n$:

$$\overline{D}_{pred,i} \approx \overline{D}_{pred,i}^{CV} = \mathbb{E}_{p(\theta | \mathbf{y}_{-i})} D_i(\theta, \mathbf{y}_i) = \int_{\Theta} D_i(\theta, \mathbf{y}_i) p(\theta | \mathbf{y}_{-i}) d\theta.$$

Cross-validated posterior predictive deviance

Definice 7.7 Cross-validated posterior predictive deviance.

Quantity

$$\begin{aligned}\bar{D}_{\text{pred}}^{\text{CV}} &= \sum_{i=1}^n \underbrace{\mathbb{E}_{p(\theta | \mathbf{y}_{-i})} D_i(\theta; \mathbf{y}_i)}_{\bar{D}_{\text{pred},i}^{\text{CV}}} \\ &= \sum_{i=1}^n \underbrace{\int_{\Theta} \left[-2 \log \{ p_i(\mathbf{y}_i | \theta) \} \right] p(\theta | \mathbf{y}_{-i}) d\theta}_{D_i(\theta, \mathbf{y}_i)}.\end{aligned}$$

will be called the cross-validated posterior predictive deviance.

- With MCMC based Bayesian inference, (relatively) easily estimable if we have time to run the MCMC n -times (always with one observation left out).

Posterior expected deviance

Definice 7.8 Posterior expected deviance.

Quantity

$$\bar{D} = \mathbb{E}_{p(\theta | \mathbf{y})} D(\theta; \mathbf{y}) = \int_{\Theta} \underbrace{\left[-2 \log \{ p(\mathbf{y} | \theta) \} \right]}_{D(\theta; \mathbf{y})} p(\theta | \mathbf{y}) d\theta$$

will be called the posterior expected deviance.

We have

$$\begin{aligned} \bar{D} &= \mathbb{E}_{p(\theta | \mathbf{y})} D(\theta; \mathbf{y}) = \mathbb{E}_{p(\theta | \mathbf{y})} \sum_{i=1}^n D_i(\theta; \mathbf{y}_i) \\ &= \sum_{i=1}^n \underbrace{\mathbb{E}_{p(\theta | \mathbf{y})} D_i(\theta; \mathbf{y}_i)}_{\bar{D}_i} = \sum_{i=1}^n \int_{\Theta} \underbrace{\left[-2 \log \{ p_i(\mathbf{y}_i | \theta) \} \right]}_{D_i(\theta, \mathbf{y}_i)} p(\theta | \mathbf{y}) d\theta. \end{aligned}$$

Posterior expected deviance

$$\bar{D} = \sum_{i=1}^n \bar{D}_i = \sum_{i=1}^n \mathbb{E}_{p(\theta | \mathbf{y})} D_i(\theta, \mathbf{y}_i).$$

- ≡ Only the observed data $\mathbf{Y} = \mathbf{y}$ needed.
- ⇒ With MCMC based Bayesian inference, (relatively) easily estimable.
- ⇒ Underestimates the **cross-validated posterior predictive deviance** which is

$$\bar{D}_{pred}^{CV} = \sum_{i=1}^n \bar{D}_{pred,i}^{CV} = \sum_{i=1}^n \mathbb{E}_{p(\theta | \mathbf{y}_{-i})} D_i(\theta, \mathbf{y}_i).$$

Věta 7.1 .

For all $i = 1, \dots, n$

$$\overline{D}_{pred,i}^{CV} - \overline{D}_i \geq 0.$$

Reminder

$$\overline{D}_{pred,i}^{CV} = \mathbb{E}_{p(\theta | \mathbf{y}_{-i})} D_i(\theta, \mathbf{y}_i) = -2 \mathbb{E}_{p(\theta | \mathbf{y}_{-i})} \log p_i(\mathbf{y}_i | \theta),$$

$$\overline{D}_i = \mathbb{E}_{p(\theta | \mathbf{y})} D_i(\theta, \mathbf{y}_i) = -2 \mathbb{E}_{p(\theta | \mathbf{y})} \log p_i(\mathbf{y}_i | \theta).$$

Cross-validation and posterior expected deviance

$$\begin{aligned} \text{KL}_1 &:= \text{KL}\left(p(\theta | \mathbf{y}), p(\theta | \mathbf{y}_{-i})\right) \\ &= \int_{\Theta} p(\theta | \mathbf{y}_{-i}) \log \left\{ \frac{p(\theta | \mathbf{y}_{-i})}{p(\theta | \mathbf{y})} \right\} d\theta \\ &= \int_{\Theta} p(\theta | \mathbf{y}_{-i}) \log \left\{ \frac{p(\mathbf{y}_{-i} | \theta) p(\theta)}{p(\mathbf{y} | \theta) p(\theta)} \frac{p(\mathbf{y})}{p(\mathbf{y}_{-i})} \right\} d\theta \\ &= \int_{\Theta} p(\theta | \mathbf{y}_{-i}) \log \left\{ \frac{p(\mathbf{y})}{p_i(\mathbf{y}_i | \theta) p(\mathbf{y}_{-i})} \right\} d\theta \\ &= - \int_{\Theta} p(\theta | \mathbf{y}_{-i}) \log \{p_i(\mathbf{y}_i | \theta)\} d\theta + \log \left\{ \frac{p(\mathbf{y})}{p(\mathbf{y}_{-i})} \right\} \\ &= \frac{1}{2} \mathbb{E}_{p(\theta | \mathbf{y}_{-i})} D_i(\theta, \mathbf{y}_i) + \log \left\{ \frac{p(\mathbf{y})}{p(\mathbf{y}_{-i})} \right\} \\ &= \frac{1}{2} \bar{D}_{pred,i}^{CV} + \log \left\{ \frac{p(\mathbf{y})}{p(\mathbf{y}_{-i})} \right\}. \end{aligned}$$

Cross-validation and posterior expected deviance

$$\begin{aligned} \text{KL}_2 &:= \text{KL}\left(p(\theta | \mathbf{y}_{-i}), p(\theta | \mathbf{y})\right) \\ &= \int_{\Theta} p(\theta | \mathbf{y}) \log \left\{ \frac{p(\theta | \mathbf{y})}{p(\theta | \mathbf{y}_{-i})} \right\} d\theta \\ &= \int_{\Theta} p(\theta | \mathbf{y}) \log \left\{ \frac{p(\mathbf{y} | \theta) p(\theta)}{p(\mathbf{y}_{-i} | \theta) p(\theta)} \frac{p(\mathbf{y}_{-i})}{p(\mathbf{y})} \right\} d\theta \\ &= \int_{\Theta} p(\theta | \mathbf{y}) \log \left\{ \frac{p_i(\mathbf{y}_i | \theta) p(\mathbf{y}_{-i})}{p(\mathbf{y})} \right\} d\theta \\ &= \int_{\Theta} p(\theta | \mathbf{y}) \log \{p_i(\mathbf{y}_i | \theta)\} d\theta - \log \left\{ \frac{p(\mathbf{y})}{p(\mathbf{y}_{-i})} \right\} \\ &= -\frac{1}{2} \mathbb{E}_{p(\theta | \mathbf{y})} D_i(\theta, \mathbf{y}_i) - \log \left\{ \frac{p(\mathbf{y})}{p(\mathbf{y}_{-i})} \right\} \\ &= -\frac{1}{2} \bar{D}_i - \log \left\{ \frac{p(\mathbf{y})}{p(\mathbf{y}_{-i})} \right\}. \end{aligned}$$

Cross-validation and posterior expected deviance

That is,

$$\bar{D}_{pred,i}^{CV} - \bar{D}_i = 2(KL_1 + KL_2) \geq 0.$$

Definice 7.9 Expected optimism.

Quantity

$$p_{opt,i} = \mathbb{E}\left(\bar{D}_{pred,i}^{CV} - \bar{D}_i \mid \mathbf{Y}_{-i}\right), \quad i = 1, \dots, n$$

will be called the **expected optimism** when the loss of prediction of the i th observation is evaluated by \bar{D}_i (i th contribution to the posterior expected deviance) rather than by $\bar{D}_{pred,i}^{CV}$ (i th cross-validated posterior predictive deviance).

Penalized expected deviance

Definice 7.10 Penalized expected deviance (PED).

Quantity

$$\text{PED} = \underbrace{\sum_{i=1}^n \bar{D}_i}_{\bar{D}} + \underbrace{\sum_{i=1}^n p_{opt,i}}_{p_{opt}} = \sum_{i=1}^n (\underbrace{\bar{D}_i + p_{opt,i}}_{\text{PED}_i})$$

will be called the **penalized expected deviance (PED)**.

Quantity

$$p_{opt} = \sum_{i=1}^n p_{opt,i}$$

will be called the **overall optimism**, quantity

$$\text{PED}_i = \bar{D}_i + p_{opt,i}, \quad i = 1, \dots, n,$$

will be called contribution of the i th observation to the penalized expected deviance.

Penalized expected deviance and cross-validated posterior predictive deviance

Věta 7.2 Penalized expected deviance and cross-validated posterior predictive deviance.

The following holds for each $i = 1, \dots, n$:

$$\mathbb{E}(PED_i \mid \mathbf{Y}_{-i}) = \mathbb{E}(\bar{D}_{pred,i}^{CV} \mid \mathbf{Y}_{-i}).$$

→ With respect to cross-validation

$$PED = \sum_{i=1}^n PED_i$$

is equivalent to

$$\bar{D}_{pred}^{CV} = \sum_{i=1}^n \bar{D}_{pred,i}^{CV}.$$

Penalized expected deviance and cross-validated posterior predictive deviance

Důkaz.

$$\begin{aligned}\mathbb{E}(\text{PED}_i \mid \mathbf{Y}_{-i}) &= \mathbb{E}\left\{\bar{D}_i + \underbrace{\mathbb{E}\left(\bar{D}_{\text{pred},i}^{CV} - \bar{D}_i \mid \mathbf{Y}_{-i}\right)}_{\rho_{opt,i}} \mid \mathbf{Y}_{-i}\right\} \\ &= \mathbb{E}\left(\bar{D}_i \mid \mathbf{Y}_{-i}\right) + \mathbb{E}\left(\bar{D}_{\text{pred},i}^{CV} \mid \mathbf{Y}_{-i}\right) - \mathbb{E}\left(\bar{D}_i \mid \mathbf{Y}_{-i}\right) \\ &= \mathbb{E}\left(\bar{D}_{\text{pred},i}^{CV} \mid \mathbf{Y}_{-i}\right).\end{aligned}$$



- The last complication when using the PED for model comparison: calculation of the expected optimisms:

$$p_{opt,i} = \mathbb{E}\left(\overline{D}_{pred,i}^{CV} - \overline{D}_i \mid \mathbf{Y}_{-i}\right), \quad i = 1, \dots, n.$$

-
- With MCMC based Bayesian inference, all expected optimisms $p_{opt,i}, i = 1, \dots, n$, can be estimated using two parallel Markov chains (with $p(\theta \mid \mathbf{y})$ as their limit distribution).

Deviance information criterion

- For some classes of models, e.g., when $p_i(\mathbf{y}_i | \theta)$, $i = 1, \dots, n$, belongs to exponential family, the overall optimism can be estimated as

$$p_{opt} = \sum_{i=1}^n p_{opt,i} \approx p_D = \bar{D} - D(\hat{\theta}(\mathbf{y}); \mathbf{y}),$$

where $\hat{\theta}(\mathbf{y}) = \mathbb{E}_{p(\theta | \mathbf{y})} \theta$ (posterior mean of θ).

- Terminology: $D(\hat{\theta}(\mathbf{y}); \mathbf{y})$: plug-in deviance;
 p_D : effective number of parameters
(measure of model complexity).
 - “Small” inconvenience: the value of both the plug-in deviance and the effective number of parameters depends on the parameterization of the model.
 - PED with p_D used in place of p_{opt}
- ⇒ Deviance information criterion (DIC).

Deviance information criterion (DIC)

$$\begin{aligned}\text{DIC} &= \overline{D} + p_D \\ &= \overline{D} + \left\{ \overline{D} - D(\hat{\theta}(\mathbf{y}); \mathbf{y}) \right\} \\ &= 2\overline{D} - D(\hat{\theta}(\mathbf{y}); \mathbf{y}).\end{aligned}$$

- DIC \equiv approximation to \overline{D}_{pred}^{CV} which was defined to evaluate the loss of prediction.
- Model with lower DIC is better.
- DIC is nowadays somehow overused/misused (even in situations when it is not justifiable)!

Further reading

- David J. Spiegelhalter, Nicola G. Best, Bradley P. Carlin, Angelika Van Der Linde (2002). Bayesian measures of model complexity and fit (with Discussion). *Journal of the Royal Statistical Society, Series B*, **64**(4), 583–639.
- Martyn Plummer (2008). Penalized loss functions for Bayesian model comparison. *Biostatistics*, **9**(3), 523–539.
- David J. Spiegelhalter, Nicola G. Best, Bradley P. Carlin, Angelika Van Der Linde (2014). The deviance information criterion: 12 years on. *Journal of the Royal Statistical Society, Series B*, **76**(3), 485–493.